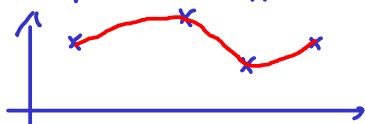
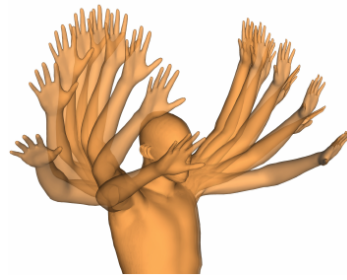
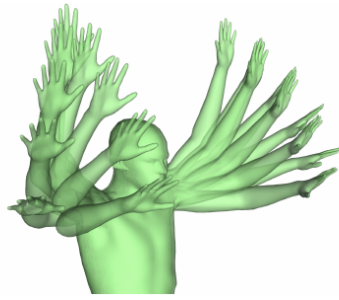
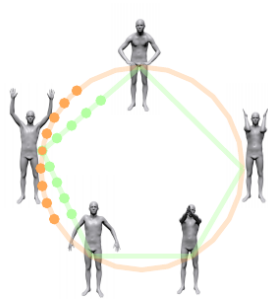


# Numerische Analysis

Themen: • Interpolation / Approximation



x Messdaten  
 - interpolierende Kurve



⇓ Grundlage für

• Numerische Integration / Differentiation

z.B. Keplersche Fassregel zur Bestimmung des Weinfass-Volumens anhand weniger Messwerte (1615)

oder Basis von FEM-Simulationen (google Bildersuche: Finite Elemente)

⇓ Grundlage für

• Numerik gewöhnlicher Differentialgleichungen

z.B. „Mehrkörperproblem“: Berechnung / Vorhersage von Planetenpositionen (nicht analytisch möglich)

⇓ Grundlage für

• kurzer Einblick in Numerik partieller Differentialgleichungen

## Polynome & rationale Funktionen

heute: Polynome

### Polynome

Polynome sind einfache Funktionen, erlauben die Approximation von komplizierteren Funktionen (Taylorscher Satz) und lassen sich mit nur +, -, · auswerfen ⇒ wichtige Numerik-Bausteine

Def: (Polynom) Sei  $\mathbb{K} = \mathbb{R}$  oder  $\mathbb{K} = \mathbb{C}$ . Ein Polynom n-ten Grades ist eine Funktion

$$p_n: \mathbb{K} \rightarrow \mathbb{K}, p_n(x) = \sum_{i=0}^n a_i x^i \quad \text{mit } a_0, \dots, a_n \in \mathbb{K}, a_n \neq 0.$$

$$\mathcal{P}_n := \{ p \mid p \text{ ist Polynom mit Grad} \leq n \}$$

Thm.: 1)  $\mathcal{P}_n$  ist ein  $\mathbb{K}$ -Vektorraum (mit  $(\alpha p_n + \beta q_n)(x) = \alpha p_n(x) + \beta q_n(x) \forall \alpha, \beta \in \mathbb{K}, p_n, q_n \in \mathcal{P}_n$ )

2) Die Monome  $m_i(x) = x^i, i = 0, \dots, n$ , bilden eine Basis von  $\mathcal{P}_n$ .

Bew.: 1) „einfach ausrechnen“

2) Sei  $q(x) = a_0 + a_1 x + \dots + a_n x^n = 0 \forall x$ . Sei  $k$  minimal mit  $a_k \neq 0$ .

$$\Rightarrow \frac{q(x)}{x^k} = a_k + a_{k+1} x + \dots + a_n x^{n-k} = 0 \forall x \neq 0, \text{ aber auch } \lim_{x \rightarrow 0} \frac{q(x)}{x^k} = a_k \neq 0 \quad \text{!}$$

$\Rightarrow m_i$  sind linear unabhängig & spannen  $P_n$  auf. □

Thm.: (Polynomdivision) Seien  $p, q \neq 0$  Polynome,  $\text{Grad } q \leq \text{Grad } p$ , so gibt es eindeutige Polynome  $s, r$  mit  $p = sq + r$ ,  $\text{Grad } r < \text{Grad } q$  (Division mit Rest).

Bew.: „Euklidischer Divisionsalgorithmus“: Sei  $p(x) = \sum_{i=0}^n a_i x^i$ ,  $q(x) = \sum_{i=0}^m b_i x^i$ ,  $s(x) = \sum_{i=0}^{n-m} c_i x^i$ ,  $r(x) = \sum_{i=0}^{m-1} d_i x^i$

Koeffizientenvergleich in  $p = sq + r$  liefert

$$\begin{aligned} x^n: a_n &= b_m c_{n-m} \\ x^{n-1}: a_{n-1} &= b_{m-1} c_{n-m} + b_m c_{n-m-1} \\ &\vdots \\ x^m: a_m &= b_0 c_m + b_1 c_{m-1} + \dots + b_m c_0 \\ x^{m-1}: a_{m-1} &= b_0 c_{m-1} + \dots + b_{m-1} c_0 + d_{m-1} \\ &\vdots \\ x^0: a_0 &= b_0 c_0 + d_0 \end{aligned}$$

eindeutig lösbar nach  $c_i$  &  $d_i$ :

(von oben der Reihe nach  $c_{n-m}, c_{n-m-1}, \dots, c_0$ ,

$d_{m-1}, d_{m-2}, \dots, d_0$ ) □

Bsp.:  $(\overset{a_3}{1}x^3 - \overset{a_2}{9}x^2 + \overset{b_1}{26}x - 24) : (\overset{b_2}{1}x^2 - \overset{b_1}{7}x + 10) = \overset{c_1}{1}x - \overset{c_0}{2}$  ① ② ③

$$\begin{array}{r} 1x^3 - 9x^2 + 26x - 24 \\ \underline{1x^3 - 7x^2 + 10x} \\ -2x^2 + 16x - 24 \\ \underline{-2x^2 + 14x - 20} \\ 2x - 4 \leftarrow \text{Rest} \end{array}$$

$a_2 - c_1 b_1 = c_0 b_2$

Bem.: Mit dem Euklidischen Divisionsalgorithmus kann man auch einen größten gemeinsamen Teiler von  $p_1, p_2$  mit  $\text{Grad } p_2 \leq \text{Grad } p_1$  bestimmen:

$$\begin{aligned} \text{Löse } p_1 &= q_1 p_2 + p_3 & \text{Grad } p_3 &< \text{Grad } p_2 \\ p_2 &= q_2 p_3 + p_4 & \text{Grad } p_4 &< \text{Grad } p_3 \\ &\vdots & & \\ p_6 &= q_6 p_{e-1} + p_{e2} & p_{e2} &= 0 \end{aligned}$$

Dies terminiert nach endlich vielen Schritten, da der Grad monoton abnimmt.

$p_{e-1}$  teilt alle Polynome  $p_1, \dots, p_e$  (siehe durch Einsetzen von unten) und ist ein ggT von  $p_1, p_2$ .

Bsp.:  $\overbrace{(x^3 - 9x^2 + 26x - 24)}^{p_1} = (x - 2) \overbrace{(x^2 - 7x + 10)}^{p_2} + (2x - 4)$

$$(x^2 - 7x + 10) = \left(\frac{x}{2} - \frac{5}{2}\right)(2x - 4) + 0$$

$\Rightarrow 2x - 4$  ist ggT

In der Numerik an verschiedenen Stellen wichtig sind folgende Polynome.

Def.: (Čebyšev-Polynome) Die Čebyšev-Polynome sind rekursiv definiert durch

$$\left. \begin{aligned} T_0(x) &= 1 \\ T_1(x) &= x \\ T_{n+1}(x) &= 2x T_n(x) - T_{n-1}(x), n=1,2,\dots \end{aligned} \right\} \text{1. Art} \quad \left. \begin{aligned} U_0(x) &= 1 \\ U_1(x) &= 2x \\ U_{n+1}(x) &= 2x U_n(x) - U_{n-1}(x), n=1,2,\dots \end{aligned} \right\} \text{2. Art}$$

Bem.:  $T_n$  hat höchsten Koeffizienten  $2^{n-1}$ ,  $U_n$  hat  $2^n$ .

Thm: Auf  $\mathbb{R}$  gilt  $T_n(x) = \begin{cases} \cos(n \arccos x) & x \in [-1, 1] \\ \cosh(n \operatorname{arccosh} x) & x \geq 1 \\ (-1)^n \cosh(n \operatorname{arccosh}(-x)) & x \leq -1 \end{cases}$ ,  $U_n(x) = \frac{\sin((n+1) \arccos x)}{\sin \arccos x}$  auf  $[-1, 1]$

Bew:  $T_n$  Additionstheorem:  $\left. \begin{aligned} \cos(n+1)t &= \cos nt \cos t - \sin nt \sin t \\ \cos(n-1)t &= \cos nt \cos t + \sin nt \sin t \end{aligned} \right\} \Rightarrow \cos(n+1)t + \cos(n-1)t = 2 \cos t \cos nt$

$\Rightarrow \varphi_n(t) = \cos nt$  erfüllt  $\varphi_0(t) = 1$   
 $\varphi_1(t) = \cos t$   
 $\varphi_{n+1}(t) = 2 \cos t \varphi_n(t) - \varphi_{n-1}(t)$ ,  $n = 1, 2, \dots$

$\Rightarrow \psi_n := \varphi_n \circ \arccos$  erfüllt gleiche Rekursion wie  $T_n$  & ist definiert auf  $[-1, 1]$ .

Fall  $x \notin [-1, 1]$ : Hausaufgabe

$U_n$   $\left. \begin{aligned} \sin(n+1)t &= \sin nt \cos t + \cos nt \sin t \\ \sin(n-1)t &= \sin nt \cos t - \cos nt \sin t \end{aligned} \right\} \Rightarrow \sin(n+1)t + \sin(n-1)t = 2 \sin t \cos nt$

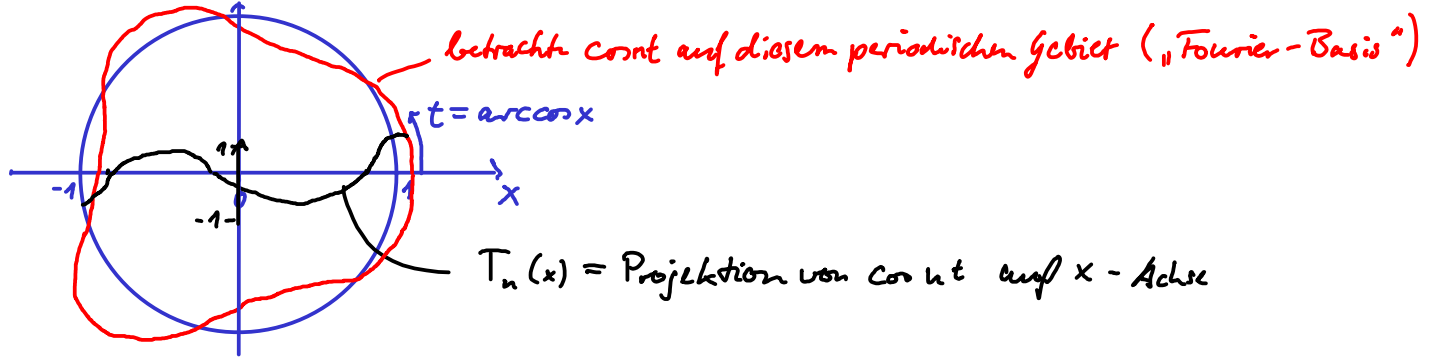
$\Rightarrow \psi_n = \varphi_n \circ \arccos$  für  $\varphi_n(t) = \frac{\sin(n+1)t}{\sin t}$  erfüllt gleiche Rekursion wie  $U_n$ .  $\square$

Thm: 1)  $T_n'(x) = n U_{n-1}(x)$

- 2)  $|T_n(x)| \leq 1$  für  $x \in [-1, 1]$  und  $|T_n(x)| > 1$  sonst
- 3)  $T_n$  hat auf  $[-1, 1]$  Extrema an  $x_k^{(n)} = \cos(k \frac{\pi}{n})$ ,  $k = 0, \dots, n$ , mit  $T_n(x_k^{(n)}) = (-1)^k$
- 4)  $T_n$  hat einfache Nullstellen  $\tilde{x}_k^{(n)} = \cos(\frac{2k-1}{2} \frac{\pi}{n})$ ,  $k = 1, \dots, n$
- 5) Zwischen je zwei Nullstellen von  $T_{n+1}$  liegt eine von  $T_n$

Bew: 1) Ausrechnen in trigonometrischer Darstellung

- 2) folgt aus  $|\cos t| \leq 1$ ,  $\cosh t \geq 1$
- 3) & 4) folgt durch Einsetzen der  $x_k^{(n)}, \tilde{x}_k^{(n)}$  in  $T_n$  &  $T_n'$
- 5) folgt aus  $\tilde{x}_{k+1}^{(n+1)} < \tilde{x}_k^{(n)} < x_k^{(n+1)}$   $\square$



```
x = linspace(-1, 1, 100);
for n = 0:5
    Tn = cos(n*acos(x));
    plot(x, Tn, 'Linewidth', 3); hold on;
end
```

Ebenso wichtig sind die Bernstein-Polynome.

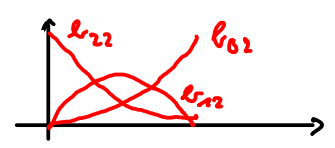
Def: (Bernstein-Polynom)  $B_{i,n}(t) = \binom{n}{i} t^i (1-t)^{n-i}$ ,  $i = 0, \dots, n$ , heißt Bernstein-Polynom von Grad  $n$ .

- Thm: (Eigenschaften) (1)  $l_{i;n}$  hat eine  $i$ -fache Nullstelle in 0 und eine  $(n-i)$ -fache in 1.  
 (2)  $l_{i;n} > 0$  auf  $(0,1)$  mit genau einem Maximum in  $\frac{i}{n}$ .  
 (3) Die  $l_{i;n}$  bilden eine Partition der 1,  $\sum_{i=0}^n l_{i;n}(t) = 1$ .  
 (4) Die  $l_{i;n}$  bilden eine Basis von  $P_n$ .  
 (5)  $l_{i;n}'(t) = n [l_{i-1;n-1}(t) - l_{i;n-1}(t)]$  (für  $l_{i;k} = 0$  falls  $i < 0$  oder  $i > k$ )  
 (6)  $l_{i;n}^{(k)}(t) = \prod_{j=0}^{k-1} (n-j) \cdot \sum_{\ell=0}^k (-1)^\ell \binom{k}{\ell} l_{i-k+\ell;n-k}(t)$

Bew: (1) & (2) & (5) trivial

(3) folgt aus  $1 = (t + (1-t))^n = \sum_{i=0}^n \binom{n}{i} t^i (1-t)^{n-i}$

(4) & (6) Hausaufgabe



Bsp:  $l_{0,2}(t) = (1-t)^2$ ,  $l_{1,2}(t) = 2t(1-t)$ ,  $l_{2,2}(t) = t^2$

Merke:  $\cdot$  Polynomauswertung  
 $\cdot$  Kondition & Stabilität

Polynomauswertung

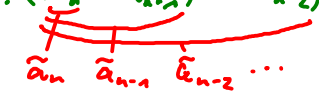
Polynome müssen in numerischen Algorithmen oft ausgewertet werden. Dies kann auf verschiedene Arten gemacht werden, abhängig von der gegebenen Polynom-Darstellung.

Alg.: (Horner-Schema)

$p(x) = \sum_{i=0}^n a_i x^i$  kann ausgewertet werden durch  $p(x) = (\dots ((a_n x + a_{n-1})x + a_{n-2})x + \dots + a_1)x + a_0$

als Schema:

	$a_n$	$a_{n-1}$	$a_{n-2}$	$\dots$	$a_1$	$a_0$
$x$	-	$x \tilde{a}_n$	$x \tilde{a}_{n-1}$	$\dots$	$x \tilde{a}_2$	$x \tilde{a}_1$
	$\tilde{a}_n$	$\tilde{a}_{n-1}$	$\tilde{a}_{n-2}$	$\dots$	$\tilde{a}_1$	$\tilde{a}_0 = p(x)$



Bem: Der Euklidische Divisionsalgorithmus für  $p(x)/(x-y)$  liefert genau das Horner-Schema für  $x=y$

denn  $p(x) = \sum_{i=0}^n a_i x^i = \tilde{a}_n x^n + \sum_{i=0}^{n-1} (\tilde{a}_i - \tilde{a}_{i+1} y) x^i = \left( \sum_{i=0}^{n-1} \tilde{a}_i x^{i-1} \right) (y-x) + \tilde{a}_0$

Bsp:  $p(x) = x^3 - 9x^2 + 26x - 24$ ,  $x = 2$ :

	1	-9	26	-24
2		2	-14	24
	1	-7	12	0 = p(x)

$\Rightarrow p(x) = (x-2)(1x^2 - 7x + 12)$

Alg.: (Cleverly-Schema)

$p(x) = \sum_{i=0}^n a_i \Gamma_i(x) = \tilde{a}_0$  mit  $\begin{cases} \tilde{a}_n = a_n \\ \tilde{a}_{n-1} = 2x \tilde{a}_n + a_{n-1} \\ \tilde{a}_{n-i} = 2x \tilde{a}_{n-i+1} + a_{n-i} - \tilde{a}_{n-i+2}, i=2, \dots, n-1 \\ \tilde{a}_0 = x \tilde{a}_1 + a_0 - \tilde{a}_2 \end{cases}$

als Schema:

	$a_n$	$a_{n-1}$	$a_{n-2}$	$\dots$	$a_2$	$a_1$	$a_0$
	-	-	$-\tilde{a}_n$	$\dots$	$-\tilde{a}_4$	$-\tilde{a}_3$	$-\tilde{a}_2$
$x$	-	$2x \tilde{a}_n$	$2x \tilde{a}_{n-1}$	$\dots$	$2x \tilde{a}_3$	$2x \tilde{a}_2$	$x \tilde{a}_1$
	$\tilde{a}_n$	$\tilde{a}_{n-1}$	$\tilde{a}_{n-2}$	$\dots$	$\tilde{a}_2$	$\tilde{a}_1$	$\tilde{a}_0 = p(x)$

Der Algorithmus folgt aus der Rekursion für  $T_n$ :

$$\begin{aligned}
 p(x) &= a_n T_n(x) + a_{n-1} T_{n-1}(x) + \dots + a_1 T_1(x) + a_0 T_0(x) \\
 &= (2 \times a_n - a_{n-1}) T_{n-1}(x) + (-a_n + a_{n-2}) T_{n-2}(x) + \dots \\
 &= \tilde{a}_{n-1} T_{n-1}(x) + (-\tilde{a}_n + a_{n-2}) T_{n-2}(x) + \dots \\
 &= (2 \times \tilde{a}_{n-1} - \tilde{a}_n + a_{n-2}) T_{n-2}(x) + (-\tilde{a}_{n-1} + a_{n-3}) T_{n-3}(x) + \dots \\
 &= \tilde{a}_{n-2} T_{n-2}(x) + (-\tilde{a}_{n-1} + a_{n-3}) T_{n-3}(x) + \dots \\
 &\vdots \\
 &= \tilde{a}_1 T_1(x) + (-\tilde{a}_2 + a_0) T_0(x) \\
 &= x \tilde{a}_1 + (-\tilde{a}_2 + a_0) = \tilde{a}_0
 \end{aligned}$$

Bsp:  $p(x) = x^3 - 9x^2 + 26x - 24$

$$= \frac{1}{4} T_3(x) - \frac{9}{2} T_2(x) + \frac{107}{4} T_1(x) - \frac{57}{2} T_0(x)$$

$x=2$

1/4	-9/2	107/4	-57/2
		-1/4	7/2
2	1	-14	-25
1/4	-7/2	-25/2	0 = p(2)

Die Auswertung eines Polynoms in Bézier-Darstellung geschieht nach de Casteljans Algorithmus.

Def: (Bézier-Darstellung) Sei  $p \in P_n$ . Die Form  $p = \sum_{i=0}^n \beta_i \mathcal{L}_i$  heißt Bézier-Darstellung von  $p$ .

Bézier-Koeffizienten =  $\beta_0, \dots, \beta_n$ , Bézier-Punkte =  $\binom{0/n}{\beta_0}, \dots, \binom{n/n}{\beta_n}$

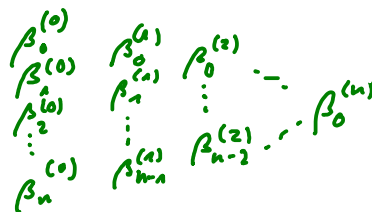
Alg: (de Casteljau)  $p(t) = \sum_{i=0}^n \beta_i \mathcal{L}_i(t)$  kann rekursiv berechnet werden durch

$$\beta_i^{(0)} := \beta_i, \quad i=0, \dots, n$$

$$\beta_i^{(k)} := (1-t) \beta_i^{(k-1)} + t \beta_{i+1}^{(k-1)}, \quad k=1, \dots, n, \quad i=0, \dots, n-k$$

$$p(t) = \beta_0^{(n)}$$

Übersichtlich geschieht dies im Dreiecksschema



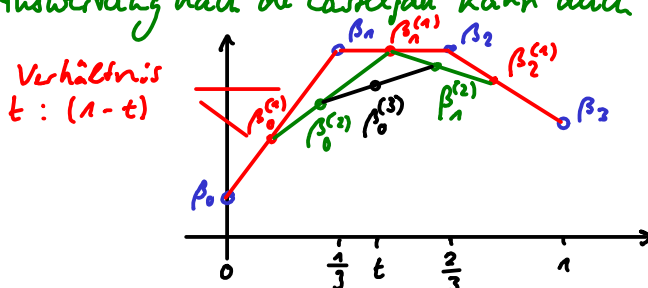
Bew: Dies folgt aus  $\mathcal{L}_{in}(t) = \binom{n-i}{i} t^i (1-t)^{n-i} + \binom{n-i}{i-1} t^{i-1} (1-t)^{n-i+1} = (1-t) \mathcal{L}_{i,n-i}(t) + t \mathcal{L}_{i-1,n-i}(t)$ :

$$p(t) = \beta_0 \mathcal{L}_{0n}(t) + \beta_1 \mathcal{L}_{1n}(t) + \dots + \beta_n \mathcal{L}_{nn}(t) = \beta_0 [(1-t) \mathcal{L}_{0,n-1}(t) + t \mathcal{L}_{-1,n-1}(t)] + \dots + \beta_n [(1-t) \mathcal{L}_{n,n-1}(t) + t \mathcal{L}_{n-1,n-1}(t)]$$

$$= [\beta_0(1-t) + \beta_1 t] \mathcal{L}_{0,n-1}(t) + \dots + [\beta_{n-1}(1-t) + \beta_n t] \mathcal{L}_{n-1,n-1}(t) = \beta_0^{(1)} \mathcal{L}_{0,n-1}(t) + \dots + \beta_{n-1}^{(1)} \mathcal{L}_{n-1,n-1}(t)$$

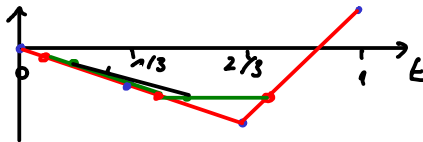
Nun iteriere dies bis zu  $\beta_0^{(n)}$ . □

Rem: Die Auswertung nach de Casteljau kann auch graphisch erfolgen:



Bsp:  $(\beta_0, \dots, \beta_3) = (0, -1, -2, 1)$ ,  $t = \frac{1}{4}$

$$\begin{pmatrix} 0 & -1/4 & -1/2 & -1/4 \\ -1 & -5/4 & -1 & -1/4 \\ -2 & -5/4 & -1 & -1/4 \\ 1 & -5/4 & -1 & -1/4 \end{pmatrix} = p(t)$$



Da Polynome in numerischen Algorithmen häufig ausgewertet werden müssen, ist ihre Kondition von Interesse, d.h. wie empfindlich das Ergebnis bzgl. kleinsten numerischen Eingabefehlern ist.

Thm. (Markov-Ungleichung) Sei  $p \in \mathcal{P}_n$ , dann ist  $\max_{x \in [-1,1]} |p'(x)| \leq n^2 \max_{x \in [-1,1]} |p(x)|$ .

Bem: Für  $p = T_n$  gilt  $p'(1) = n^2$ ,  $|p(x)| \leq 1$  für  $x \in [-1,1]$ , somit ist die Ungleichung scharf.

Thm. (Kondition) Sei  $p \in \mathcal{P}_n$ ,  $|p(x)| \leq 1$  für  $x \in [-1,1]$ ,

$$\cdot p = \sum_{i=0}^n a_i Q_i \text{ für } Q_0, \dots, Q_n \text{ eine Basis von } \mathcal{P}_n,$$

$$\cdot \hat{x} \text{ eine Näherung für } x \text{ mit } |x - \hat{x}| \leq \varepsilon, \quad x, \hat{x} \in [-1,1],$$

$$\cdot \hat{p} = \sum_{i=0}^n \hat{a}_i Q_i \text{ mit } |a_i - \hat{a}_i| \leq \delta, \quad i = 0, \dots, n.$$

Dann (1)  $|p(x) - p(\hat{x})| \leq n^2 \varepsilon + O(\varepsilon^2)$ ,

(2)  $|p(x) - \hat{p}(x)| \leq \delta \sum_{i=0}^n |Q_i(x)|$ .

Bew: (1)  $|p(x) - p(\hat{x})| = |p'(x)| |x - \hat{x}| + O(|x - \hat{x}|^2) \leq n^2 \max_{y \in [-1,1]} |p'(y)| \varepsilon + O(\varepsilon^2) \leq n^2 \varepsilon + O(\varepsilon^2)$

(2)  $|p(x) - \hat{p}(x)| = \left| \sum_{i=0}^n (a_i - \hat{a}_i) Q_i(x) \right| \leq \delta \sum_{i=0}^n |Q_i(x)| \quad \square$

Bem: Für  $Q_i = T_i$  oder  $Q_i(x) = x^i$  oder  $Q_i(x) = b_{in}(x)$  ist somit der Gesamtfehler

$$|p(x) - \hat{p}(\hat{x})| \leq |p(x) - p(\hat{x})| + |p(\hat{x}) - \hat{p}(\hat{x})| \leq n^2 \varepsilon + (n+1) \delta + O(\varepsilon^2).$$

Ein Eingabefehler  $\varepsilon$  kann um den Faktor  $n^2$  verstärkt werden! Für Polynome aus der Taylorentwicklung analytischer Funktionen (z.B.  $\exp, \sin, \log(1+\cdot), \dots$ ) schrumpfen die Koeffizienten jedoch so schnell, dass typischerweise  $\max_{x \in [-1,1]} |p'(x)| \leq c_n \max_{x \in [-1,1]} |p(x)|$  für  $c_n \ll n^2$  - die Fehlerverstärkung  $n^2$  ist also ein Worst case.

Weiter ist von Interesse, wie groß die durch Rundung und Maschinenoperationen verursachten Fehler bei der Polynomauswertung auf dem Computer sind, also wie stabil die Auswertungsalgorithmen sind.

Thm. (Stabilität) Durch Maschinenoperationen im Horner-Schema für  $p(x) = \sum_{i=0}^n a_i x^i$  entsteht der Fehler

$$\sum_{i=0}^n \tilde{a}_{n,i} (\varepsilon_i + \gamma_{i+1}) x^{n-i} + \text{höhere Ordnungsterme in } \varepsilon_i, \gamma_i \quad (\gamma_{n+1} := 0)$$

mit  $|\varepsilon_i| \leq \varepsilon_m$  und  $|\gamma_i| \leq \varepsilon_m$  den relativen Additions- und Multiplikationsfehler im  $i$ -ten Schritt.  
↘ Maschinengenauigkeit

Bew: ( )' beliebige Maschinenn-berechnete Größen.

$$\text{Horner: } \tilde{a}'_n = a_n, \quad \tilde{a}'_{n-i} = (\tilde{a}'_{n-i+1} \odot x) \oplus a_{n-i} = (\tilde{a}'_{n-i+1} \times (1+\gamma_i) + a_{n-i})(1+\varepsilon_i)$$

$$\Rightarrow p(x)' = \tilde{a}'_0 = (\tilde{a}'_1 \times (1+\gamma_n) + a_0)(1+\varepsilon_n) = ((\tilde{a}'_2 \times (1+\gamma_{n-1}) + a_1)(1+\varepsilon_{n-1}) \times (1+\gamma_n) + a_0)(1+\varepsilon_n)$$

$$= \dots = \sum_{i=0}^n a_{n-i} x^{n-i} \prod_{j=i}^n (1+\varepsilon_j) \prod_{j=i+1}^n (1+\gamma_j)$$

definiere  $\tilde{a}'_{n+n} = 0$

$$= \sum_{i=0}^n (\tilde{a}'_{n-i} - \tilde{a}'_{n-i+1} x) x^{n-i} \prod_{j=i}^n (1+\varepsilon_j) \prod_{j=i+1}^n (1+\gamma_j)$$

$$= \tilde{a}'_0 (1+\varepsilon_n) + \sum_{i=0}^{n-1} (\tilde{a}'_{n-i} (1+\varepsilon_i)(1+\gamma_{i+1}) - \tilde{a}'_{n-i}) x^{n-i} \prod_{j=i+1}^n (1+\varepsilon_j) \prod_{j=i+2}^n (1+\gamma_j)$$

$$= \tilde{a}'_0 + \tilde{a}'_0 \varepsilon_n + \sum_{i=0}^{n-1} \tilde{a}'_{n-i} (\varepsilon_i + \gamma_{i+1}) x^{n-i} + \text{höhere Ordnungsterme} \quad \square$$

Je größer die Zwischensummen  $\tilde{a}'_i$ , desto größer der verursachte Fehler. Für  $p(x) = T_n(x)$  und  $x=1$  kann man z.B. zeigen, dass  $\max_{i=0, \dots, n} \tilde{a}'_i > \frac{(1+\sqrt{2})^n}{2(n+2)} \Rightarrow$  für  $n=10$  muss man mit dem Verlust von 3 Dezimal-Stellen rechnen.

$$T10 = @(x) \cos(10 * \text{acos}(x));$$

$$T10a = @(x) 512 * x^{10} - 1280 * x^8 + 1120 * x^6 - 400 * x^4 + 50 * x^2 - 1;$$

$$T10b = @(x) (((((((((512 * x + 0) * x - 1280) * x + 0) * x + 1120) * x + 0) * x - 400) * x + 0) * x + 50) * x - 1);$$

$$\text{eps, } T10a(1-\text{eps}) - T10(1-\text{eps}), T10b(1-\text{eps}) - T10(1-\text{eps})$$

Auch beim Clenshaw-Algorithmus hängt die Stabilität von den Zwischensummen ab, und es können ähnliche Stabilitätsprobleme beobachtet werden. Da die Koeffizienten der Čebyšev-Polynome  $T_n$  in der Monombasis für hohe Potenzen sehr groß sind ( $\sim 2^{n-1}$ ), sind die Koeffizienten eines gegebenen Polynoms  $p$  in der Čebyšev-Basis üblicherweise sehr klein (etwa  $2^n$  mal kleiner als in Monom-Basis). Somit sind auch die Zwischensummen im Clenshaw-Algorithmus erheblich kleiner und dieser somit viel stabiler. Wenn das Hornerschema für ein häufig auszuwertendes Polynom instabil ist, kann es sich also lohnen, zur Čebyšev-Darstellung mit Clenshaw-Algorithmus überzugehen. Für die meisten Polynome (insb. Taylorapproximationen an analytische Funktionen) reicht das Horner-Schema jedoch aus. De Casteljans Algorithmus ist i.A. gutmütig:

Thm: (Stabilität) Wird  $p(t)$  für  $t \in [0,1]$  via de Casteljans Algorithmus mittels Maschinennoperationen

ausgewertet, so erfüllt das berechnete  $\hat{p}(t)$ :  $|\hat{p}(t) - p(t)| \leq 2nB\varepsilon_n + O(\varepsilon_n^2)$  mit  $B = \max_{i=0, \dots, n} |\beta_i|$ .

Bew:  $\wedge$  bezeichne Maschinenn-berechnete Größen

Sei  $t$  und  $1-t$  exakt gegeben. Wir zeigen per vollständiger Induktion in  $k$ , dass

$$|\beta_i^{(k)}| \leq B, \quad |\hat{\beta}_i^{(k)} - \beta_i^{(k)}| \leq 2kB\varepsilon_n + O(\varepsilon_n^2), \quad i = 0, \dots, n-k.$$

Induktionsanfang:  $k=0$  ist trivial

Induktionsschritt:  $\beta_i^{(k)} = \beta_i^{(k-1)}(1-t) + \beta_{i+1}^{(k-1)}t \in \mathcal{B}(1-t) + \mathcal{B}t = \mathcal{B}$

$$\begin{aligned} \hat{\beta}_i^{(k)} &= \hat{\beta}_i^{(k-1)} \odot (1-t) \oplus \hat{\beta}_{i+1}^{(k-1)} \odot t = \hat{\beta}_i^{(k-1)}(1-t)(1+\varepsilon_1)(1+\delta) + \hat{\beta}_{i+1}^{(k-1)}t(1+\varepsilon_2)(1+\delta) \quad \text{mit } |\varepsilon_1|, |\varepsilon_2|, |\delta| \leq \varepsilon_m \\ &= \beta_i^{(k)} + \underbrace{(\hat{\beta}_i^{(k-1)} - \beta_i^{(k-1)})}_{\leq \mathcal{B}(k-1)2\varepsilon_m} (1-t) + \underbrace{(\hat{\beta}_{i+1}^{(k-1)} - \beta_{i+1}^{(k-1)})}_{\leq \mathcal{B}(k-1)2\varepsilon_m} t + \underbrace{\hat{\beta}_i^{(k-1)}(1-t)(\varepsilon_1+\delta)}_{\leq \mathcal{B} + \mathcal{B}(k-1)2\varepsilon_m} + \underbrace{\hat{\beta}_{i+1}^{(k-1)}t(\varepsilon_2+\delta)}_{\leq \mathcal{B} + \mathcal{B}(k-1)2\varepsilon_m} + O(\varepsilon_m^2) \end{aligned}$$

$$\Rightarrow |\hat{\beta}_i^{(k)} - \beta_i^{(k)}| \leq \mathcal{B}(k-1)2\varepsilon_m + \mathcal{B}2\varepsilon_m + O(\varepsilon_m^2) = \mathcal{B}k2\varepsilon_m + O(\varepsilon_m^2) \quad \square$$

heute:   
 • rationale Funktionen   
 • Polynominterpolation

## Rationale Funktionen

Nimmt man zu  $+$ ,  $-$ ,  $\cdot$  noch  $/$  hinzu, lassen sich rationale Funktionen auswerten.

Def. (rationale Funktion) Eine rationale Funktion vom Typ  $(m, n)$  ist ein Quotient  $r = \frac{p}{q}$  zweier teilerfremder Polynome  $p \in \mathcal{P}_m$ ,  $q \in \mathcal{P}_n \setminus \{0\}$ .   
 zählergrad   
 Nennergrad

Eine rationale Funktion kann auf verschiedene Arten dargestellt und somit auch ausgewertet werden, z.B. können  $p$  und  $q$  in Monombasis geschrieben und mit dem Horner Schema ausgewertet werden  $\Rightarrow$  insgesamt  $(m+n)$  mal  $\cdot$ ,  $(m+n)$  mal  $+$  bzw.  $-$ , 1 mal  $/$

Eine Alternative ist folgendes:

Thm. (Kettenbruch) Eine rationale Funktion  $r = \frac{p}{q}$  vom Typ  $(m, n)$  lässt sich darstellen durch

$$r = p_0 + \frac{1}{p_1 + \frac{1}{p_2 + \dots + \frac{1}{p_s}}}$$

für Polynome  $p_i \in \mathcal{P}_{n_i}$  mit  $\sum_{i=1}^s n_i = n$ ,  $n_0 = \max(0, m-n)$ .

Bem.: Die Auswertung kostet  $s$  mal  $/$  und  $\sum_{i=1}^s n_i = \max(m, n)$  mal  $\cdot$  und  $+$  bzw.  $-$ .

Bew.: Setze  $r_{-1} := p$ ,  $r_0 := q$ , d.h.  $r = \frac{r_{-1}}{r_0}$ .

Euklidischer Divisionsalgorithmus  $\Rightarrow r_{-1} = p_0 r_0 + r_1 \Rightarrow r = p_0 + \frac{r_1}{r_0} = p_0 + \frac{1}{r_0/r_1}$

$$r_0 = p_1 r_1 + r_2 \Rightarrow r = p_0 + \frac{1}{p_1 + \frac{r_2}{r_1}}$$

$$r_{i-1} = p_i r_i + r_{i+1} \Rightarrow r = p_0 + \frac{1}{p_1} + \dots + \frac{1}{p_i} + \frac{r_{i+1}}{r_i}$$

$$n_i = \text{Grad } p_i = \text{Grad } r_{i-1} - \text{Grad } r_i > 0 \quad \text{für } i = 1, 2, \dots$$

$\Rightarrow$  Grad  $r_i$  nimmt monoton ab  $\Rightarrow$  Iteration endet nach  $s$  Schritten mit  $r_s = 0$  und

$$\sum_{i=1}^s n_i = (\text{Grad } r_0 - \text{Grad } r_1) + (\text{Grad } r_1 - \text{Grad } r_2) + \dots + (\text{Grad } r_{s-1} - \text{Grad } r_s) = \text{Grad } r_0 - \text{Grad } r_s = \text{Grad } r_0 = n. \quad \square$$

Auch andere Darstellungen sind denkbar wie z.B.  $r = p_0 + \frac{p_1}{1} + \frac{p_2}{1} + \dots + \frac{p_s}{1}$ , daher untersuchen wir nun allgemeine Kettenbrüche.



Def. (Kettenbruch) Seien  $A = (a_1, a_2, \dots)$ ,  $B = (b_0, b_1, \dots)$  Folgen in  $\mathbb{R}$ ,  $\mathbb{C}$  oder  $\mathbb{P}_m$ . Der von  $A$  und  $B$

erzeugte Kettenbruch der Länge  $n$  ist  $k_n = b_0 + \frac{a_1}{b_1} + \frac{a_2}{b_2} + \dots + \frac{a_n}{b_n}$

(falls kein Nenner verschwindet).

Setzen wir  $k_n = \frac{P_n}{Q_n}$  (d.h. z.B.  $P_0 = b_0$ ,  $Q_0 = 1$ ) so können  $P_n, Q_n$  rekursiv berechnet werden:

Alg.: (Euler & Wallis)

$$k_n = \frac{P_n}{Q_n} \text{ für } P_{-1} = 1, P_0 = b_0, P_i = b_i P_{i-1} + a_i P_{i-2}$$

$$Q_{-1} = 0, Q_0 = 1, Q_i = b_i Q_{i-1} + a_i Q_{i-2}$$

Bew.: Induktionsanfang:  $k_0 = \frac{P_0}{Q_0} = b_0$

Induktionsschritt:  $k_n = b_0 + \frac{a_1}{b_1} + \dots + \frac{a_{n-1}}{\tilde{b}_{n-1}}$  mit  $\tilde{b}_{n-1} = b_{n-1} + \frac{a_n}{b_n}$ .

Nach Induktionsvoraussetzung also  $k_n = \frac{\tilde{P}_{n-1}}{\tilde{Q}_{n-1}}$  für  $\tilde{P}_{n-1} = \tilde{b}_{n-1} P_{n-2} + a_{n-1} P_{n-3}$ ,  $\tilde{Q}_{n-1} = \tilde{b}_{n-1} Q_{n-2} + a_{n-1} Q_{n-3}$

$$\Rightarrow k_n = \frac{b_{n-1} P_{n-2} + \frac{a_n}{b_n} P_{n-2} + a_{n-1} P_{n-3}}{b_{n-1} Q_{n-2} + \frac{a_n}{b_n} Q_{n-2} + a_{n-1} Q_{n-3}} = \frac{P_{n-1} + \frac{a_n}{b_n} P_{n-2}}{Q_{n-1} + \frac{a_n}{b_n} Q_{n-2}} = \frac{1/b_n}{1/b_n} \frac{P_n}{Q_n} \quad \square$$

Eine weitere wichtige Darstellung erhält man durch Partialbruchzerlegung.

Thm. (Partialbruchzerlegung) Sei  $r = \frac{p}{q}$  eine rationale Funktion vom Typ  $(m, n)$ ,  $m < n$ , mit

$$q = \prod_{i=1}^s (x - z_i)^{n_i}, \quad z_i \in \mathbb{C}, \quad z_i \neq z_j \text{ für } i \neq j, \quad n_i \in \mathbb{N}, \quad \sum_{i=1}^s n_i = n$$

(nach dem Fundamentalsatz der Algebra existiert eine solche Darstellung), dann gibt es  $a_{i,\lambda} \in \mathbb{C}$ ,

$$\lambda = 1, \dots, n_i, \quad a_{i,n_i} \neq 0, \quad \text{so dass } r = \sum_{i=1}^s H_i \text{ für } H_i(x) = \sum_{\lambda=1}^{n_i} \frac{a_{i,\lambda}}{(x - z_i)^\lambda}.$$

Bew.: Es ist  $q = (x - z_s)^{n_s} \tilde{q}$  für  $\tilde{q} \in \mathbb{P}_{n-n_s}$ ,  $\tilde{q}(z_s) \neq 0$ .

• für  $\alpha = \frac{p(z_s)}{\tilde{q}(z_s)}$  gilt  $r = \frac{\alpha}{(x - z_s)^{n_s}} + \tilde{r}$  mit  $\tilde{r} = \frac{p(x) - \alpha \tilde{q}(x)}{(x - z_s)^{n_s} \tilde{q}(x)} =: \frac{\tilde{p}(x)}{q(x)}$

•  $\tilde{p}(z_s) = 0$ , d.h. aus  $\frac{\tilde{p}(x)}{q(x)}$  kann  $(x - z_s)$  gekürzt werden

und man erhält  $\tilde{r} = \frac{\hat{p}}{\hat{q}}$  mit  $\text{grad } \hat{p} < \text{grad } p$ ,  $\text{grad } \hat{q} < \text{grad } q$

• Wiederhole Prozedur für  $\frac{\hat{p}}{\hat{q}}$  und iteriere bis  $\hat{q} = 1$ . □

Bem.: Der Beweis ist konstruktiv und gibt somit einen Algorithmus an. Allerdings können die

Pole  $z_i \in \mathbb{C}$  i.A. nur approximativ gefunden werden.

Bsp.:  $p(x) = x - 1$ ,  $q(x) = x^3 - 9x^2 + 26x - 24 = (x - 2)(x - 3)(x - 4)$

1)  $\alpha = \frac{p(4)}{\tilde{q}(4)} = \frac{3}{2} \Rightarrow r = \frac{3/2}{x - 4} + \frac{-3x/2 + 5/2}{(x - 2)(x - 3)}$  ; ersehe nun  $p \leftarrow \hat{p}$ ,  $q \leftarrow \hat{q}$ ,  $r \leftarrow \hat{r}$

2)  $\alpha = \frac{p(3)}{\tilde{q}(3)} = \frac{-2}{1} \Rightarrow r = \frac{-2}{x - 3} + \frac{1/2}{x - 2}$

$\Rightarrow$  gesamt:  $\frac{p}{q} = \frac{3/2}{x - 4} - \frac{2}{x - 3} + \frac{1/2}{x - 2}$

alternativ: löse  $\frac{p}{q} = \frac{\alpha}{x - 4} + \frac{\beta}{x - 3} + \frac{\gamma}{x - 2}$  nach  $\alpha, \beta, \gamma$

Thm: Hat  $r = \frac{p}{q}$  nur einfache Pole (= Nullstellen von  $q$ )  $z_i$ , so gilt die Partialbruchzerlegung

$$r = \sum_{i=1}^n \frac{p(z_i)}{q'(z_i)} \frac{1}{x-z_i}$$

Bew: Wir wissen bereits  $r = \sum_{i=1}^n \frac{\alpha_i}{x-z_i}$  für  $\alpha_1, \dots, \alpha_n \in \mathbb{C}$

$$\Rightarrow \alpha_i = \lim_{x \rightarrow z_i} (x-z_i)r = \lim_{x \rightarrow z_i} \frac{p(x)}{q(x)/(x-z_i)} = \lim_{x \rightarrow z_i} \frac{p(x)}{(q(x)-q(z_i))/(x-z_i)} = \frac{p(z_i)}{q'(z_i)} \quad \square$$

## Interpolation & Approximation

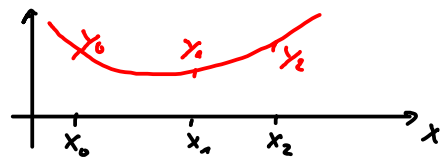
Interpolation ist nützlich, um Funktionen wie  $\sin$ ,  $\cos$ ,  $\exp$ , ... anhand von vorberechneten Werten an bestimmten Stellen anzunähern (früher mit Hilfe von Wertetabellen; heute macht dies der Rechner intern) oder um eine unbekannt Funktion, von der nur einige Messwerte gegeben sind, zu approximieren.

### Grundlagen Polynominterpolation

Def: (Polynom-Interpolationsaufgabe) Sei  $K = \mathbb{R}$  oder  $K = \mathbb{C}$ ,  $n \in \mathbb{N}$ . Gegeben Stützstellen  $x_0, \dots, x_n \in K$  und

Stützwerte  $y_0, \dots, y_n \in K$  ist das Interpolationsproblem:

Finde  $p \in \mathcal{P}_n$  mit  $p(x_k) = y_k$ ,  $k = 0, \dots, n$ . (\*)



Thm: (Wohlgestelltheit) Sind die Stützstellen paarweise verschieden, besitzt (\*) eine eindeutige Lösung.

Bew: Existenz folgt aus Lagrange-Darstellung weiter unten

• Eindeutigkeit: Seien  $p, q \in \mathcal{P}_n$  Lösungen von (\*)  $\Rightarrow r := p - q \in \mathcal{P}_n$  mit  $r(x_0) = \dots = r(x_n) = 0$

$\Rightarrow r \in \mathcal{P}_n$  hat mehr als  $n$  Nullstellen  $\Rightarrow r = 0$ . □

Thm: (Neville-Schema) Sei  $p_{i,k}$  das Interpolationspolynom zu  $(x_j, y_j)$ ,  $j = i, \dots, k$ . Dann ist

$$p_{i,k+1}(x) = \frac{1}{x_{k+1} - x_i} [(x_{k+1} - x)p_{i,k}(x) + (x - x_i)p_{i+1,k}(x)], \quad i = 0, \dots, n-1, \quad k = i, \dots, n-1,$$

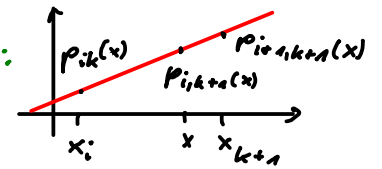
d.h. die Lösung  $p_{0,n}$  von (\*) kann rekursiv berechnet werden.

Bew:  $p_{i,k+1} \in \mathcal{P}_{k+1-i}$  &  $p_{i,k+1}(x_j) = y_j$  für  $j = i, \dots, k+1$  (durch Einsetzen). □

Die Berechnung nach Neville (oder Neville-Aitken) erfolgt nach dem Dreiecksschema

$x_0$	$y_0 = p_0$			
$x_1$	$y_1 = p_1$	$p_{01}$		
$x_2$	$y_2 = p_2$	$p_{02}$	$p_{02}$	
$\vdots$	$\vdots$	$\vdots$	$\ddots$	$p_{0n}$
$x_n$	$y_n = p_n$	$p_{n-1,n}$		

Bem: Man kann das gleiche Schema nutzen, um  $p_{0n}$  an einer Stelle  $x$  auszuwerten (ohne das Polynom explizit hinzuschreiben). Hierzu muss man in jedem Schritt nur eine Linearkombination mit Gewichten  $w = \frac{x_{k+1} - x}{x_{k+1} - x_i}$  und  $\bar{w} = \frac{x - x_i}{x_{k+1} - x_i}$  bilden. Da  $w + \bar{w} = 1$ , ist dies nichts anderes als eine lineare Inter-/Extrapolation:  
 $\Rightarrow$  das Schema funktioniert nicht nur in  $\mathbb{K}$ , sondern in allen Rumen, in denen "lineare Inter-/Extrapolation" definiert werden kann.



Bsp:  $x=3$ ,  $x_0=1, y_0=0, p_{01}(x) = \frac{-1}{1} \cdot 0 + \frac{2}{1} \cdot 0 = 0$   
 $x_1=2, y_1=0, p_{12}(x) = \frac{1}{2} \cdot 0 + \frac{1}{2} \cdot 5 = \frac{5}{2}$   
 $x_2=4, y_2=5, p_{02}(x) = \frac{1}{3} \cdot 0 + \frac{2}{3} \cdot \frac{5}{2} = \frac{5}{3}$

Sei  $v_0, \dots, v_n \in P_n$  eine Basis von  $P_n$ . Die Lösung  $p = \sum_{i=0}^n a_i v_i$  von  $(*)$  kann dann berechnet werden durch Losen des linearen Gleichungssystems  

$$\underbrace{\begin{pmatrix} v_0(x_0) & \dots & v_n(x_0) \\ \vdots & & \vdots \\ v_0(x_n) & \dots & v_n(x_n) \end{pmatrix}}_{=: V} \begin{pmatrix} a_0 \\ \vdots \\ a_n \end{pmatrix} = \begin{pmatrix} y_0 \\ \vdots \\ y_n \end{pmatrix}. \quad (**)$$

Aus der Wohlgestelltheit von  $(*)$  folgt, dass  $(**)$  fur alle rechten Seiten eine eindeutige Losung hat  $\Rightarrow V \in \mathbb{R}^{(n+1) \times (n+1)}$  ist regular, unabhangig von der gewahlten Basis.

Def: (Darstellungsformen)

(1) wahle  $v_i(x) = l_i(x) := \prod_{j=0, j \neq i}^n \frac{x - x_j}{x_i - x_j} \Rightarrow V = I$   
 $p = \sum_{i=0}^n y_i l_i$  heit Lagrange-Darstellung des Interpolationspolynoms

(2) wahle  $v_i(x) = u_i(x) := \prod_{j=0}^i (x - x_{j-1})$   
 (d.h. rekursiv  $v_0(x) = 1, v_i(x) = (x - x_{i-1}) v_{i-1}(x)$ )  $\Rightarrow V = \begin{pmatrix} 1 & x_0 - x_0 & \dots & \dots \\ \vdots & x_1 - x_0 & \dots & \dots \\ \vdots & \vdots & \ddots & \dots \\ 1 & x_n - x_0 & \dots & \prod_{i=0}^{n-1} (x_n - x_i) \end{pmatrix}$   
 $p = \sum_{i=0}^n a_i u_i$  mit  $\begin{pmatrix} a_0 \\ \vdots \\ a_n \end{pmatrix} = V^{-1} \begin{pmatrix} y_0 \\ \vdots \\ y_n \end{pmatrix}$  heit Newton-Darstellung des Interpolationspolynoms

(3) wahle  $v_i(x) = m_i(x) = x^i \Rightarrow V = \begin{pmatrix} 1 & x_0 & x_0^2 & \dots & x_0^n \\ \vdots & \vdots & \vdots & \ddots & \vdots \\ 1 & x_n & x_n^2 & \dots & x_n^n \end{pmatrix} = \text{Vandermonde-Matrix}$   
 $p = \sum_{i=0}^n a_i m_i$  mit  $\begin{pmatrix} a_0 \\ \vdots \\ a_n \end{pmatrix} = V^{-1} \begin{pmatrix} y_0 \\ \vdots \\ y_n \end{pmatrix}$  heit Monom-Darstellung des Interpolationspolynoms

heute: Interpolationsfehler

Die Lagrange-Darstellung eignet sich gut für theoretische Zwecke, allerdings ändern sich alle Basispolynome, sobald eine neue Stützstelle hinzukommt. Die Newton-Darstellung ist so gewählt, dass nur neue Basispolynome hinzukommen und gleichzeitig  $V$  eine untere Dreiecksmatrix ist — somit ändern neue Stützstellen die alten Koeffizienten nicht. Um die Koeffizienten näher zu untersuchen, führen wir Folgendes ein.

Def: (Dividiert Differenzen) Die dividierten Differenzen zu Stützstellen  $x_0, \dots, x_n$  und -werten  $y_0, \dots, y_n$

sind rekursiv definiert durch  $[y_i] = y_i \quad | \quad i = 0, \dots, n$

$$[y_{i_1}, \dots, y_{i_j}] = \frac{[y_{i_1}, \dots, y_{i_{j-1}}] - [y_{i_1}, \dots, y_{i_{j-2}}]}{x_{i_j} - x_{i_{j-1}}}, \quad j = 1, \dots, n, \quad i = 0, \dots, n-j$$

Sind  $y_i = f(x_i)$  für ein  $f: \mathbb{K} \rightarrow \mathbb{K}$ , schreiben wir auch  $f[x_{i_1}, \dots, x_{i_j}] = [y_{i_1}, \dots, y_{i_j}]$ .

Die Berechnung geschieht im Dreiecksschema:

$x_0$	$y_0 = [y_0]$	$[y_0, y_1]$	
$x_1$	$y_1 = [y_1]$	$[y_1, y_2]$	$[y_0, x_1, y_2]$
$x_2$	$y_2 = [y_2]$	$\vdots$	$\dots$
$\vdots$	$\vdots$	$\vdots$	$[y_0, y_1, \dots, y_n]$
$x_n$	$y_n = [y_n]$	$\dots$	

Bei Hinzunahme neuer Stützstellen wird das Schema unten fortgesetzt.

Thm: (Eigenschaften der Newton-Darstellung) Seien  $a_i$  die Koeffizienten der Newton-Darstellung.

- (1)  $a_i = a_i(y_0, \dots, y_i)$  hängt nur von  $y_0, \dots, y_i$  ab und ist der höchste Koeffizient des Interpolationspolynoms zu den  $n+i+1$  Stützstellen  $x_0, \dots, x_i$ . sowohl in Monom- als auch Newton-Darstellung
- (2)  $a_i = (w_0, \dots, w_i) \begin{pmatrix} y_0 \\ \vdots \\ y_i \end{pmatrix}$  für die Knoten-Gewichte  $w_j = \prod_{\substack{k=0 \\ k \neq j}}^i \frac{1}{x_j - x_k}$
- (3)  $a_i = [y_0, \dots, y_i]$

Bew: (1)  $a_0, \dots, a_i$  lösen die ersten  $n+i+1$  Zeilen von  $V \begin{pmatrix} a_0 \\ \vdots \\ a_n \end{pmatrix} = \begin{pmatrix} y_0 \\ \vdots \\ y_n \end{pmatrix}$ , also  $\begin{pmatrix} 1 & x_0 - x_0 & \dots & \prod_{j=0}^{i-1} (x_0 - x_j) \\ \vdots & \vdots & \ddots & \vdots \\ 1 & x_i - x_0 & \dots & \prod_{j=0}^{i-1} (x_i - x_j) \end{pmatrix} \begin{pmatrix} a_0 \\ \vdots \\ a_i \end{pmatrix} = \begin{pmatrix} y_0 \\ \vdots \\ y_i \end{pmatrix}$   
 $\Rightarrow$  dies sind die Gleichungen der Koeffizienten bei Interpolation mit nur  $x_0, \dots, x_i$  &  $y_0, \dots, y_i$ .

(2) Sei  $p_i$  das Interpolationspolynom zu  $x_0, \dots, x_i$  &  $y_0, \dots, y_i$ . Dessen höchster Monom-Koeffizient ist wegen

$$p_i = \sum_{j=0}^i y_j l_j = \sum_{j=0}^i y_j \prod_{i=0, i \neq j}^i \frac{x - x_i}{x_j - x_i} = \sum_{j=0}^i y_j w_j \prod_{i=0, i \neq j}^i (x - x_i)$$

gleich  $\sum_{j=0}^i y_j w_j$ ; der höchste Monom-Koeffizient ist jedoch auch der höchste Newton-Koeffizient  $a_i$ ;

(3) Seien  $r, q \in \mathbb{P}_{e-1}$  die Interpolationspolynome durch die Punkte  $(x_j, y_j)$ ,  $j = i_1, \dots, i_{i+l-1}$  bzw.  $j = i+1, \dots, i+l$ . Der höchste Newton-Koeffizient von  $r$  bzw.  $q$  ist  $a_{e-1}(y_{i_1}, \dots, y_{i+l-1})$  bzw.  $a_{e-1}(y_{i+1}, \dots, y_{i+l})$ .

Das Polynom  $o(x) \stackrel{\text{Neville}}{=} \frac{1}{x_{i+l} - x_i} [(x - x_i)q(x) + (x_{i+l} - x)r(x)]$  interpoliert  $(x_j, y_j)$ ,  $j = i_1, \dots, i_l$ .

Der höchste Newton-Koeffizient von  $o$  ist  $a_e(y_{i_1}, \dots, y_{i+l})$  und ist gleichzeitig höchster

Monom-Koeffizient, also  $a_e(y_{i_1}, \dots, y_{i+l}) = \frac{1}{x_{i+l} - x_i} [a_{e-1}(y_{i+1}, \dots, y_{i+l}) - a_{e-1}(y_{i_1}, \dots, y_{i+l-1})]$ .

$\Rightarrow a_e(y_{i_1}, \dots, y_{i+l})$  erfüllt gleiche Rekursion wie dividierte Differenzen

$\Rightarrow a_e(y_{i_1}, \dots, y_{i+l}) = [y_{i_1}, \dots, y_{i+l}] \quad \forall i, l$ , insbesondere  $a_i(y_0, \dots, y_i) = [y_0, \dots, y_i] \quad \square$

Bsp:  $(x_0, x_1, x_2) = (-1, 0, 2)$  ,  $(y_0, y_1, y_2) = (1, 2, 3)$

• Neville: 
$$\begin{array}{ccc} -1 & 1 & -x \cdot 1 + (x+1)2 = x+2 \\ 0 & 2 & \frac{2-x}{2} \cdot 2 + \frac{x}{2} \cdot 3 = \frac{x}{2} + 2 \\ 2 & 3 & \end{array} \quad \frac{2-x}{3} (x+2) + \frac{x+1}{3} \left(\frac{x}{2} + 2\right) = -\frac{x^2}{6} + \frac{5}{6}x + 2 = p(x)$$

• Lagrange: 
$$p(x) = 1 \cdot \frac{(x-0)(x-2)}{(-1-0)(-1-2)} + 2 \cdot \frac{(x+1)(x-2)}{(0+1)(0-2)} + 3 \cdot \frac{(x+1)(x-0)}{(2+1)(2-0)} = -\frac{x^2}{6} + \frac{5}{6}x + 2$$

• Newton: 
$$\begin{array}{ccc} -1 & 1 & \frac{2-1}{0-(-1)} = 1 \\ 0 & 2 & \frac{\frac{2-1}{2-(-1)}}{2-0} = \frac{1}{2} \\ 2 & 3 & \end{array} \quad \begin{array}{l} \frac{2-1}{2-(-1)} = \frac{1}{6} \\ \frac{\frac{1}{2}-1}{2-(-1)} = -\frac{1}{6} \end{array} \Rightarrow p(x) = 1 + 1(x-(-1)) - \frac{1}{6}(x-(-1))(x-0) = -\frac{x^2}{6} + \frac{5}{6}x + 2$$

← dies sind die Höchstkoeffizienten der jeweiligen Einträge im Neville-Schema!

• Monom: 
$$V = \begin{pmatrix} 1 & -1 & 1 \\ 1 & 0 & 0 \\ 1 & 2 & 4 \end{pmatrix} \Rightarrow \begin{pmatrix} a_0 \\ a_1 \\ a_2 \end{pmatrix} = V^{-1} \begin{pmatrix} y_0 \\ y_1 \\ y_2 \end{pmatrix} = \begin{pmatrix} -1/6 \\ 5/6 \\ 2 \end{pmatrix} \Rightarrow p(x) = -\frac{x^2}{6} + \frac{5}{6}x + 2$$

Interpolationsfehler

Wenn eine Funktion  $f$  an Stützstellen  $x_0, \dots, x_n$  ausgewertet und  $f(x_0), \dots, f(x_n)$  durch ein Polynom  $p_n$  interpoliert werden, wie groß ist der Fehler  $p_n - f$ ?

Def: (B-Spline) (1) Die abgeschnittene Potenz ist definiert durch  $x_+^m := \begin{cases} x^m & \text{falls } x \geq 0 \\ 0 & \text{sonst} \end{cases}$

(2) Der B-Spline  $(m-1)$ ten Grades zu Stützstellen  $x_0, \dots, x_m$  ist  $B_{m-1}(t) := \sum_{i=0}^m w_i (x_i - t)_+^{m-1}$   
↓ Knoten-gewichte

Bem: • B-Spline steht für basic spline und kann auch zur Interpolation genutzt werden (siehe später)

•  $B_{m-1}$  ist  $(m-2)$  mal differenzierbar

• Sind  $x_0 < \dots < x_n$ , kann man leicht zeigen  $B_{m-1} \geq 0$  &  $B_{m-1} = 0$  auf  $\mathbb{R} \setminus [x_0, x_n]$  (siehe später)

Thm: (Peano-Darstellung dividierter Differenzen) Ist  $f \in C^m([x_0, x_m])$ , d.h.  $m$  mal stetig differenzierbar,

gilt 
$$\begin{aligned} f[x_0, \dots, x_m] &= \frac{1}{m!} \int_{x_0}^{x_m} f^{(m)}(t) B_{m-1}(t) dt \\ &= \frac{f^{(m)}(\xi)}{m!} \int_{x_0}^{x_m} B_{m-1}(t) dt && \text{für ein } \xi \in [x_0, x_m] \\ &= \frac{f^{(m)}(\xi)}{m!} \end{aligned}$$

Bew: • Der Taylorsche Satz liefert

$$f(x) = \underbrace{\sum_{i=0}^{m-1} \frac{f^{(i)}(a)}{i!} (x-a)^i}_{=: p(x)} + \underbrace{\int_a^x \frac{(x-t)^{m-1}}{(m-1)!} f^{(m)}(t) dt}_{=: r(x)}$$

Wir haben bereits gezeigt  $f[x_0, \dots, x_m] = \sum_{i=0}^m w_i f(x_i)$ , also  $f[x_0, \dots, x_m] = \sum_{i=0}^m w_i p(x_i) + \sum_{i=0}^m w_i r(x_i)$   
Knoten-gewichte  
siehe (3) früher

Da  $p \in P_{m-1}$  ist  $\sum_{i=0}^m w_i p(x_i) = p[x_0, \dots, x_m] = m$ -ter Koeffizient von  $p = 0$ .

$$\Rightarrow f[x_0, \dots, x_m] = \sum_{i=0}^m w_i r(x_i) = \sum_{i=0}^m w_i \int_{x_0}^{x_i} \frac{(x_i-t)^{m-1}}{(m-1)!} f^{(m)}(t) dt = \int_{x_0}^{x_m} \underbrace{\sum_{i=0}^m w_i \frac{(x_i-t)_+^{m-1}}{(m-1)!}}_{=: B_{m-1}(t)/m!} f^{(m)}(t) dt$$

• Der erweiterte Mittelwertsatz liefert  $\frac{1}{m!} \int_{x_0}^{x_m} B_{m-1}(t) f^{(m)}(t) dt = \frac{f^{(m)}(\xi)}{m!} \int_{x_0}^{x_m} B_{m-1}(t) dt$  für ein  $\xi \in [x_0, x_m]$

• Für  $q(x) = \prod_{i=0}^{m-1} (x-x_i)$  gilt  $q[x_0, \dots, x_m] = \frac{1}{m!} \int_{x_0}^{x_m} B_{m-1}(t) q^{(m)}(t) dt = \int_{x_0}^{x_m} B_{m-1}(t) dt$ .

Außerdem ist die Newton-Darstellung der Interpolation von  $q(x_0), \dots, q(x_m)$  gleich

$$q(x) = q[x_0] + q[x_0, x_1](x-x_0) + \dots + q[x_0, \dots, x_m] \underbrace{(x-x_0) \dots (x-x_{m-1})}_{=: q(x)} \Rightarrow q[x_0, \dots, x_m] = 1 \quad \square$$

Thm. (Interpolationsfehler) Für paarweise verschiedene Stützstellen  $x_0, \dots, x_n \in \mathbb{R}$  sei  $I$  das kleinste Intervall mit  $x_0, \dots, x_n, x \in I$  und das Knotenpolynom definiert durch  $\omega_{n+1}(x) = \prod_{k=0}^n (x - x_k)$

Sei  $p_n$  das Interpolationspolynom von  $f(x_0), \dots, f(x_n)$ . Es gilt

$$\begin{aligned} f(x) - p_n(x) &= f[x_0, \dots, x_n, x] \omega_{n+1}(x) \\ &= \frac{f^{(n+1)}(\xi)}{(n+1)!} \omega_{n+1}(x) \quad \text{für ein } \xi \in I \quad \text{falls } f \in C^{n+1}(I) \end{aligned}$$

Bew: Sei  $x_{n+1} := x$  und  $p_i(t)$  das Interpolationspolynom zu  $f(x_0), \dots, f(x_i)$ , d.h. in Newton-Darstellung

$$p_i(t) = f[x_0] + f[x_0, x_1](t - x_0) + \dots + f[x_0, \dots, x_i](t - x_0) \dots (t - x_{i-1})$$

$$\text{Dann ist } f(x) - p_n(x) = p_{n+1}(x) - p_n(x) = f[x_0, \dots, x_n, x] \underbrace{(x - x_0) \dots (x - x_n)}_{\omega_{n+1}(x)}. \quad \square$$

Bsp.: Für  $f(x) = \cos x$  ist  $|f^{(i)}(x)| \leq 1 \Rightarrow |f(x) - p_n(x)| \leq \frac{|\omega_{n+1}(x)|}{(n+1)!}$ .

Zwischen den Stützstellen (dort wo  $\omega_{n+1}$  klein ist) ist dies sehr klein!

Außerhalb der Stützstellen wächst der Fehler wie die höchste Potenz von  $\omega_{n+1}$ , also  $x^{n+1}$ .

• Runge fand das Beispiel  $f(x) = \frac{1}{1+25x^2}$  mit  $f^{(i)}$  exponentiell anwachsend (z.B.  $f^{(2n)}(0) = (25)^n (2n)!$ )

$\Rightarrow$  hier steigt der Fehler bei äquidistanten Stützstellen mit wachsendem  $n$  an;

am Rand ergeben sich starke Oszillationen (Runge-Phänomen)!

% Interpolation analytischer Funktion

n = 3;

x = linspace(-1,1,n+1); % Stuetzstellen

t = linspace(-2,2,100); % fuer Graph

p = polyfit(x,cos(x),n);

plot(t,cos(t),'k','Linewidth',3,t,polyval(p,t),'b','Linewidth',3);

% Runges Beispiel

n = 21;

x = linspace(-1,1,n+1); % Stuetzstellen

p = polyfit(x,1./(1+25\*x.^2),n);

plot(t,1./(1+25\*t.^2),'k','Linewidth',3,t,polyval(p,t),'b','Linewidth',3);

axis([-1.5 1.5 -5 5]);

Nur für „nette“ Funktionen kann man also erwarten, dass die Polynominterpolation konvergiert für  $n \rightarrow \infty$ !

heute: Chebyshev-Interpolation  
• Stabilität

Der Interpolationsfehler hat die Form  $|f(x) - p_n(x)| \leq \frac{|f^{(n+1)}(\xi)|}{(n+1)!} |\omega_{n+1}(x)|$ , wobei  $\omega_{n+1}$  nur von den Stützstellen abhängt. Wenn man die Stützstellen wählen kann, wie macht man  $|\omega_{n+1}|$  am kleinsten?

Thm.: (1) Sei  $\|\cdot\|_\infty$  die Supremumsnorm auf  $[-1,1]$ .  $\left\| \frac{T_{n+1}}{2^n} \right\|_\infty = \frac{1}{2^n} \leq \|p\|_\infty \forall p \in \mathcal{P}_{n+1}$  mit Höchstkoeffizient 1

(2) Wählt man als Stützstellen die Nullstellen von  $T_{n+1}$ , so ist  $\omega_{n+1} = \frac{T_{n+1}}{2^n} \Rightarrow$  dies ist optimal!

Bew: (1) Sei  $q = \frac{T_{n+1}}{2^n}$  und  $p \in \mathcal{P}_{n+1}$  mit Höchstkoeffizient 1 und  $\|p\|_\infty < \frac{1}{2^n} = \|q\|_\infty \Rightarrow r := q - p \in \mathcal{P}_n$

Seien  $z_k = \cos\left(\frac{k\pi}{n+1}\right)$ ,  $k=0, \dots, n+1$ , die Extrema von  $q$ .

Aus  $|p(z_k)| \leq \|p\|_\infty < \|q\|_\infty = |q(z_k)|$  folgt  $\text{sign}(r(z_k)) = \text{sign}(q(z_k) - p(z_k)) = \text{sign}(q(z_k))$ .

Da  $q(z_k)$  wechselnde Vorzeichen hat wechselt auch  $r$  das Vorzeichen  $(n+1)$ -mal

$\Rightarrow r$  hat mindestens  $n+1$  Nullstellen  $\Rightarrow r = 0$ .

(2) Ein Polynom vom Grad  $n+1$  ist durch seine  $n+1$  Nullstellen und den Höchstkoeffizienten eindeutig bestimmt. □

Bem: Polynominterpolation auf  $[-1, 1]$  mit Nullstellen  $z_k$  von  $T_n$  als Stützstellen heißt Chebyshev-Interpolation.

• Für Interpolation auf  $[a, b]$  transformiert man einfach affin auf  $[-1, 1]$ , d. h. man benutzt die Stützstellen  $a + \frac{z_k+1}{2}(b-a)$ .

•  $\|w_{n,n}\|_\infty$  wird auch für leichte Perturbationen der  $z_k$  klein. Im Grunde reicht es, die Stützstellen auf  $[-1, 1]$  ungefähr mit der Dichte  $\left\| \left( \frac{1}{(1-x^2)^{1/2}} \right) \right\| = \frac{1}{\sqrt{1-x^2}}$ ,  $x \in [-1, 1]$  zu verteilen (bzw. auf dem Einheitskreis ungefähr gleichmäßig Punkte zu verteilen und diese auf die  $x$ -Achse zu projizieren). Eine Interpretation (von Nick Trefethen): Äquidistante Stützstellen haben am Rand im Vergleich zur Mitte zu wenig Information (in der Mitte gibt es zu beiden Seiten Stützstellen, nicht jedoch am Rand). Die Information möglichst gleichmäßig zu verteilen ist ein ähnliches Problem wie negative Ladungen (Elektronen), die sich abstoßen, optimal auf  $[-1, 1]$  zu verteilen, und dies führt zur Dichte  $\sqrt{1-x^2}$ .

% omega fuer aequidistante Stuetzstellen

n = 21;

x = linspace(-1,1,n+1); % Stuetzstellen

t = linspace(-1,1,100); % fuer Graph

omega = 1;

for i = 1:length(x)

    omega = omega .\* (t-x(i));

end

plot(t,abs(omega),'Linewidth',3);

% Runges Beispiel mit Chebyshev Interpolation

x = cos((2\*(1:n)-1)\*pi/2/n); % Chebyshev Stuetzstellen

p = polyfit(x,1./(1+25\*x.^2),n);

plot(t,1./(1+25\*t.^2),'k','Linewidth',3,t,polyval(p,t),'b','Linewidth',3);

Gegebenenfalls machen wir einen zusätzlichen Fehler bei der Messung/Auswertung der Stützwerte  $f(x_0), \dots, f(x_n)$

Thm: Sei  $y_k = f(x_k) + \varepsilon_k$ ,  $k=0, \dots, n$ , mit  $|\varepsilon_k| \leq \varepsilon$ . Seien  $p, q \in \mathcal{P}_n$  die Interpolationpolynome von

$f(x_0), \dots, f(x_n)$  bzw.  $y_0, \dots, y_n$ . Es ist  $|p(x) - q(x)| \leq \varepsilon L_n(x)$  &  $\max_{x \in [a,b]} |p(x) - q(x)| \leq \varepsilon \max_{x \in [a,b]} L_n(x)$

für  $L_n(x) = \sum_{k=0}^n |l_k(x)|$ .  
↘ Lagrange-Basis

Bew:  $p-q$  ist das Interpolationspolynom zu  $(x_0, \varepsilon_0), \dots, (x_n, \varepsilon_n)$ , also

$$p(x) - q(x) = \sum_{i=0}^n \varepsilon_i l_i(x) \leq \varepsilon \sum_{i=0}^n |l_i(x)|. \quad \square$$

```
% Interpolation mit Stuetzwert-Fehler
x = linspace(-1,1,n+1); % Stuetzstellen
t = linspace(-1,1,100); % fuer Graph
y = cos(x) + .01 * randn(size(x));
p = polyfit(x,y,n);
plot(t,cos(t),'k','Linewidth',3,t,polyval(p,t),'b','Linewidth',3);
```

```
% Ln-Funktion
n = 10;
Ln = 0;
for i = 0:n
    y = zeros(1,n+1);
    y(i+1) = 1;
    p = polyfit(x,y,n);
    Ln = Ln + abs(polyval(p,t));
end
plot(t,Ln,'Linewidth',3);
```

### Interpolationsversionen

Zusätzlich zu Funktionswerten kann man auch Ableitungen spezifizieren. Dies heißt Hermite-Interpolation

Thm: (Hermite-Interpolation) Gegeben Stützstellen  $x_0, \dots, x_n$  und Stützwerte  $y_i^k, i=0, \dots, n, k=0, \dots, n_i$ ,  $N := \sum_{i=0}^n n_i + 1$ , gibt es ein eindeutiges Polynom  $p \in \mathbb{P}_{N-1}$  mit  $p^{(k)}(x_i) = y_i^k \quad \forall i, k$ .

Bew: Hausaufgabe

Bsp:  $(x_0, x_1) = (0, 1), y_0^0 = 0, y_0^1 = 1, y_1^0 = 0$

$$\text{Sei } p(x) = a_0 + a_1 x + a_2 x^2 \Rightarrow \begin{pmatrix} 1 & x_0 & x_0^2 \\ 1 & x_1 & x_1^2 \\ 0 & 1 & 2x_0 \end{pmatrix} \begin{pmatrix} a_0 \\ a_1 \\ a_2 \end{pmatrix} = \begin{pmatrix} 0 \\ 1 \\ 1 \end{pmatrix} \Rightarrow a_0 = 0, a_1 = 1, a_2 = -1$$

Bem: Ähnlich zur normalen Interpolation findet man den Fehler  $f(x) - p_N(x) = \frac{f^{(N+1)}(\xi)}{(N+1)!} \omega_{N+1}(x)$

$$\text{mit } \omega_{N+1}(x) = \prod_{i=0}^n (x - x_i)^{n_i}.$$

Man kann Polynominter-/ -extrapolation auch nutzen, um die Genauigkeit numerischer Simulationen zu erhöhen. Wollen wir z.B. eine gDgl numerisch lösen, so müssen wir einen numerischen Parameter  $h$  wählen

(die Schrittweite, siehe später). Wir können die Lösung  $f(h)$  nur für  $h > 0$  berechnen, die exakte Lösung wäre  $\lim_{h \rightarrow 0} f(h)$ .

Angenommen,  $f(h)$  hat die Taylorentwicklung  $f(h) = f(0) + a_1 h + O(h^2)$ , dann kann man den  $O(h)$ -Term wie folgt eliminieren:

$$2f\left(\frac{h}{2}\right) - f(h) = f(0) + O(h^2)$$

$\Rightarrow$  man erhält eine besser Fehlerordnung. Analog kann man höhere Ordnungen eliminieren. Dieses Verfahren heißt Richardson-Extrapolation.



Alg: (Richardson-Extrapolation)  $f$  habe in  $0$  eine Taylorentwicklung  $f(x) = f(0) + \sum_{i=1}^n a_i x^i + o(x^n)$

· wähle Stützstellen  $x_i = z^i h$  für ein  $z \in (0,1)$ ,  $h > 0$ ,  $i = 0, \dots, n$ . (z.B.  $x = h, \frac{h}{2}, \frac{h}{4}, \dots$ )

· berechne Polynominterpolation  $p(x)$  zu  $(x_i, f(x_i))$  bzw. werte diese an Stelle  $x=0$  aus (mit Neville-Aitken)

Thm: Die Richardson-Extrapolation  $p(0)$  erfüllt  $f(0) - p(0) = o(h^n)$ .

Bew: Die Peano-Darstellung des Fehlers ist  $f(0) - p(0) = f[x_0, \dots, x_n, 0] \omega_{n+1}(0)$

·  $\omega_{n+1}(0) = x_0 \cdots x_n = z^{\frac{n+1}{2}} h^{n+1}$

· wir wissen  $f[x_0, \dots, x_n, x] = \frac{f[x_1, \dots, x_n, x] - f[x_0, \dots, x_n]}{x - x_0} = \frac{f^{(n)}(\xi_1)/n! - f^{(n)}(\xi_2)/n!}{-h}$  für  $\xi_1, \xi_2 \in [0, h]$

$$= \frac{1}{n!h} (a_{n+o(n)} - a_{n-o(n)}) = \frac{o(h)}{n!h}$$

$\Rightarrow f(0) - p(0) = \frac{z^{\frac{n+1}{2}}}{n!} o(h^n)$  □

Bsp:  $g(z) = g(0) + a_1 z^2 + a_2 z^4 + O(z^6)$

Setze  $x = z^2$ ,

$f(x) = g(\sqrt{x}) = g(0) + a_1 x + a_2 x^2 + O(x^3)$

$$\left. \begin{array}{l} h \\ h/2 \\ h/4 \end{array} \right\} \begin{array}{l} f(h) \\ f(h/2) \\ f(h/4) \end{array} \quad \begin{array}{l} \frac{h/2}{-h/2} f(h) - \frac{h}{-h/2} f(h/2) \\ \frac{h/4}{-h/4} f(h/2) - \frac{h/2}{-h/4} f(h/4) \end{array} \quad \begin{array}{l} \frac{h/4}{-3h/4} (-f(h) + 2f(h/2)) - \frac{h}{-3h/4} (-f(h/2) + 2f(h/4)) \\ = \frac{1}{3} f(h) - 2f(h/2) + \frac{8}{3} f(h/4) \approx g(0) \end{array}$$

Man kann auch mit rationalen Funktionen interpolieren (etwa sog. NRBS). Üblicherweise sucht man zu Stützstellen  $x_0, \dots, x_n$  und -werten  $y_0, \dots, y_n$  zwei Polynome  $p \in P_n$ ,  $q \in P_{n-m}$  und löst dann das Gleichungssystem  $y_i q(x_i) = p(x_i)$ ,  $i = 0, \dots, n$ ,  $p(x_0) = 1$  für die  $n+2$  Koeffizienten von  $p$  und  $q$ .

Schließlich kann man auch mit beliebigen Ansatzfunktionen  $g_0, \dots, g_n: \mathbb{K} \rightarrow \mathbb{K}$  interpolieren. Um eine Interpolierende  $g(x) = \sum_{i=0}^n a_i g_i(x)$  zu erhalten, müssen die  $n+1$  Gleichungen  $a_0 g_0(x_i) + \dots + a_n g_n(x_i) = y_i$ ,  $i = 0, \dots, n$ , nach  $a_0, \dots, a_n$  gelöst werden.

Werk: DFT

Diskrete Fouriertransformation

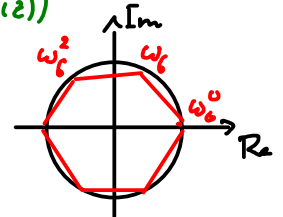
Die diskrete Fouriertransformation ist ein wichtiges mathematisches Werkzeug. Eine ihrer Interpretationen kommt aus der Interpolation. Wir brauchen ein bisschen Vorbereitung.

Thm: (Eulersche Identitäten) Für  $z \in \mathbb{C}$  gilt

- (1)  $\exp(iz) = \cos z + i \sin z$
- (2)  $\cos(z) = \frac{1}{2} (\exp(iz) + \exp(-iz))$
- (3)  $\sin(z) = \frac{1}{2i} (\exp(iz) - \exp(-iz))$

Def: (Einheitswurzel)  $\omega_n = \exp(\frac{2\pi i}{n})$  heißt primitive nte Einheitswurzel.

·  $z_{jn} = \omega_n^j$  heißen nte Einheitswurzeln.



Bem: Die  $z_{jn}$  sind genau diejenigen Zahlen, die  $z^n = 1$  lösen, daher der Name.

Herleitung A) Sei  $f: \mathbb{C} \rightarrow \mathbb{C}$ , wähle Stützstellen und -werte  $x_j = \omega_{n+1}^j$ ,  $y_j = f(x_j)$ ,  $j = 0, \dots, n$ .

Die Koeffizienten des Interpolationspolynoms  $p_n(x) = \sum_{j=0}^n a_j x^j$  erfüllen

$V \begin{pmatrix} a_0 \\ \vdots \\ a_n \end{pmatrix} = \begin{pmatrix} y_0 \\ \vdots \\ y_n \end{pmatrix}$  für die Vandermonde-Matrix  $V_{kl} = \omega_{n+1}^{kl}$ .

Herleitung B) Sei  $f: \mathbb{R} \rightarrow \mathbb{C}$  periodisch mit Periode  $2\pi$ , wähle periodische Ansatzfunktionen  $g_k(t) = \exp(ikt)$ , äquidistante Stützstellen  $t_j = \frac{2\pi}{n+1} j$ ,  $y_j = f(t_j)$ ,  $j=0, \dots, n$ . Die Koeffizienten der Interpolation  $g(t) = \sum_{j=0}^n a_j g_j(t)$  erfüllen auch  $V \begin{pmatrix} a_0 \\ \vdots \\ a_n \end{pmatrix} = \begin{pmatrix} y_0 \\ \vdots \\ y_n \end{pmatrix}$ .

Herleitung C)  $f, t_j, y_j$  wie in B). Der Nachteil von B) ist, dass mit diesen Ansatzfunktionen keine reelle oder imaginäre Funktion erzeugt werden kann. Aus der Analysis wissen wir jedoch, dass sich jede periodische Funktion darstellen lässt als Linearkombination

$\sum_{j=-\infty}^{\infty} a_j \exp(ijt) \Rightarrow$  wähle Ansatzfunktionen

$$g_k(t) = \begin{cases} \exp(ikt) & , k \leq \frac{n}{2} \\ \exp(i(k-n-1)t) & , k > \frac{n}{2} \end{cases}$$

$\Rightarrow$  das zu lösende Gleichungssystem ist  $y_j = \sum_{k=0}^n a_k g_k(\frac{2\pi j}{n+1})$

wegen  $\exp(i(k-n-1)t \frac{2\pi j}{n+1}) = \exp(ikt \frac{2\pi j}{n+1})$  ist dies wieder das gleiche System.

Thm:  $W = \frac{V}{\sqrt{n+1}}$  für  $V = (\omega_{n+1}^{kj})_{k,j=0, \dots, n}$  ist unitär, d.h.  $W^{-1} = W^* = \overline{W}^T$

Bew:  $(V^* V)_{ac} = V_{a \cdot}^* \cdot V_{\cdot c} = \sum_{j=0}^n \omega_{n+1}^{-kj} \omega_{n+1}^{jl} = \sum_{j=0}^n \omega_{n+1}^{j(l-k)} = \begin{cases} n+1 & , k=l \\ \frac{\omega_{n+1}^{l-k} - 1}{\omega_{n+1}^{l-k} - 1} = 0 & \text{sonst} \end{cases}$   
 $\Rightarrow W^* W = I$  geometrische Reihe  $\square$

Die übrigen Koeffizienten erfüllen also

$$a_j = (V^{-1})_{j \cdot} \begin{pmatrix} y_0 \\ \vdots \\ y_n \end{pmatrix} = \sum_{k=0}^n y_k \frac{\omega_{n+1}^{-jk}}{n+1} \quad \text{und} \quad y_j = V_{j \cdot} \begin{pmatrix} a_0 \\ \vdots \\ a_n \end{pmatrix} = \sum_{k=0}^n a_k \omega_{n+1}^{jk}$$

Def: (Diskrete Fouriertransformation, DFT) Sei  $y_0, \dots, y_n \in \mathbb{C}$ .

(1)  $(\hat{y}_0, \dots, \hat{y}_n)$  mit  $\hat{y}_k = \sum_{j=0}^n y_j \exp(-\frac{2\pi i j k}{n+1})$  heißt diskrete Fouriertransformation von  $(y_0, \dots, y_n)$

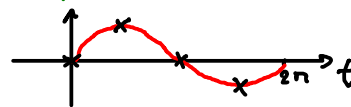
(2)  $(\check{y}_0, \dots, \check{y}_n)$  mit  $\check{y}_k = \frac{1}{n+1} \sum_{j=0}^n y_j \exp(\frac{2\pi i j k}{n+1})$  heißt inverse diskrete Fouriertransformation von  $(y_0, \dots, y_n)$

Bem:  $(\hat{\check{y}})^{\check{}} = (\check{y})^{\hat{}} = y$

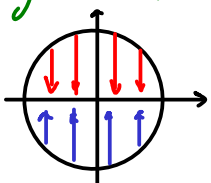
• Für obige Interpolationskoeffizienten gilt  $a = \frac{\check{y}}{n+1}$ ,  $y = (n+1) \hat{a}$ .

Bsp:  $n=3$ , interpoliere nach Ansatz C)  $t_j = \frac{2\pi j}{4}$ ,  $j=0, \dots, 3$ ,  $y = (0 \ 1 \ 0 \ -1)$

$$\left. \begin{aligned} \hat{y}_0 &= y_0 + y_1 + y_2 + y_3 = 0 \\ \hat{y}_1 &= y_0 - i y_1 - y_2 + i y_3 = -2i \\ \hat{y}_2 &= y_0 - y_1 + y_2 - y_3 = 0 \\ \hat{y}_3 &= y_0 + i y_1 - y_2 - i y_3 = 2i \end{aligned} \right\} \Rightarrow g(t) = \frac{-2i}{4} \exp(it) + \frac{2i}{4} \exp(-it) = \sin t$$



Bem: Es gibt einen engen Zusammenhang zu Caleyser-Interpolation: Fassen wir das periodische Gebiet  $[0, 2\pi]$  als den Einheitskreis auf und projizieren ihn auf die x-Achse, so wird aus der Funktion  $f: [0, 2\pi] \rightarrow \mathbb{C}$  eine Funktion  $\tilde{f}: [-1, 1] \rightarrow \mathbb{C}$ . Die äquidistanten Stützstellen  $t_k = \frac{2\pi k}{n+1}$  auf  $[0, 2\pi]$  werden zu Stützstellen  $x_k = \cos \frac{2\pi k}{n+1}$



auf  $[-1, 1]$ , die nach der Dichte  $\frac{1}{\sqrt{1-x^2}}$  verteilt sind - genau wie bei Čebyšev-Interpolation.

Technisches Problem hierbei: Man erhält ein  $\tilde{f}$  durch runterprojizieren (rote Pfeile) und ein anderes durch hochprojizieren (blaue Pfeile) - damit beides gleich ist, muss  $f$  gerade sein, d.h.  $f(t) = f(2\pi - t)$ .

Technische Details zur Umgehung des Problems: Teile  $f$  in geraden und ungeraden Anteil auf

$$f_1(t) = \frac{1}{2}(f(t) + f(2\pi - t)) \quad , \quad f_2(t) = \frac{1}{2}(f(t) - f(2\pi - t))$$

und mache  $f_2$  gerade:  $f_3(t) = \sin t f_2(t)$

Nun projiziere  $f_1$  &  $f_3 \rightarrow \tilde{f}_1, \tilde{f}_3$  und interpoliere  $\tilde{f}_1$  &  $\tilde{f}_3$  durch Čebyšev-Polynome 1. & 2. Art und Stützstellen  $x_k$  (dies ist fast wie Čebyšev-Interpolation)

$$\Rightarrow \tilde{f}_1(x) \approx \sum_{k=0}^{n/2} a_k T_k(x) \quad , \quad \tilde{f}_3(x) \approx \sum_{k=1}^{n/2} b_k U_k(x)$$

$$\text{wobei } \tilde{f}_1(x_j) = \sum_{k=0}^{n/2} a_k T_k(x_j) \quad , \quad \tilde{f}_3(x_j) = \sum_{k=1}^{n/2} b_k U_k(x_j)$$

Setzen wir  $x = \cos t$ , ist dies äquivalent zu

$$f_1(t) \approx \sum_{k=0}^{n/2} a_k \cos(kt) \quad , \quad f_2(t) = \frac{f_3(t)}{\sin t} \approx \sum_{k=1}^{n/2} b_k \sin(kt)$$

$$\text{wobei } f_1(t_j) = \sum_{k=0}^{n/2} a_k \cos(kt_j) \quad , \quad f_2(t_j) = \sum_{k=1}^{n/2} b_k \sin(kt_j) \quad ,$$

$$\text{d.h. } f(t) \approx \sum_{k=-n/2}^{n/2} c_k \exp(2\pi i kt) \quad \text{mit } c_k = \begin{cases} a_0 & , k=0 \\ \frac{1}{2}(a_k - ib_k) & , k > 0 \\ \frac{1}{2}(a_k + ib_k) & , k < 0 \end{cases}$$

$$\text{wobei } f(t_j) = \sum_{k=-n/2}^{n/2} c_k \exp(2\pi i kt_j) \quad ,$$

d.h. die  $a_k$  &  $b_k$  sind die Komponenten der diskreten Fouriertransformation.

Somit können die Interpolationsfehler-Ergebnisse von der Čebyšev-Interpolation auf die trigonometrische Interpolation übertragen werden.

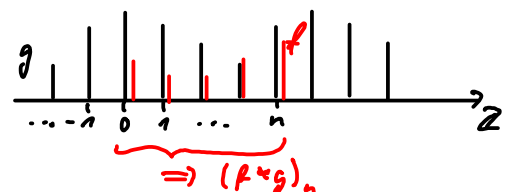
Eine weitere wichtige Anwendung der DFT hängt mit Faltung zusammen. Hierzu fassen wir (wie eigentlich auch schon oben)  $(y_0, \dots, y_n)$  als Repräsentant einer periodischen Folge  $\dots, y_{-1}, y_0, \dots, y_n, y_{n+1}, \dots$  auf.

Sei  $V_n = \{f \mid (f_k)_{k \in \mathbb{Z}} \text{ ist } (n+1)\text{-periodisch}\}$ .

Def: (Hadamard- & Faltungsprodukt) Seien  $f, g \in V_n$ .

• Hadamard- (bzw. punktweise) Produkt:  $f \cdot g = (f_k g_k)_{k \in \mathbb{Z}} \in V_n$

• Faltungsprodukt:  $f * g = \left( \sum_{j=0}^n f_j g_{k-j} \right)_{k \in \mathbb{Z}} \in V_n$



Thm: (Faltungssatz) Seien  $f, g \in V_n$ . (1)  $(f * g)^\wedge = \hat{f} \cdot \hat{g}$

$$(2) (f \cdot g)^\wedge = \frac{1}{n+1} \hat{f} * \hat{g}$$

Bew: Hausaufgabe

Bem: Entsprechendes gilt für  $\vee$ . (Hausaufgabe)

Der Faltungssatz ist wichtig, weil Faltung oft benötigt wird,  $\wedge$  k. aber erheblich weniger Rechenoperationen brauchen als  $*$  ( $\sim n \log n$  statt  $n^2$ , siehe später).

heute:  $\cdot$  DFT-Anwendung  
 $\cdot$  FFT

### Anwendungsbeispiele für DFT

Bem: Die DFT hat (wie übrigens auch Interpolation allgemein) auch höherdimensionale Versionen. Z.B. in 2D wird  $y_{kl}$ ,  $k=0, \dots, n_1$ ,  $l=0, \dots, n_2$  aufgefasst als  $(n_1+1)$ -periodische Folge im ersten und  $(n_2+1)$ -periodische Folge im zweiten Index. Die DFT wird in beide Richtungen separat gemacht:

$$\begin{aligned} (\hat{y})_{ab} &= \left( (y_{k_0}, \dots, y_{k_{n_2}}) \wedge_l \right) \wedge_a = \left[ \left( \sum_{j=0}^{n_2} y_{kj} \exp\left(\frac{2\pi i j l}{n_2+1}\right) \right) \right] \wedge_a \\ &= \sum_{k=0}^{n_1} \left( \sum_{j=0}^{n_2} y_{kj} \exp\left(\frac{2\pi i j l}{n_2+1}\right) \right) \exp\left(\frac{2\pi i k a}{n_1+1}\right) \\ &= \sum_{k=0}^{n_1} \sum_{j=0}^{n_2} y_{kj} \exp\left[-2\pi i \left(\frac{k a}{n_1+1} + \frac{j l}{n_2+1}\right)\right] \\ (\hat{y})_{ab} &= \frac{1}{n_1+1} \frac{1}{n_2+1} \sum_{k=0}^{n_1} \sum_{j=0}^{n_2} y_{kj} \exp\left[2\pi i \left(\frac{k a}{n_1+1} + \frac{j l}{n_2+1}\right)\right] \end{aligned}$$

Der Faltungssatz gilt weiterhin mit  $(f \cdot g)_{kl} = f_{kl} g_{kl}$ ,  $(f * g)_{kl} = \sum_{j=0}^{n_1} \sum_{m=0}^{n_2} f_{k-j, l-m} g_{k-j, l-m}$

1) In der Bildverarbeitung werden  $n_1 \times n_2$  Pixelbilder aufgefasst als  $(n_1 \times n_2)$ -Matrizen  $u$  mit  $u_{kl}$  dem Grauwert des  $(k, l)$ -Pixel. Es können „features“ durch Faltung gefunden werden,

z.B. Bildkanten durch Faltung mit  $\begin{pmatrix} 0 & -1 & 0 \\ -1 & 0 & 1 \\ 0 & 1 & 0 \end{pmatrix}$  (mit 0 erweitert auf  $n_1 \times n_2$ -Format)

Faltung liefert Differenzenquotienten, also Approximation an Ableitung!

```
img = double(imread('Schloss.png'));  
imagesc(img); colormap(gray);
```

```
edgeDet = zeros(size(img));  
edgeDet(1:3,1:3) = [0 -1 0; -1 0 1; 0 1 0];  
edges = real( ifft2( fft2(img) .* fft2(edgeDet) ) );  
imagesc(edges);
```

2) Bilder können geglättet werden durch Faltung mit  $\begin{pmatrix} 1 & 2 & 1 \\ 2 & 5 & 2 \\ 1 & 2 & 1 \end{pmatrix}$  oder einem Gauß-Kern

```
smoother = zeros(size(img));  
n = 20;  
gauss = exp(-(-n:n).^2/n^2);  
smoother(1:2*n+1,1:2*n+1) = gauss'*gauss;  
smoothed = real( ifft2( fft2(img) .* fft2(smoother) ) );  
imagesc(smoothed);
```

3) Bilder können durch Weglassen der hohen Fourierkomponenten (die hohe, nicht relevante Oszillationen enthalten) komprimiert werden (dies ist eine Grundidee von jpeg)

```
imgHat = fft2(img);
imgHat = imgHat(round([1:end/10, 9*end/10:end]), round([1:end/10, 9*end/10:end]));
compressed = real( ifft2( imgHat ) );
imagesc(compressed);
numel(img) / numel(imgHat)
```

Obiges funktioniert natürlich nicht nur mit Bildern, sondern mit allen möglichen Signalen (auch Ton etc.)

4) PDGln wie z.B. die Wärmeleitung  $\frac{\partial y}{\partial t} = \Delta y$ ,  $t \in [0, \infty)$ ,  $x \in [0, 1]$  periodisch, können durch Differenzenquotienten approximiert werden: Sei  $y_j^n = y(t_n, x_j)$  mit  $t_n = n\tau$ ,  $x_j = jh$ , dann ist

$$\frac{y_j^{n+1} - y_j^n}{\tau} \approx \frac{y_{j+1}^{n+1} - 2y_j^{n+1} + y_{j-1}^{n+1}}{h^2}$$

im Prinzip auch  $n$  möglich, dies macht jedoch Probleme...

Die rechte Seite ist Faltung vor  $(y_j^{n+1})_{j \in \mathbb{Z}}$  mit  $\frac{1}{h^2} (-2 \quad 1 \quad 0 \dots 0 \quad 1) =: w$

Nach DFT in  $j$  bekommen wir

$$\frac{\hat{y}_j^{n+1} - \hat{y}_j^n}{\tau} = \hat{w}_j \hat{y}_j^{n+1} \Rightarrow \hat{y}_j^{n+1} = \hat{y}_j^n / (1 - \tau \hat{w}_j)$$

$\Rightarrow$  sehr einfaches Verfahren!

```
n = 200;
x = linspace(0,1,n); % alle xj
h = x(2)-x(1); tau = 1e-5;
w = zeros(1,n); w([1 2 n]) = [-2 1 1]/h^2;
factor = 1./(1-tau*fft2(w));
y = rand(1,n);
for j = 1:3000
    plot(x,y,'Linewidth',3);
    axis([0 1 0 1]);
    y = real(ifft2(fft2(y).*factor));
    pause(.1);
end
```

5) Sei  $p(x) = \sum_{i=0}^n a_i x^i$ ,  $q(x) = \sum_{i=0}^n b_i x^i \Rightarrow (pq)(x) = \sum_{i=0}^{2n} c_i x^i$  mit  $c_i = \sum_{j=\max(0, i-n)}^i a_j b_{i-j}$ .

Die naive Berechnung der  $c_i$  erfordert  $1+2+3+\dots+n+n-1+\dots+2+1 = n^2$  Multiplikationen & Additionen. Fassen wir  $(a_0, a_1, \dots, a_n, 0, \dots, 0)$  und  $(b_0, \dots, b_n, 0, \dots, 0)$  als  $(2n+2)$ -periodische Folgen auf, so ist  $c_i = (a * b)_i = (\hat{a} \cdot \hat{b})_i$  mit nur  $n \log n$  Operationen!

Eine Anwendung ist die schnelle Multiplikation großer Zahlen, wobei  $a_n a_{n-1} \dots a_0, b_n \dots b_0$  die Darstellung in einem  $B$ -adischen System sind (z.B. Dezimalsystem).

## Schnelle Fouriertransformation (fast Fourier transform, FFT)

Die naive Implementierung der DFT  $\hat{y}_k = \sum_{j=0}^n y_j \bar{\omega}_{n+1}^{kj}$  benötigt für jedes  $n$  Additionen und Multiplikationen, also gesamt  $2n^2$  Operationen. Die FFT hingegen braucht nur  $\sim n \log_2$  Operationen

$\Rightarrow$  für  $n \sim 1000$  ist dies bereits  $\sim 200$  mal schneller, für  $n \sim 10^6$  ca.  $10^5$  mal schneller

$\Rightarrow$  statt 3h dauert eine Rechnung nur 0,1s!

Für die Grundlagen betrachten wir das Beispiel  $n=7$ :

$$\begin{aligned} \hat{y}_k &= y_0 \bar{\omega}_8^0 + y_1 \bar{\omega}_8^k + y_2 \bar{\omega}_8^{2k} + y_3 \bar{\omega}_8^{3k} + \dots + y_7 \bar{\omega}_8^{7k} \\ &= (y_0 + y_2 \bar{\omega}_8^{2k} + y_4 \bar{\omega}_8^{4k} + y_6 \bar{\omega}_8^{6k}) + \bar{\omega}_8^k (y_1 + y_3 \bar{\omega}_8^{2k} + y_5 \bar{\omega}_8^{4k} + y_7 \bar{\omega}_8^{6k}) \\ &= \left[ (y_0 + y_4 \bar{\omega}_4^{2k}) + \bar{\omega}_4^k (y_2 + y_6 \bar{\omega}_4^{2k}) \right] + \bar{\omega}_8^k \left[ (y_1 + y_5 \bar{\omega}_4^{2k}) + \bar{\omega}_4^k (y_3 + y_7 \bar{\omega}_4^{2k}) \right] \end{aligned}$$

Offenbar werden für verschiedene  $k$  immer wieder die gleichen Terme gebraucht!

### Alg. (FFT nach Cooley & Tucker)

Sei  $n+1 = (p+1)(q+1)$ .

(1) Setze  $z_{rs} = y_{(p+1)s+r}$  für  $r=0, \dots, p, s=0, \dots, q$

(2) Für  $r=0, \dots, p$  berechne die DFT  $(z_r)^\wedge$  von  $(z_{rs})_{s=0, \dots, q}$

(3) Für  $r=0, \dots, p$  und  $t=0, \dots, q$  berechne  $u_{rt} = \bar{\omega}_{n+1}^{rt} (z_r)^\wedge_t$

(4) Für  $t=0, \dots, q$  berechne die DFT  $(u_t)^\wedge$  von  $(u_{rt})_{r=0, \dots, p}$

(5) Setze  $\hat{y}_{l(q+1)+t} = (u_t)^\wedge_l$  für  $l=0, \dots, p, t=0, \dots, q$ .

Bew:  $\hat{y}_{l(q+1)+t} = \sum_{j=0}^n \bar{\omega}_{n+1}^{j[l(q+1)+t]} y_j = \sum_{r=0}^p \sum_{s=0}^q \bar{\omega}_{n+1}^{[s(p+1)+r][l(q+1)+t]} z_{rs}$

$$= \sum_{r=0}^p \bar{\omega}_{n+1}^{r[l(q+1)+t]} \bar{\omega}_{n+1}^{s[l(q+1)+t]} \sum_{s=0}^q \bar{\omega}_{n+1}^{s[l(q+1)+t]} z_{rs} = \sum_{r=0}^p \bar{\omega}_{n+1}^{rl} \bar{\omega}_{n+1}^{rt} \underbrace{\sum_{s=0}^q \bar{\omega}_{q+1}^{st} z_{rs}}_{(z_r)^\wedge_t} = (u_r)^\wedge_l \quad \square$$

$\bar{\omega}_{ab}^a = \bar{\omega}_b$

Bem.: Die DFT der Länge  $n+1$  kann also durchgeführt werden als

$(p+1)$  DFT der Länge  $q+1$  (2),  $(n+1)$  Multiplikationen (3),  $(q+1)$  DFT der Länge  $p+1$  (4)

• Für  $p=1$  sind Schritt (3) & (4):  $(z_0)^\wedge_t \xrightarrow{1} u_{0t} \begin{matrix} \xrightarrow{1} \\ \xrightarrow{1} \end{matrix} (u_t)^\wedge_0 \Leftrightarrow \left\{ \begin{matrix} (z_0)^\wedge_t \xrightarrow{1} (u_t)^\wedge_0 \\ (z_1)^\wedge_t \xrightarrow{\bar{\omega}_{n+1}^t} (u_t)^\wedge_1 \end{matrix} \right\}$

Aufgrund des  $\otimes$ -Schemas heißen solche Algorithmen auch „Schmetterlings“-Schemata

Thm. (Aufwand FFT) Sei  $R_k$  die Anzahl an Rechenoperationen der FFT der Länge  $n+1 = 2^k$ . Es gilt

$$R_k = 2R_{k-1} + 2^k = k2^k$$

Bew: Hausaufgabe

## Splineinterpolation

Die Computhardware kann auch Verzweigungen („if“) auswerten, daher ist auch eine Interpolation/Approximation mit stückweise definierten Polynomen/rationalen Funktionen effizient möglich. Hierdurch kann das Runge-Phänomen vermieden werden (siehe später). Außerdem haben bestimmte stückweise Polynome sehr schöne mathematische Eigenschaften (siehe später Minimalkrümmung).

Def: (Spline) Gegeben Stützstellen  $x_0 < \dots < x_n \in \mathbb{R}$  ist ein polynomialer Spline vom Grad  $d$  eine Funktion  $S: \mathbb{R} \rightarrow \mathbb{R}$  mit (1)  $S|_{(x_i, x_{i+1})} \in \mathbb{P}_d$ ,  $i = -1, \dots, n$ , (2)  $S \in C^{d-1}(\mathbb{R})$ .  
- mit  $x_{-1} = -\infty$ ,  $x_{n+1} = \infty$

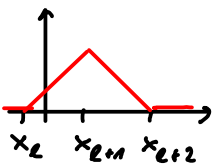
Die Restriktion  $S|_{[x_0, x_n]}$  heißt Spline auf  $[x_0, x_n]$ .

Wichtige Fälle sind  $d = 1, 2, 3$  (linearer, quadratischer, kubischer Spline).

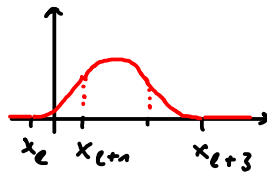
Bsp.: Die abgeschnittene Potenz  $t \mapsto t_+^d$  ist ein Spline vom Grad  $d$  (mit Stützstelle  $x_0 = 0$ )



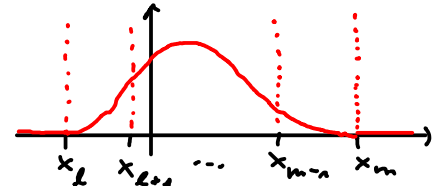
Der B-Spline  $B_{\ell, m}(t) = (m-\ell) \sum_{i=\ell}^m \omega_i (x_i - t)_+^{m-\ell-1}$  mit  $\omega_j = \prod_{\substack{k=\ell \\ k \neq j}}^m \frac{1}{x_j - x_k}$  ist ein Spline vom Grad  $m - \ell - 1$



$m = \ell + 2$ , linearer B-Spline



$m = \ell + 3$ , quadratischer B-Spline



Für Interpolation mit Splines benötigen wir eine Basis des Vektorraums der Splines. B-Splines eignen sich hier besonders aufgrund ihrer schönen Eigenschaften.

Thm: (Satz von Rolle rückwärts) Ist  $f \in C^k([a, b])$  und hat  $f^{(k)}$  auf  $[a, b]$  Nullstellen mit Gesamtvielfachheit  $N$ , so hat  $f$  in  $[a, b]$  Nullstellen mit Gesamtvielfachheit höchstens  $N+k$ . (Intervalle, auf denen  $f$  verschwindet, werden als  $k$ -fache Nullstelle gezählt.)

Bew: Hausaufgabe

Thm: (1)  $B_{\ell, m}(t) = 0 \quad \forall t \in \mathbb{R} \setminus (x_\ell, x_m)$

(2)  $B_{\ell, m}(t) > 0 \quad \forall t \in (x_\ell, x_m)$

(3)  $\int_{\mathbb{R}} B_{\ell, m}(t) dt = 1$

Bew: (1) OBdA Sei  $l=0$ . Wegen  $t_+^k = t^k + (-1)^{k+1} (-t)_+^k$  folgt für  $t \leq x_0$

$$B_{0,m}(t) = m \sum_{k=0}^m w_k (x_k - t)^{m-1} + m(-1)^m \sum_{k=0}^m w_k (t - x_k)_+^{m-1} = m \sum_{k=0}^m w_k (x_k - t)^{m-1}$$

Dies ist die  $m$ te dividierte Differenz der Funktion  $f(x) = m(x-t)^{m-1}$  (siehe „Eigenschaften der Newtondarstellung“), also  $B_{0,m}(t) = f[x_0, \dots, x_m] = \frac{f^{(m)}(\xi)}{m!} = 0$

(2)  $B_{0,m}(t)$  hat in  $x_0$  und  $x_m$  je eine  $(m-1)$ -fache Nullstelle.

Es kann keine weiteren Nullstellen haben, da  $B_{0,m}^{(m-2)}(t)$  ein Polygonzug mit  $m$  Segmenten (auf  $[x_0, x_1], [x_1, x_2], \dots, [x_{m-1}, x_m]$ ) und somit  $\leq m$  Nullstellen ist  $\Rightarrow$  nach dem Satz von Rolle rückwärts hat  $B_{0,m} \leq 2m-2$  Nullstellen.

(3) bereits früher gezeigt □

Thm: (Spline-Basis) Gegeben Stützstellen  $x_0 < \dots < x_n$ , wähle beliebige  $x_{-d} < \dots < x_{-1} < x_0, x_n < x_{n+1} < \dots < x_{n+d}$ .

Die B-Splines  $B_{-d,1}, B_{-d+1,2}, \dots, B_{n-1,n+d}$  bilden eine Basis des Vektorraums aller Splines vom Grad  $d$  auf  $[x_0, x_n]$ .

Bew: Die B-Splines sind  $n+d$  linear unabhängige Splines vom Grad  $d$ , denn sei

$$0 = \sum_{i=1}^{n+d} a_i B_{i-d-1,i}(t) =: f(t) \text{ auf } [x_0, x_n].$$

Alle Terme für  $i > d$  und ihre  $d-1$  Ableitungen verschwinden an der Stelle  $t = x_0$

$$\Rightarrow F(t) := \sum_{i=1}^d a_i B_{i-d-1,i}(t) \text{ und } F^{(1)}, \dots, F^{(d-1)} \text{ verschwinden ebenfalls in } t = x_0$$

$\Rightarrow F$  hat in  $x_{-d}$  und  $x_0$  je eine  $d$ -fache Nullstelle, gleichzeitig folgt wie oben mit dem Satz von Rolle rückwärts, dass  $F \leq 2d-1$  Nullstellen auf  $[x_{-d}, x_0]$  hat

$$\Rightarrow F = 0$$

$$\Rightarrow f(t) = a_{d+1} B_{0,d+1}(t) \text{ auf } [x_0, x_n] \Rightarrow a_{d+1} = 0$$

$$\Rightarrow f(t) = a_{d+2} B_{1,d+2}(t) \text{ auf } [x_1, x_2] \Rightarrow a_{d+2} = 0$$

$$\vdots$$

$$\Rightarrow a_{d+n} = \dots = a_{d+n} = 0$$

$$\Rightarrow f(t) = a_d B_{-n,d}(t) \text{ auf } [x_{-n-1}, x_{-n}] \Rightarrow a_d = 0$$

$$\Rightarrow f(t) = a_{d-1} B_{-2,d-1}(t) \text{ auf } [x_{d-2}, x_{d-1}] \Rightarrow a_{d-1} = 0$$

$$\vdots$$

$$\Rightarrow a_d = a_{d-n} = \dots = a_n = 0$$

Der Raum aller Splines vom Grad  $m$  auf  $[x_0, x_n]$  hat Dimension  $d+n$ :

Es gibt  $n$  Intervalle mit je einem Polynom vom Grad  $d \Rightarrow n(d+1)$  Freiheitsgrade

Es gibt  $n-1$  Intervallgrenzen mit je  $d$  linearen Bedingungen an die Ableitungen

$$\Rightarrow \text{Dimension} = n(d+1) - (n-1)d = n+d \quad \square$$



Thm: (Splineinterpolation) Gegeben Stützstellen  $x_0, \dots, x_n$  und Stützwerte  $y_0, \dots, y_n, y_0^{(1)}, \dots, y_0^{(d-1)}$  existiert ein eindeutiger Spline von Grad  $d$  mit  $S(x_i) = y_i, i=0, \dots, n, S^{(j)}(x_0) = y_0^{(j)}, j=1, \dots, d-1$ .

Bew: Per definitionem ist  $p_i := S|_{[x_{i-1}, x_i]} \in \mathcal{P}_d$ . Wir zeigen per Induktion nach  $i$ , dass  $p_i$  existiert und eindeutig ist.

Induktionsanfang:  $p_1$  erfüllt  $p_1(x_0) = y_0, p_1(x_1) = y_1, p_1^{(j)}(x_0) = y_0^{(j)}, j=1, \dots, d-1$   
 $\Rightarrow$  es existiert eine eindeutige Lösung dieser Hermite-Interpolation

Induktionsschritt:  $p_{i+1}$  erfüllt  $p_{i+1}(x_i) = y_i, p_{i+1}(x_{i+1}) = y_{i+1}, p_{i+1}^{(j)}(x_i) = p_i^{(j)}(x_i), j=1, \dots, d-1$   
 $\Rightarrow$  es existiert eine eindeutige Lösung dieser Hermite-Interpolation  $\square$

Ähnlich kann man auch Ableitungen an beiden Enden oder periodische Randbedingungen vorgeben. Der Spline  $S(t) = \sum_{i=1}^{d+n} a_i B_{i-d-1,i}(t)$  kann gefunden werden durch Lösen der  $d+n$  linearen Gleichungen  $S(x_i) = y_i, S^{(j)}(x_0) = y_0^{(j)}$  nach den  $a_1, \dots, a_{d+n}$ :  $V \begin{pmatrix} a_1 \\ \vdots \\ a_{d+n} \end{pmatrix} = \begin{pmatrix} y_0 \\ y_1 \\ \vdots \\ y_n \\ y_0^{(1)} \\ \vdots \\ y_0^{(d)} \end{pmatrix}$   
 Merkmal: - Minimalkrümmungseigenschaft  
 - Bézierdarstellung

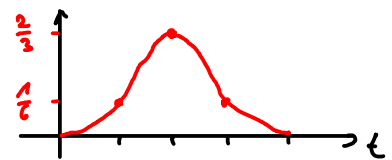
Bem: Die Nutzung der B-Splines als Basis hat Vorteile:

- Lokalität: Die Änderung eines Koeffizienten  $a_i$  in  $\sum_{i=1}^{d+n} a_i B_{i-d-1,i}(t)$  hat nur Auswirkungen für  $t \in [x_{i-d-1}, x_i]$ .
- Dünnbesetztheit: Die Systemmatrix  $V$  hat in jeder Zeile nur  $d$  Einträge.

Bsp: Für  $x_k = k$  ist der kubische B-Spline

$$B_{0,4}(t) = 4 \left[ \underbrace{\omega_0}_{\frac{1}{24}} (t)_+^3 + \underbrace{\omega_1}_{-\frac{1}{6}} (1-t)_+^3 + \underbrace{\omega_2}_{\frac{1}{4}} (2-t)_+^3 + \underbrace{\omega_3}_{-\frac{1}{6}} (3-t)_+^3 + \underbrace{\omega_4}_{\frac{1}{24}} (4-t)_+^3 \right]$$

$$= \begin{cases} t^3/6 & t \in [0,1] \\ -t^3/2 + 2t^2 - 2t + 2/3 & t \in [1,2] \\ t^3/2 - 4t^2 + 10t - 22/3 & t \in [2,3] \\ (4-t)^3/6 & t \in [3,4] \\ 0 & \text{sonst} \end{cases}$$



$$B_{i,i+4}(t) = B_{0,4}(t-i)$$

- Interpoliere mit einem kubischen Spline  $S$  die Stützstellen  $(0,1,2,3)$  mit  $y$ -werten  $(0,1,1,0)$  und Ableitungen  $S'(0) = 0, S'(3) = 0$

$$\begin{pmatrix} S'(0) \\ S(0) \\ S(1) \\ S(2) \\ S(3) \\ S'(3) \end{pmatrix} = \begin{bmatrix} B_{-3,1}'(0) & B_{-2,2}'(0) & \dots & B_{2,6}'(0) \\ B_{-3,1}(0) & B_{-2,2}(0) & \dots & B_{2,6}(0) \\ \vdots & \vdots & \ddots & \vdots \\ B_{-3,1}'(3) & B_{-2,2}'(3) & \dots & B_{2,6}'(3) \end{bmatrix} \begin{pmatrix} a_1 \\ \vdots \\ a_6 \end{pmatrix} = \frac{1}{6} \begin{bmatrix} -3 & 0 & 3 \\ 1 & 4 & 1 \\ & 1 & 4 & 1 \\ & & 1 & 4 & 1 \\ & & & 1 & 4 & 1 \\ -3 & 0 & 3 \end{bmatrix} \begin{pmatrix} a_1 \\ \vdots \\ a_6 \end{pmatrix} = \begin{pmatrix} 0 \\ 0 \\ 1 \\ 1 \\ 0 \\ 0 \end{pmatrix} \Rightarrow \begin{pmatrix} a_1 \\ \vdots \\ a_6 \end{pmatrix} = \frac{2}{3} \begin{pmatrix} 2 \\ -1 \\ 2 \\ 2 \\ -1 \\ 2 \end{pmatrix}$$

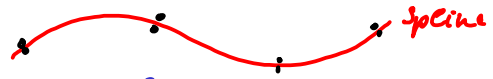
```

% abgeschnittene Potenz
p = @(t,n) max(0,t).^n;
% kubischer B-spline
B = @(t) p(-t,3)/6-2/3*p(1-t,3)+p(2-t,3)-2/3*p(3-t,3)+p(4-t,3)/6;

t = linspace(-3,6,100);
for j = -3:2
    plot(t,B(t-j),'Linewidth',3); hold on;
end;
plot(t,4/3*B(t+3)-2/3*B(t+2)+4/3*B(t+1)+4/3*B(t)-2/3*B(t-1)+4/3*B(t-2),...
    'r','Linewidth',3);

```

Der Name Spline stammt aus dem Bootbau: Um gekrümmte Linien zu zeichnen, werden dünne Holzplatten (Splines) an bestimmten Punkten eingespannt  $\Rightarrow$  durch Minimieren der elastischen Biegeenergie ergibt sich eine glatte Kurve.



Dieses Verhalten wird von kubischen Splines imitiert. Für  $f \in C^2([a,b])$  ist der Krümmungsradius in  $x$  gegeben durch

$$\rho(x) = \frac{[1 + (f'(x))^2]^{3/2}}{|f''(x)|}$$

Ist  $f'(x)$  klein, kann die Krümmung in  $x$  durch  $\kappa(x) = \frac{1}{\rho(x)} \approx |f''(x)|$  angenähert werden.

Die Biegeenergie einer dünnen Latte ist  $\int_a^b \kappa(x)^2 dx \approx \int_a^b |f''(x)|^2 dx =: J_{a,b}[f]$

Thm: (Minimalkrümmungseigenschaft) Sei  $S$  der kubische Interpolationsspline mit  $S(x_i) = y_i, i = 0, \dots, n$ ,

$S'(x_0) = m_0, S'(x_n) = m_n$ .  $S$  minimiert die Biegeenergie  $J_{x_0, x_n}$  unter allen Interpolationskurven.

Bew: Sei  $f$  eine andere Interpolation. Wegen  $f = S + [f - S]$  gilt

$$J_{x_0, x_n}[f] = \int_{x_0}^{x_n} S''(x)^2 dx + 2 \int_{x_0}^{x_n} S''(x) (f''(x) - S''(x)) dx + \int_{x_0}^{x_n} (f''(x) - S''(x))^2 dx$$

$$\begin{aligned}
 A &= \sum_{i=1}^n \int_{x_{i-1}}^{x_i} S''(x) (f''(x) - S''(x)) dx = \sum_{i=1}^n \underbrace{[S''(x) (f''(x) - S''(x))]_{x_{i-1}}^{x_i}}_{=: A} - \int_{x_{i-1}}^{x_i} S'''(x) (f'(x) - S'(x)) dx \\
 &= -S''(x_0) [f'(x_0) - S'(x_0)] + S''(x_n) [f'(x_n) - S'(x_n)] - \sum_{i=1}^n S'''(\frac{x_i + x_{i-1}}{2}) \int_{x_{i-1}}^{x_i} (f'(x) - S'(x)) dx \\
 &= -\sum_{i=1}^n S'''(\frac{x_i + x_{i-1}}{2}) [f(x) - S(x)]_{x_{i-1}}^{x_i} = 0
 \end{aligned}$$

$$\Rightarrow J_{x_0, x_n}[f] = \int_{x_0}^{x_n} S''(x)^2 dx + \int_{x_0}^{x_n} (f''(x) - S''(x))^2 dx \geq J_{x_0, x_n}[S] \quad \square$$

Ein weiterer Vorteil von Spline-Interpolation: Das Runge-Phänomen bleibt aus! Der Einfachheit halber betrachten wir hier nur äquidistante Stützstellen und lineare Splines:

Thm: (Konvergenz) Sei  $f \in C([a,b])$  und  $S_n$  der lineare Interpolationsspline durch  $(x_i, f(x_i)), i = 0, \dots, n, x_i = a + \frac{b-a}{n}i$ .  $S_n$  konvergiert gleichmäßig gegen  $f$  für  $n \rightarrow \infty$ .

Bew: Hausaufgabe

# Bézier - Darstellung von Polynomen & Splines: Graphikmethoden

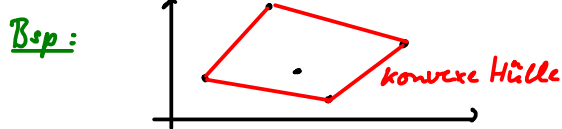
heute: **Béziersplines**

Splines werden zum Zeichnen und für CAD benutzt (z.B. Kurven in Microsoft Office oder OpenOffice sind kubische Splines; auch Schriftarten werden mit Splines definiert). Dabei wird typischerweise die Bézier - Darstellung genutzt, da sie für praktische Anwendungen viele schöne Eigenschaften hat.

Def: (Konvexität)  $U \subset \mathbb{R}^n$  heißt konvex, wenn für alle  $x, y \in U$  gilt  $(1-t)x + ty \in U \quad \forall t \in [0, 1]$ .

Die konvexe Hülle von  $x_0, \dots, x_m \in \mathbb{R}^n$  ist  $\text{conv}\{x_0, \dots, x_m\} = \{x \in \mathbb{R}^n \mid x = \sum_{i=0}^m \lambda_i x_i, 0 \leq \lambda_i \leq 1, \sum_{i=0}^m \lambda_i = 1\}$

Thm: (Konvexe Hülle)  $\text{conv}\{x_0, \dots, x_m\}$  ist die kleinste konvexe Menge, die  $x_0, \dots, x_m$  enthält.



Thm: (Bézier-Kurve) (1)  $t = \sum_{i=0}^n \frac{i}{n} b_{i,n}(t)$

(2) Für  $t \in [0, 1]$  liegt der Graph eines Polynoms  $p(t) = \sum_{i=0}^n \beta_i b_{i,n}(t)$  in Bézierdarstellung in der konvexen Hülle der Bézier-Punkte  $\begin{pmatrix} 0/n \\ \beta_0 \end{pmatrix}, \dots, \begin{pmatrix} n/n \\ \beta_n \end{pmatrix}$

Bew: (1) Es ist  $\frac{i}{n} \binom{n}{i} = \frac{i}{n} \frac{n!}{i!(n-i)!} = \frac{(n-1)!}{(i-1)!(n-i)!} = \binom{n-1}{i-1}$

$$\Rightarrow \sum_{i=0}^n \frac{i}{n} b_{i,n}(t) = \sum_{i=1}^n \frac{i}{n} \binom{n}{i} t^i (1-t)^{n-i} = t \sum_{i=1}^n \binom{n-1}{i-1} t^{i-1} (1-t)^{n-1-(i-1)} = t \sum_{i=0}^{n-1} \binom{n-1}{i} t^i (1-t)^{n-1-i} = t (t + (1-t))^{n-1} = t$$

(2)  $\begin{pmatrix} t \\ p(t) \end{pmatrix} = \sum_{i=0}^n b_{i,n}(t) \begin{pmatrix} i/n \\ \beta_i \end{pmatrix}$  mit  $\sum_{i=0}^n b_{i,n}(t) = 1$  und  $b_{i,n}(t) \in [0, 1] \quad \forall i$  □

Die Bézierpunkte geben somit den Kurvenverlauf bereits grob vor, was gut für interaktive graphische Anwendungen ist. Um mehrere Bézier-Kurven zu einem Spline zu verbinden, müssen an den Schnittstellen die Ableitungen übereinstimmen.

Thm: (Ableitungsformel) Für  $p(t) = \sum_{i=0}^n \beta_i b_{i,n}(t)$  gilt  $p^{(k)}(t) = n(n-1)\dots(n-k+1) \sum_{i=0}^{n-k} \Delta^k \beta_i b_{i,n-k}(t)$

mit  $\Delta^k \beta_i = \Delta^{k-1} \beta_{i+1} - \Delta^{k-1} \beta_i$ ,  $\Delta^0 \beta_i = \beta_i$ .

Insbesondere ist  $p^{(k)}(0) = \frac{n!}{(n-k)!} \Delta^k \beta_0$ ,  $p^{(k)}(1) = \frac{n!}{(n-k)!} \Delta^k \beta_{n-k}$ .

Bem: Die rekursiv definierten Differenzen können wieder mit einem Dreiecksschema berechnet werden:

$$\begin{array}{ccccccc} \beta_0 & & & & & & \\ \beta_1 & \Delta \beta_0 & & & & & \\ \beta_2 & \Delta \beta_1 & \Delta^2 \beta_0 & & & & \\ \vdots & \vdots & \vdots & \ddots & & & \\ \beta_n & \Delta \beta_{n-1} & \Delta^2 \beta_{n-2} & & & & \Delta^n \beta_0 \end{array}$$

Bew: Dies folgt mit vollständiger Induktion aus

$$\left[ \sum_{i=0}^m \alpha_i b_{i,m}(t) \right]' = m \sum_{i=0}^{m-1} \alpha_i (b_{i+1,m}(t) - b_{i,m-1}(t)) = m \sum_{i=0}^{m-1} (\alpha_{i+1} - \alpha_i) b_{i,m-1}(t) = m \sum_{i=0}^{m-1} \Delta \alpha_i b_{i,m-1}(t) \quad \square$$

kleben wir zwei Polynome  $p(t) = \sum_{i=0}^n \beta_i b_{i,n}(t)$  und  $q(t) = \sum_{i=0}^m \alpha_i b_{i,m}(t)$  zusammen zum Stückweiser

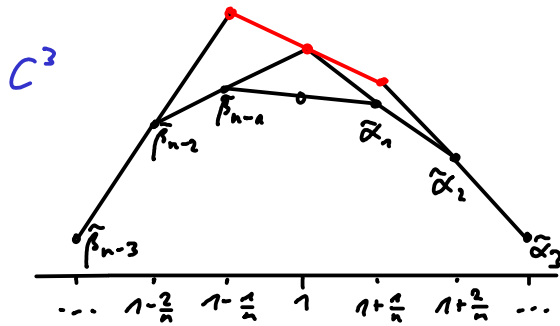
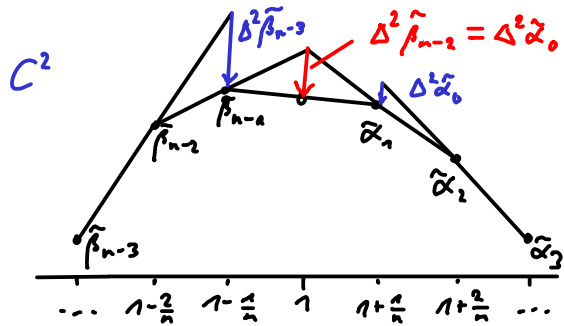
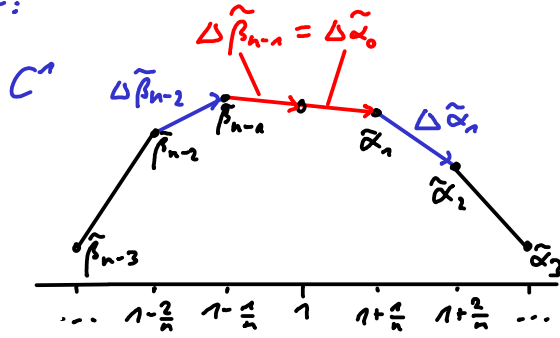
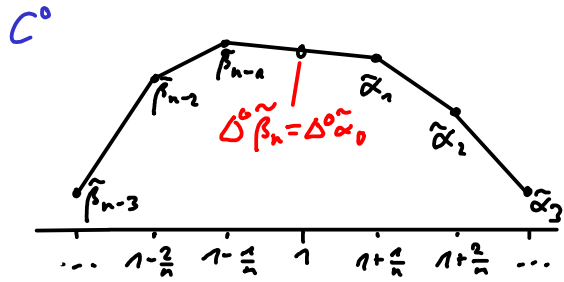
Polynom  $S(t) = \begin{cases} p(t), & t < 1 \\ q(t-1), & t \geq 1 \end{cases}$ , so ist  $S$   $k$ mal differenzierbar, wenn

$$\Delta^i \beta_{n-i} = \Delta^i \alpha_0 \quad \text{für } i = 0, \dots, k. \text{ Gilt dies für } k = n-1, \text{ ist } S \text{ ein Spline.}$$

Für eine graphische Interpretation führe man  $\gamma_i = \frac{i}{n}$ ,  $\tilde{\gamma}_i = 1 + \frac{i}{n}$  ein. Wegen  $\Delta^i \beta_{n-i} = \Delta^i \tilde{\gamma}_0$   $\forall i$  ist  $k$ -malige Differenzierbarkeit äquivalent zu

$$\Delta^i \tilde{\beta}_{n-i} = \Delta^i \tilde{\alpha}_0 \quad \text{für } i = 0, \dots, k \quad \text{mit } \tilde{\beta}_i = \begin{pmatrix} \beta_i \\ \gamma_i \end{pmatrix}, \quad \tilde{\alpha}_i = \begin{pmatrix} \alpha_i \\ \tilde{\gamma}_i \end{pmatrix}.$$

Graphische Interpretation der Differenzierbarkeit:



Entsprechend höherer Differenzierbarkeit erhält man, wenn sich das Gebick weiter fortsetzen lässt.

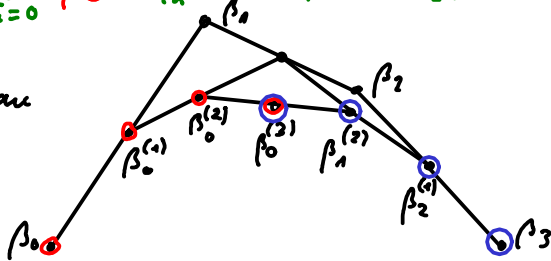
Bem: Hieraus kann man folgern, dass ein Bézier-Polynom  $p(t) = \sum_{i=0}^n \beta_i b_{in}(t)$  im Intervall  $[0, \frac{1}{2}]$  und  $[\frac{1}{2}, 1]$

in Bézier-Form geschrieben werden kann als

$$p(t) = \sum_{i=0}^n \beta_0^{(i)} b_{in}(2t), \quad t \in [0, \frac{1}{2}]$$

$$p(t) = \sum_{i=0}^n \beta_i^{(n-i)} b_{in}(2t-1), \quad t \in [\frac{1}{2}, 1]$$

de Casteljau



Durch erneutes Anwenden von de Casteljau links und rechts bekommt man noch feinere Punkte, die schließlich gegen den Graphen von  $p(t)$  konvergieren. Solche Verfeinerungsalgorithmen nennt man Subdivision Schemes.

Bem: Raumkurven  $t \mapsto \vec{p}(t) \in \mathbb{R}^d$  für  $d=2$  oder  $d=3$  erzeugt man typischerweise, indem man für jede Raumkoordinate einen Spline wählt.

Spline-Flächen erhält man durch Tensorierung, d.h. für Stützstellen  $x_{ij} = (i, j) \in \mathbb{Z}^2$  wählt man die bivariaten Funktionen  $B_{ij}(s, t) = B_i(s) B_j(t)$ , wobei die  $B_i$  eine Basis der  $1D$ -Splines bilden, und stellt Flächen dar als Linearkombinationen  $\sum \alpha_{ij} B_{ij}(s, t)$ .

# Numerische Integration/Differentiation

heute: · Newton-Cotes Quadratur  
· Gauß-Quadratur

Wie kann man näherungsweise das Volumen von Körpern oder die Geschwindigkeit von Objekten anhand weniger Messwerte bestimmen? Allgemeiner, wie kann man Integral & Ableitung einer Funktion anhand weniger Funktionswerte annähern? Dies bildet u. a. die Grundlage der numerischen Lösung von Differentialgleichungen.

## Quadratur (= Integralapproximation) mittels Polynominterpolation

Def: (Quadratur) Sei  $f: [a, b] \rightarrow \mathbb{R}$ ,  $a \leq x_0 < \dots < x_n \leq b$  Stützstellen. Eine Approximation

$$I_n(f) = \sum_{i=0}^n a_i f(x_i)$$

an  $I(f) = \int_a^b f(x) dx$  heißt Quadraturformel mit Gewichten  $a_0, \dots, a_n$ .  $|I_n(f) - I(f)|$

heißt Quadraturfehler.  $I_n$  heißt exakt von Ordnung/Grad  $m$ , falls  $I_n(p) = I(p) \forall p \in P_m$ .

Quadraturformeln erhält man z. B. mittels Polynominterpolation:

Def: (Newton-Cotes-Formel) Sei  $p_n^f(x) = \sum_{i=0}^n f(x_i) l_i(x)$  das Interpolationspolynom zu  $f$  in Lagrange-Darstellung.  $I_n(f) := \int_a^b p_n^f(x) dx = \sum_{i=0}^n a_i f(x_i)$  mit  $a_i = \int_a^b l_i(x) dx$  heißt Newton-Cotes-Formel. Ist  $x_0 = a, x_n = b$  heißt sie geschlossen, im Fall  $x_0 > a, x_n < b$  offen.

Bem: · Typischerweise verwendet man in der Newton-Cotes-Formel äquidistante Stützstellen.

· Offene Formeln eignen sich, wenn  $f$  einen Pol in  $a$  oder  $b$  hat.

· Die Newton-Cotes-Formel ist mindestens exakt vom Grad  $n$ , da  $f \in P_n \Rightarrow p_n^f = f$ .

Bem: Wegen  $\int_a^b f(x) dx = \frac{b-a}{2} \int_{-1}^1 f(T(x)) dx$  mit  $T(x) = a + (b-a) \frac{x+1}{2}$  reicht es/ist es üblich, die Stützstellen und Gewichte einer Quadraturformel nur für  $[-1, 1]$  anzugeben.

Bsp: Sei  $[a, b] = [-1, 1]$ .

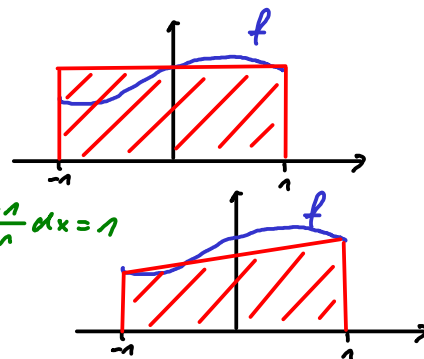
·  $x_0 = 0, a_0 = \int_{-1}^1 l_0(x) dx = \int_{-1}^1 1 dx = 2$

$\Rightarrow I_0(f) = 2f(0)$  heißt Mittelpunktregel/Rechteckregel

·  $x_0 = -1, x_1 = 1, a_0 = \int_{-1}^1 l_0(x) dx = \int_{-1}^1 \frac{x-1}{-1-1} dx = 1, a_1 = \int_{-1}^1 \frac{x+1}{1+1} dx = 1$

$\Rightarrow I_1(f) = f(-1) + f(1)$  heißt Trapezregel

·  $-1 = x_0 < \dots < x_n = 1$  gleichverteilt:



$n$	$(a_0 \dots a_n)$	Name	Exaktheitsgrad	$I_n(\cos \frac{\pi}{2} x)$
1	(1 1)	Trapezregel	1	0
2	(1 4 1)/3	Simpson-/Keplersche Fassregel	3	4/3
3	(1 3 3 1)/4	Newtonsche $\frac{3}{8}$ -Regel/Pulcherrima	3	1,2790...
5	(19 75 50 50 75 19)/144	Milne-Regel	5	1,2727... $\approx \frac{6}{n} = 1,2732...$

für großes  $n$  können Gewichte negativ werden!

Offenbar kann der Exaktheitsgrad von  $I_n$  auch größer als  $n$  sein - was weiß man darüber?

Thm: Sei  $I_n$  eine Quadraturformel zu Stützstellen  $x_0, \dots, x_n$  mit Exaktheitsgrad  $m$ .

(1) Ist  $m \geq n$ , so ist  $I_n$  die Newton-Cotes-Formel. (2)  $m \leq 2n+1$ .

Bew: (1) Das Lagrange-Polynom  $l_i$  hat Grad  $n$ , also  $\int_a^b l_i dx = I_n(l_i) = \sum_{j=0}^n a_j l_i(x_j) = a_i$ .

(2) Das quadrierte Knotenpolynom  $(\omega_{n+1}(x))^2 = \prod_{i=0}^n (x-x_i)^2$  hat Grad  $2n+2$  und erfüllt  $I(\omega_{n+1}^2) - I_n(\omega_{n+1}^2) = \int_a^b \omega_{n+1}(x)^2 dx - \sum_{i=0}^n a_i \omega_{n+1}(x_i)^2 = \int_a^b \omega_{n+1}(x)^2 dx > 0$ .  $\square$

Können wir eine Newton-Cotes-Formel  $I_n$  (also insbesondere Stützstellen) von Exaktheitsgrad  $2n+1$  finden?

Sei  $p \in P_{2n+1}$  und  $\omega_{n+1}(x) = \prod_{i=0}^n (x-x_i)$  das Knotenpolynom. Mittels Euklidischer Division gilt

$$p = q_n \omega_{n+1} + r_n \quad \text{mit } q_n, r_n \in P_n.$$

Schreiben wir  $R_n(f) = I_n(f) - \int(f)$  für den Quadraturfehler, so erhalten wir

$$R_n(p) = R_n(q_n \omega_{n+1}) + R_n(r_n) = R_n(q_n \omega_{n+1}) = \sum_{i=0}^n a_i q_n(x_i) \omega_{n+1}(x_i) - \int_a^b q_n \omega_{n+1} dx = - \int_a^b q_n \omega_{n+1} dx$$

Thm: ( $L^2$ -Skalarprodukt) Die Abbildung  $p, q \mapsto \langle p, q \rangle = \int_a^b p(x) q(x) dx$  definiert ein Skalarprodukt auf dem Vektorraum  $C^0([a, b])$  der stetigen Funktionen auf  $[a, b]$ .

Wenn das Knotenpolynom  $\omega_{n+1}$  orthogonal zu allen  $q_n \in P_n$  bzgl. des obigen Skalarprodukts ist, ist  $R_n(p) = 0 \quad \forall p \in P_{2n+1}$  und somit  $I_n$  exakt von Ordnung  $2n+1$ . Ein solches Polynom

$\omega_{n+1}$  erhält man durch Gram-Schmidt-Orthogonalisierung der  $m_i(x) = x^i, i=0, 1, 2, \dots$ , d.h. wir setzen  $\tilde{\omega}_i = m_i - \sum_{j=0}^{i-1} \langle m_i, \tilde{\omega}_j \rangle \tilde{\omega}_j, \quad \omega_i = \frac{\tilde{\omega}_i}{\langle \tilde{\omega}_i, \tilde{\omega}_i \rangle}$ .

Thm: Sei  $[a, b] = [-1, 1]$ . Das Gram-Schmidt-Verfahren auf  $m_0, m_1, m_2, \dots$  liefert

(1) für  $\langle \cdot, \cdot \rangle$  die Legendre-Polynome  $\omega_i(x) = \frac{i!}{(2i)!} \frac{d^i}{dx^i} [(x^2-1)^i]$ ,

(2) für  $\langle p, q \rangle_T := \int_{-1}^1 \frac{p(x)q(x)}{\sqrt{1-x^2}} dx$  die Chebyshev-Polynome  $\omega_i(x) = T_i(x)$ .

Bew: Offensichtlich ist in beiden Fällen  $\omega_i \in \text{span}(m_0, \dots, m_i) = P_i$ , somit ist nur noch zu

zeigen, dass  $\langle \omega_i, p \rangle = 0$  bzw.  $\langle \omega_i, p \rangle_T = 0 \quad \forall p \in P_{i-1}$ .

(1) Sei  $\Omega_i^0 = \omega_i, \quad \Omega_i^j(x) = \int_{-1}^x \Omega_i^{j-1}(t) dt = \frac{i!}{(2i)!} \frac{d^{i-j}}{dx^{i-j}} [(x^2-1)^i]$  für  $j=1, \dots, i$

dann hat  $\Omega_i^j$  in  $1$  und  $-1$  eine  $j$ -fache Nullstelle.

$$\begin{aligned} \langle \omega_i, p \rangle &= \int_{-1}^1 \omega_i(x) p(x) dx = \left[ \Omega_i^1(x) p(x) \right]_{-1}^1 - \int_{-1}^1 \Omega_i^1(x) p'(x) dx = - \int_{-1}^1 \Omega_i^1(x) p^{(1)}(x) dx \\ &= \dots = (-1)^i \int_{-1}^1 \Omega_i^i(x) p^{(i)}(x) dx = 0 \end{aligned}$$

(2) war bereits Hausaufgabe

$\square$

Wenn wir also Stützstellen  $x_0, \dots, x_n$  wählen, sodass das Knotenpolynom  $w_{n+1}$  gleich dem  $(n+1)$ -ten Legendre-Polynom ist, dann erhalten wir die gesuchte Quadraturformel mit Exaktheitsgrad  $2n+1$ . Allerdings ist das Legendre-Polynom nur ein zulässiges Knotenpolynom, wenn es  $n+1$  paarweise verschiedene Nullstellen  $x_0, \dots, x_n$  hat. Dies ist der Fall:

Thm: (Nullstellen orthogonaler Polynome) Sei  $\omega: (-1, 1) \rightarrow (0, \infty)$  ein Gewicht und  $\langle p, q \rangle_\omega = \int_{-1}^1 \omega(x) p(x) q(x) dx$  ein Skalarprodukt. Sei  $\omega_i \in \mathcal{P}_i$  mit  $\langle \omega_i, p \rangle_\omega = 0 \forall p \in \mathcal{P}_{i-1}$ , dann hat  $\omega_i$  genau  $i$  verschiedene Nullstellen in  $(-1, 1)$ .

Bew: Angenommen,  $\omega_i$  habe weniger Nullstellen, d.h. insbesondere ändert es sein Vorzeichen nur an  $m < i$  Stellen  $x_0, \dots, x_{m-1}$ . Dann ist  $q(x) = \prod_{j=0}^{m-1} (x - x_j) \in \mathcal{P}_m$ , und  $q\omega_i$  hat konstantes Vorzeichen.  $\Rightarrow \langle q, \omega_i \rangle_\omega = \int_{-1}^1 \omega q \omega_i dx > 0$  außer für  $\omega_i = 0 \Rightarrow$  Widerspruch  $\square$

Def: (Gauß-Quadratur) Die Quadraturformel von Exaktheitsgrad  $2n+1$ , deren Stützstellen die Nullstellen des  $(n+1)$ -ten Legendre-Polynoms sind, heißt Gauß-Quadratur.

Bem: Analog kann man Gauß-Quadraturformeln für gewichtete Integrale  $I_\omega(f) = \int_a^b \omega(x) f(x) dx$  finden (Hausaufgabe).

Die Gauß-Quadratur hat außerdem positive Gewichte, was wichtig für numerische Stabilität ist.

Thm: (Gauß-Gewichte) Die Gewichte  $a_j$  der Gauß-Quadratur auf  $[-1, 1]$  erfüllen

$$a_j = \int_{-1}^1 (l_j(x))^2 dx > 0 \quad \text{für das Lagrangepolynom } l_j(x) = \prod_{i=0, i \neq j}^n \frac{x - x_i}{x_i - x_j}.$$

Bew:  $l_j^2 \in \mathcal{P}_{2n}$ , daher ist die Gauß-Quadratur exakt mit

$$\int_{-1}^1 (l_j(x))^2 dx = \sum_{i=0}^n a_i l_j(x_i)^2 = a_j. \quad \square$$

Bsp: Gauß-Quadratur-Formeln:

$n$	$(x_0, \dots, x_n)$
0	0
1	$-\sqrt{3}/3 \quad \sqrt{3}/3$
2	$-\sqrt{3/5} \quad 0 \quad \sqrt{3/5}$

Schließlich möchten wir wissen, wie groß der Quadraturfehler ist.

Thm: (Quadraturfehler) Die Newton-Cotes-Formel mit Stützstellen  $x_0, \dots, x_n \in [a, b]$  erfüllt mit  $\|g\|_\infty := \sup_{x \in [a, b]} |g(x)|$

$$\begin{aligned} |I_n(f) - I(f)| &\leq \int_a^b f[x_0, \dots, x_n, x] \omega_{n+1}(x) dx \leq \|f[x_0, \dots, x_n, \cdot]\|_\infty \int_a^b |\omega_{n+1}(x)| dx \\ &\leq \frac{\|f^{(n+1)}\|_\infty}{(n+1)!} \int_a^b |\omega_{n+1}(x)| dx \quad \text{falls } f \in C^{n+1}([a, b]). \end{aligned}$$

Bew: Folgt aus  $I_n(f) - I(f) = \int_a^b p_n^f - f dx$  für das Interpolationspolynom  $p_n^f$  und der Darstellung des Interpolationsfehlers.  $\square$

Für Formeln mit Exaktheitsgrad  $\geq n$  erwartet man noch kleinere Fehler - um dies zu sehen, reicht obige Darstellung nicht. Stattdessen benötigen wir eine explizitere Fehlerdarstellung (wie oben als ein Integral), aus der wir  $f$  mit dem erweiterten Mittelwertsatz herausziehen können. Wir gehen das Verfahren für Gauß-Quadratur durch. Es ist ähnlich zu der Peano-Darstellung dividierter Differenzen.

Def: (Monospline) Seien  $a_0, \dots, a_n$  die Gewichte zu Stützstellen  $x_0, \dots, x_n \in [a, b]$  einer Quadratur mit Exaktheitsgrad  $\geq k$ . Der  $k$ -te Monospline ist  $M_{k,n}(t) = (b-t)_+^{k+1} - (a-t)_+^{k+1} - (k+1) \sum_{i=0}^n a_i (x_i - t)_+^k$ .

Thm: (1)  $M_{k,n} = 0$  auf  $\mathbb{R} \setminus [a, b]$

(2) Ist  $x_0 = a$ , so hat  $M_{k,n}$  in  $a$  eine  $k$ -fache Nullstelle, ist  $x_0 > a$ , eine  $(k+1)$ -fache Nullstelle

(3) Analoges gilt für  $b$ .

Bew: Hausaufgabe □

Thm: (Peano-Darstellung des Quadraturfehlers) Sei  $I_n$  eine Quadraturformel mit Stützstellen  $x_0, \dots, x_n \in [a, b]$  und Exaktheitsgrad  $\geq k$ , so ist der Quadraturfehler für  $f \in C^{k+1}([a, b])$  gegeben durch

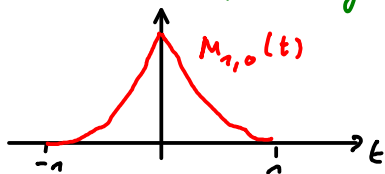
$$I_n(f) - I(f) = - \int_a^b f^{(k+1)}(t) \frac{M_{k,n}(t)}{(k+1)!} dt.$$

Bew: Partielle Integration liefert für  $x \in [a, b]$

$$\int_a^b f^{(k+1)}(t) (x-t)_+^m dt = \left[ f^{(k)}(t) (x-t)_+^m \right]_a^x + m \int_a^x f^{(k)}(t) (x-t)_+^{m-1} dt = f^{(k)}(a) (a-x) + m \int_a^b f^{(k)}(t) (x-t)_+^{m-1} dt,$$

$$\begin{aligned} \text{Somit } \int_a^b f^{(k+1)}(t) \frac{M_{k,n}(t)}{(k+1)!} dt &= -f^{(k)}(a) \frac{M_{k,n}^a(a)}{(k+1)!} + \int_a^b f^{(k)}(t) \frac{M_{k,n}(t)}{k!} dt \\ &= \int_a^b f^{(k)}(t) \frac{M_{k,n}(t)}{k!} dt = \dots = \int_a^b f'(t) \frac{M_{0,n}(t)}{1!} dt \\ &= \int_a^b f'(t) (b-t) - \sum_{i=0}^n a_i f'(t) (x_i - t)_+^0 dt \\ &= \left[ f(t) (b-t) \right]_a^b + \int_a^b f(t) dt - \sum_{i=0}^n a_i (f(x_i) - f(a)) \\ &= f(a) \left[ a-b + \sum_{i=0}^n a_i \right] + I(f) - I_n(f) \\ &= I_n(1) - I(1) = 0 \end{aligned}$$

Bsp: Für die Mittelpunkregel auf  $[-1, 1]$  ist  $n=0$ ,  $k=1$ ,  $M_{k,n}(t) = (1-t)_+^2 + (-1-t)_+^2 - 2 \cdot 2 \cdot (0-t)_+^1$



$\Rightarrow$  Ist  $f \in C^2([-1, 1])$ , gilt für ein  $\xi \in [-1, 1]$ :

$$I(f) - I_0(f) = \int_{-1}^1 f''(t) \frac{M_{1,0}(t)}{2} dt = \frac{f''(\xi)}{2} \int_{-1}^1 M_{1,0}(t) dt = \frac{f''(\xi)}{3}$$

• Für die Trapezregel auf  $[-1, 1]$  ist  $k=n=1$ ,  $M_{k,n}(t) = (1-t)_+^1 + (-1-t)_+^1 - 2 \left[ (-1-t)_+^0 + (1-t)_+^0 \right] = \min(0, t^2 - 1)$

$$\Rightarrow \text{für } f \in C^2([-1, 1]) \text{ gilt } I(f) - I_1(f) = \int_{-1}^1 f''(t) \frac{t^2 - 1}{2} dt$$

• Man kann zeigen, dass  $M_{2n+1,n} \geq 0$  und  $\int_{-1}^1 M_{2n+1,n}(t) dt = \frac{2^{2m+3}}{2m+3} \frac{[(m+1)!]^4}{[(2m+2)!]^2}$

$$\Rightarrow I(f) - I_n(f) = \int_{-1}^1 f^{(2n+2)}(t) \frac{M_{2n+1,n}(t)}{(2n+2)!} dt = \frac{2^{2m+3}}{2m+3} \frac{[(m+1)!]^4}{[(2m+2)!]^3} f^{(2n+2)}(\xi) \text{ für ein } \xi \in [-1, 1].$$



## Summierte Quadraturregeln

Wie schon bei der Interpolation ist es oft genauer (z.B. wenn die zu integrierende Funktion nicht oft differenzierbar ist oder die Ableitungen stark anwachsen, sodass Runge's Phänomen auftritt), statt Polynomen stückweise Polynome für die Quadratur zu nutzen. Hierzu teilt man  $[a, b]$  in  $N$  kleine Teilintervalle auf und approximiert auf jedem das Integral mit Quadratur.

Sei z.B.  $I_n(f) = \sum_{i=0}^n a_i f(x_i)$  eine Quadraturformel auf  $[-1, 1]$ , dann ist

$I_n^{cd}(f) = \frac{d-c}{2} \sum_{i=0}^n a_i f(c + \frac{x_i+a}{2}(d-c))$  eine Quadratur auf  $[c, d]$ . Setzen wir nun

$$z_i = a + hi \quad \text{für } h = \frac{b-a}{N}, i = 0, \dots, N, \quad x_i^j = z_i + \frac{h}{2}(x_i+1), j = 0, \dots, n,$$

so ist  $I(f) = \int_a^b f(x) dx \approx \frac{h}{2} \sum_{i=0}^{N-1} \sum_{j=0}^n a_j f(x_i^j) =: I_n^N(f)$ .

Bsp: Für die Trapezregel ist  $x_i^0 = z_i = a + hi$ ,  $x_i^1 = z_{i+1} = a + h(i+1)$ ,  $a_0 = a_n = 1$

$$\Rightarrow I_1^N(f) = \frac{h}{2} [f(x_0^0) + f(x_0^1) + f(x_1^0) + f(x_1^1) + \dots + f(x_{N-1}^0) + f(x_{N-1}^1)] = \frac{(b-a)}{N} \left[ \frac{f(a)+f(b)}{2} + \sum_{i=1}^{N-1} f(z_i) \right]$$

Thm: (Fehler summierte Formeln) Sei  $I_n$  eine Quadraturformel auf  $[-1, 1]$  mit Exaktheitsgrad  $k$ ,

$f \in C^{k+1}([a, b])$ . Für den Fehler der summierten Quadraturformel  $I_n^N$  gilt

$$|I_n^N(f) - I(f)| \leq \max_{x \in [a, b]} |f^{(k+1)}(x)| \frac{(h/2)^{k+1}}{2^{(k+1)}!} \int_{-1}^1 |M_{k,n}(t)| dt$$

für  $h = \frac{b-a}{N}$  und  $M_{k,n}$  den Monospline zu  $I_n$ .

Bew: Sei  $I_n(f) = \sum_{i=0}^n a_i f(x_i)$  und sei  $z_i = a + hi$  und  $M_{k,n}^i$  der Monospline zur Quadraturformel

auf  $[z_i, z_{i+1}]$ , also  $M_{k,n}^i = (z_{i+1}-t)_+^{k+1} - (z_i-t)_+^{k+1} - (k-1) \sum_{j=0}^n a_j \frac{h}{2} (z_i + \frac{h}{2}(x_i+1))_+^k$ . Es ist

$$|I(f) - I_n^N(f)| = \left| \sum_{i=0}^{N-1} I(f|_{[z_i, z_{i+1}]}) - I_n(f|_{[z_i, z_{i+1}]}) \right| = \left| \sum_{i=0}^{N-1} \int_{z_i}^{z_{i+1}} \frac{f^{(k+1)}(t)}{(k+1)!} M_{k,n}^i(t) dt \right|$$

$$\leq \max_{x \in [a, b]} |f^{(k+1)}(x)| \frac{1}{(k+1)!} \sum_{i=0}^{N-1} \int_{z_i}^{z_{i+1}} |M_{k,n}^i(t)| dt$$

Mit der Variablentransformation  $t = z_i + \frac{h}{2}(x+1)$  folgt  $M_{k,n}^i(t) = \left(\frac{h}{2}\right)^{k+1} M_{k,n}(x)$ , sodass

$$\sum_{i=0}^{N-1} \int_{z_i}^{z_{i+1}} |M_{k,n}^i(t)| dt = \sum_{i=0}^{N-1} \int_{-1}^1 \left(\frac{h}{2}\right)^{k+1} |M_{k,n}(x)| \frac{h}{2} dx = \left(\frac{h}{2}\right)^{k+1} \frac{1}{2} \int_{-1}^1 |M_{k,n}(x)| dx. \quad \square$$

Der Fehler ist offenbar eine Potenz von  $h$  (Bzw. hat vielleicht sogar eine höhere Taylorentwicklung in  $h$ ),

somit kann der Fehler mit Richardson-Extrapolation verkleinert werden. Dies ist die Idee in Folgendem.

Alg. (Romberg-Quadratur) Sei  $f \in C^{2m+2}([a, b])$  und  $I_n^N$  für  $N = \frac{b-a}{h}$  die summierte Trapezregel, d.h.

$$I_n^N(f) = h \left[ \frac{f(a)+f(b)}{2} + \sum_{i=1}^{N-1} f(a+ih) \right] =: g(z) \quad \text{für } z = h^2$$

Berechne  $g(z), g(\frac{z}{4}), \dots, g(\frac{z}{4^m})$  (also die Quadratur zu  $h, \frac{h}{2}, \dots, \frac{h}{2^m}$ )

und approximiere  $g(0) = I(f)$  mittels Richardson-Extrapolation  $\tilde{g}(0)$ .

Bem: Insgesamt muss  $f$  nur an  $2^m \frac{b-a}{h}$  Stellen ausgewertet werden (den Stützstellen zu  $\frac{h}{2^m}$ ), da die Stützstellen zu  $h, \frac{h}{2}, \dots, \frac{h}{2^{m-1}}$  eine Teilmenge hiervon bilden.

Thm: (Romberg-Quadratur) Für die Romberg-Quadratur gilt

$$|\tilde{g}(0) - I(f)| = O(h^{2m+2})$$

Bew: Folgt aus Fehlerabschätzung für Richardson-Extrapolation, wenn wir zeigen können, dass

$g(z)$  eine Taylorentwicklung  $g(0) + \sum_{i=1}^m a_i z^i + O(z^{m+1})$  hat, also

$$\tilde{I}_n^{\frac{b-a}{h}}(f) = I(f) + \sum_{i=1}^m a_i h^{2i} + O(h^{2m+2}) \quad \text{Dies trifft zu, da}$$

$$I(f) - \tilde{I}_n^N(f) = \sum_{i=0}^{N-1} \int_{z_i}^{z_{i+1}} f''(x) \frac{M_{2i}^i(x)}{2} dx = \sum_{i=0}^{N-1} \int_{z_i}^{z_{i+1}} f''(x) \frac{(x-z_i)(x-z_{i+1})}{2} dx$$

$$= \sum_{i=0}^{N-1} \int_{z_i}^{z_{i+1}} f''(x) \frac{(x-z_i)(x-z_{i+1}) + h^2/8}{2} dx - \frac{h^2}{12} \int_a^b f''(x) dx = \sum_{i=0}^{N-1} \int_{-h/2}^{h/2} f''(x + \frac{z_i+z_{i+1}}{2}) \frac{x^2 - h^2/12}{2} dx - \frac{h^2}{12} [f'(b) - f'(a)]$$

Sei nun  $p_2(x) = \frac{x^2 - h^2/12}{2}$ ,  $p_{2i+1}(x) = p_{2i}(x)$  mit  $\int_{-h/2}^{h/2} p_{2i+1}(x) dx = 0$ .

Offenbar ist  $p_{2i}$  gerade ( $p_{2i}(x) = p_{2i}(-x)$ ) und  $p_{2i+1}$  ungerade ( $p_{2i+1}(x) = -p_{2i+1}(-x)$ )  $\forall i$ , außerdem  $p_k(-\frac{h}{2}) - p_k(\frac{h}{2}) = \int_{-h/2}^{h/2} p_k'(x) dx = 0 \quad \forall k$ .

Mittels  $(2m)$ facher partieller Integration folgt

$$\begin{aligned} I(f) - \tilde{I}_n^N(f) &= \sum_{i=0}^{N-1} \left[ f''\left(x + \frac{z_i+z_{i+1}}{2}\right) p_2(x) - f'''\left(x + \frac{z_i+z_{i+1}}{2}\right) p_3(x) + \dots - f^{(2m+1)}\left(x + \frac{z_i+z_{i+1}}{2}\right) p_{2m+1}(x) \right]_{x=-h/2}^{h/2} \\ &\quad - \int_{-h/2}^{h/2} f^{(2m+2)}\left(x + \frac{z_i+z_{i+1}}{2}\right) p_{2m+2}(x) dx - \frac{h^2}{12} [f'(b) - f'(a)] \\ &= \sum_{j=1}^m \left[ f^{(2j+1)}(a) p_{2j+2}\left(-\frac{h}{2}\right) - f^{(2j+1)}(b) p_{2j+2}\left(\frac{h}{2}\right) \right] - \sum_{i=0}^{N-1} \int_{-h/2}^{h/2} f^{(2m+2)}\left(x + \frac{z_i+z_{i+1}}{2}\right) p_{2m+2}(x) dx \\ &= c_1 h^2 + c_2 h^4 + \dots + c_m h^{2m} + O(h^{2m+2}) \quad \square \end{aligned}$$

Bem: Ist  $f$  periodisch, d.h.  $f^{(k)}(a) = f^{(k)}(b)$ ,  $k=0, \dots, 2m+2$ , dann zeigt obige Rechnung wegen  $p_{2j}(-h) = p_{2j}(h)$  sogar  $I(f) - \tilde{I}_n^N(f) = O(h^{2m+2})$ . Ist  $f$  analytisch, konvergiert  $\tilde{I}_n^N(f)$  also sogar schneller gegen  $I(f)$  als jede Potenz von  $h$ !

### Stabilität der Quadratur

Erinnerung: Bei numerischen Verfahren machen wir immer Diskretisierungsfehler (z.B. durch Wahl endlich vieler Stützstellen) und einen Rundungsfehler (durch gerundete Eingabedaten oder Maschinenoperationen).

Dass der Diskretisierungsfehler durch geeignete Parameter beliebig klein gemacht werden kann, nennt man Konsistenz (z.B. ist Polynominterpolation analytischer Funktionen mit äquidistanten Stützstellen konsistent, nicht jedoch für alle Funktionen wegen des Runge-Phänomens).

Dass die akkumulierten Rundungsfehler nicht größer werden als der unvermeidbare Fehler,

den man bei exakter, nicht diskretisierter Rechnung macht, wenn die Eingangsdaten in gleichem Maße gestört werden, nennt sich Stabilität. Bisher haben wir nur Stabilität von Verfahren betrachtet, die keine Diskretisierungsfehler hatten. In diesen Untersuchungen haben wir vor allem die Auswirkungen von Maschineneoperationen betrachtet. Bei allen komplexeren numerischen Verfahren wollen wir nun annehmen, dass alle Rechnungen stabil implementiert sind, sodass wir für die Stabilität des ganzen Verfahrens nur die Verstärkung von Eingangsdatenfehlern betrachten müssen (also als wenn keine Maschineneoperationen, sondern exakte Operationen durchgeführt würden).

Thm: (Kondition) Ist  $\tilde{f}$  eine Näherung an  $f: [a, b] \rightarrow \mathbb{R}$  mit  $\frac{|f - \tilde{f}|}{|f|} \leq \varepsilon$  auf  $[a, b]$ , dann ist  $\frac{|I(f) - I(\tilde{f})|}{I(|f|)} \leq \varepsilon$ .

Bew:  $|I(\tilde{f}) - I(f)| \leq \int_a^b |\tilde{f} - f| dx \leq \varepsilon \int_a^b |f| dx = \varepsilon I(|f|)$ .  $\square$

Thm: (Stabilität) Konsistente Quadraturformeln mit positiven Gewichten sind stabil.

Bew: Sei  $\tilde{f}$  eine Näherung an  $f$  mit  $\frac{|f - \tilde{f}|}{|f|} \leq \varepsilon$ , die Quadraturformel  $I_n$  habe Stützstellen  $x_0, \dots, x_n$  und Gewichte  $a_0, \dots, a_n > 0$ . Wir müssen zeigen, dass  $|I_n(\tilde{f}) - I_n(f)|$  nicht größer als der unvermeidbare Fehler  $I(|f|)\varepsilon$  ist:

$$|I_n(\tilde{f}) - I_n(f)| = \left| \sum_{i=0}^n a_i (\tilde{f}(x_i) - f(x_i)) \right| \leq \varepsilon \sum_{i=0}^n |a_i| |f(x_i)| = \varepsilon I_n(|f|) \stackrel{\text{Konsistenz}}{\approx} \varepsilon I(|f|). \quad \square$$

function exampleQuadrature

```
% Integranden
f = cell(3);
f{1} = @(x) 1./(1+25*x.^2);
f{2} = @(x) exp(x);
f{3} = @(x) sin(x*pi+1) - cos(2*x*pi);
% Integral auf [-1,1]
val = [2*atan(5)/5 exp(1) - exp(-1) 0];

% geschlossene Newton-Cotes-Quadratur
n = 50;
error = zeros(3,n);
for i = 1:n
    % Stuetzstellen
    x = linspace(-1,1,i+1);
    % Gewichte
    weights = computeQuadratureWeights(x, -1, 1);
    % Quadratur
    for j = 1:3
        error(j,i) = abs(weights*f{j}(x') - val(j));
    end
end
subplot(1,3,1);
semilogy(1:n,error,'Linewidth',3);
```

```

% Gauss-Quadratur
error = zeros(3,n);
for j = 2:n
    % Legendre-Polynom-Nullstellen
    syms x;
    roots = vpasolve( legendreP(j,x) == 0 );
    % Gewichte
    weights = computeQuadratureWeights( roots, -1, 1 );
    % Quadratur
    for i = 1:3
        error(i,j) = abs(weights*f{i}(roots)-val(i));
    end
end
subplot(1,3,2);
semilogy(1:n,error,'Linewidth',3);

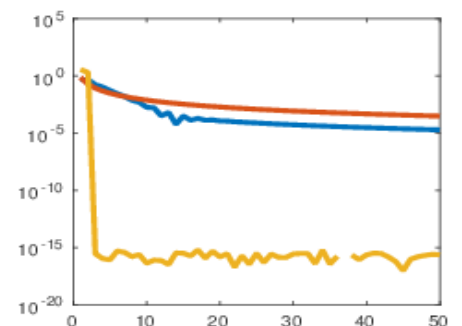
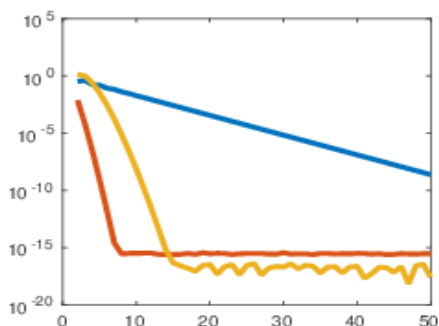
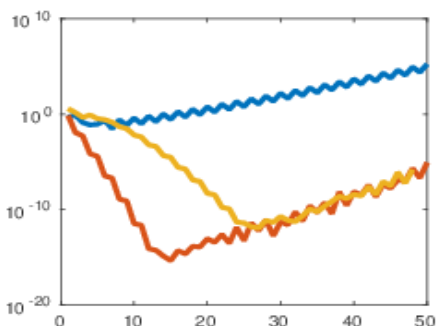
% summierte Trapezregel
error = zeros(3,n);
for j = 1:n
    % Stuetzstellen
    x = linspace(-1,1,j+1);
    % Quadratur
    for i = 1:3
        q = (sum(f{i}(x(2:end-1)))+f{i}(x(1))/2+f{i}(x(end))/2)*2/j;
        error(i,j) = abs(q-val(i));
    end
end
subplot(1,3,3);
semilogy(1:n,error,'Linewidth',3);
end

```

```

% Quadratur-Gewicht-Berechnung
function weights = computeQuadratureWeights( knots, a, b )
n = numel(knots)-1;
weights = zeros(1,n+1);
syms t lagrangeP;
for j = 1:n+1
    % Lagrange Polynom
    lagrangeP = 1;
    for l = 1:n+1
        if ( l ~= j )
            lagrangeP = lagrangeP * (t-knots(l)) / (knots(j)-knots(l));
        end
    end
end
% Integral des Lagrange Polynoms
weights(j) = int(lagrangeP,t,a,b);
end

```



# Numerische Differentiation

Merkmale: Numerische Differentiation  
 - gewöhnliche Differentialgleichungen

Wenn möchten wir die Ableitung  $f^{(k)}(x)$  einer Funktion anhand weniger Messwerte bestimmen. Hierzu können wir wieder das Interpolationspolynom  $p$  zu Stützstellen  $x_0, \dots, x_n$  berechnen und dann  $f^{(k)}(x) \approx p^{(k)}(x)$  approximieren.

Thm: (Differentiation Fehlerordnung) Sei  $f \in C^{n+1}(\mathbb{R})$ ,  $p \in \mathcal{P}_n$  das Interpolationspolynom zu  $f$  an den paarweise verschiedenen Stützstellen  $x_0, \dots, x_n \in I \subset \mathbb{R}$ ,  $x \in I$ . Für  $k=0, \dots, n$  gilt

$$|f^{(k)}(x) - p^{(k)}(x)| = \|(V^{-1})_{k+1, :}\| O(\text{diam}(I)^{n+1-k})$$

mit  $V$  der Vandermonde-Matrix zu  $x_0, \dots, x_n$ .

Bew: O.B.d.A sei  $x=0$  (sonst führe die Variablentransformation  $t \mapsto t-x$  durch).

Sei  $p(t) = \sum_{i=0}^n a_i t^i$  mit  $\begin{pmatrix} a_0 \\ \vdots \\ a_n \end{pmatrix} = V^{-1} \begin{pmatrix} f(x_0) \\ \vdots \\ f(x_n) \end{pmatrix}$ .

Es ist  $p^{(k)}(x) = k! a_k = k! (V^{-1})_{k+1, :} \begin{pmatrix} f(x_0) \\ \vdots \\ f(x_n) \end{pmatrix}$ .

Setzen wir die Taylorentwicklung  $f(x_i) = \sum_{j=0}^k \frac{f^{(j)}(x)}{j!} x_i^j + O(x_i^{k+1-j})$  ein, erhalten wir

$$\begin{aligned} p^{(k)}(x) &= k! \sum_{l=0}^n (V^{-1})_{k+1, l+1} \left( \sum_{j=0}^k \frac{f^{(j)}(x)}{j!} x_l^j + O(x_l^{k+1-j}) \right) \\ &= k! \sum_{j=0}^k \frac{f^{(j)}(x)}{j!} \sum_{l=0}^n (V^{-1})_{k+1, l+1} x_l^j + \|(V^{-1})_{k+1, :}\| O(\text{diam}(I)^{n+1-k}) \\ &= k! \frac{f^{(k)}(x)}{k!} + \|(V^{-1})_{k+1, :}\| O(\text{diam}(I)^{n+1-k}) \quad \square \end{aligned}$$

Bem: Wählen wir Stützstellen  $x_k = x + h z_k$  für  $h > 0$ ,  $z_0, \dots, z_n \in [-a, a]$ , so ist  $\text{diam } I = 2ah$

und  $V = \begin{pmatrix} 1 \\ \vdots \\ 1 \end{pmatrix} h \begin{pmatrix} z_0 \\ \vdots \\ z_n \end{pmatrix} \begin{pmatrix} | & h^2 \begin{pmatrix} z_0^2 \\ \vdots \\ z_n^2 \end{pmatrix} | & \dots & | h^n \begin{pmatrix} z_0^n \\ \vdots \\ z_n^n \end{pmatrix} \end{pmatrix}$ ,  $V^{-1} = \begin{pmatrix} -\frac{w_0}{h} \\ \vdots \\ -\frac{w_n}{h} \end{pmatrix}$  für Vektoren  $w_0, \dots, w_n \in \mathbb{R}^{n+1}$ ,

sodass  $|f^{(k)}(x) - p^{(k)}(x)| = \|w_k\| O(h^{n+1-k})$   $p(z) = (z-x, (z-x)^2, \dots, (z-x)^n) V^{-1} \begin{pmatrix} f(x_0) \\ \vdots \\ f(x_n) \end{pmatrix}$

bzw.  $f^{(k)}(x) = p^{(k)}(x) + \|w_k\| O(h^{n+1-k}) = \frac{k!}{h^k} \sum_{i=0}^n w_{ki} f(x_i) + O(h^{n+1-k})$ .

Die  $w_{ki}$  kann man auch erhalten durch Taylorentwicklung der  $f(x_i)$  um  $x$  und Koeffizientenvergleich auf beiden Seiten.

Bsp: Berechnen  $f'(x)$  mittels  $f(x), f(x+h)$

$\Rightarrow f'(x) \approx \frac{w_{10} f(x) + w_{1n} f(x+h)}{h} \stackrel{\text{Taylor}}{=} \frac{w_{10} f(x) + w_{1n} f(x) + w_{1n} h f'(x)}{h} + w_{1n} O(h)$

$\Rightarrow 0 = w_{10} + w_{1n}, \quad 1 = w_{1n}$

$\Rightarrow f'(x) = \frac{f(x+h) - f(x)}{h} + O(h)$  für  $f \in C^2(\mathbb{R})$

„Vorwärtsdifferenzquotient“

• analog:  $f'(x) = \frac{f(x) - f(x-h)}{h} + O(h)$

„Rückwärtsdifferenzquotient“

•  $f'(x) = \frac{w_{20} f(x-h) + w_{2n} f(x+h)}{h} = \frac{w_{20} (f(x) - f'(x)h + f''(x)/2 h^2) + w_{2n} (f(x) + f'(x)h + f''(x)/2 h^2)}{h} + O(h^2)$

$\Rightarrow w_{2n} = -w_{20} = \frac{1}{2} \Rightarrow f'(x) = \frac{f(x+h) - f(x-h)}{2h} + O(h^2)$  sogar besser als h! für  $f \in C^3(\mathbb{R})$

„zentraler Differenzquotient“

• analog:  $f''(x) = \frac{f(x-h) - 2f(x) + f(x+h)}{h^2} + O(h^2)$  für  $f \in C^4(\mathbb{R})$

- Bem.: · Ist  $\hat{f}$  eine leichte Störung der Eingangsfunktion  $f$  bzgl. der Norm  $\|f\|_{C^1} = \max_{x \in [a, b]} (|f(x)| + |f'(x)|)$   
d.h.  $\|\hat{f} - f\|_{C^1} \leq \varepsilon$ , so ist auch  $|f'(x) - \hat{f}'(x)| \leq \varepsilon$ , die Berechnung von  $f'(x)$  ist also gut konditioniert.
- Ist  $\hat{f}$  jedoch eine Störung bzgl.  $\|f\|_{C^0}$ , d.h.  $\|\hat{f} - f\|_{C^0} \leq \varepsilon$ , so ist  $\hat{f}'(x)$  ggs. noch nicht einmal definiert, die Kondition also unendlich schlecht.

(die Wahl der Normen spielt bei Konditions- und Stabilitätsuntersuchungen immer eine Rolle!)

=> Wird in einem Algorithmus irgendwo die Ableitung einer Funktion berechnet/approximiert und können die Funktionswerte störungsbehaftet sein, ist der Algorithmus höchstwahrscheinlich instabil.

# Numerik gewöhnlicher Differentialgleichungen

Gewöhnliche & partielle Differentialgleichungen gehören zu den Hauptwerkzeugen der mathematischen Modellierung von physikalischen, biologischen, ..., ökonomischen Prozessen, können aber selten analytisch gelöst werden  $\Rightarrow$  numerische Verfahren sind notwendig.

## Gewöhnliche Differentialgleichungen

Def: (Gewöhnliche Differentialgleichung). Sei  $I \subset \mathbb{R}$  ein Intervall,  $F: I \times (\mathbb{R}^n)^{m+1} \rightarrow \mathbb{R}^n$ ,  $f: I \times (\mathbb{R}^n)^m \rightarrow \mathbb{R}^n$ .

Eine implizite gewöhnliche Differentialgleichung der Ordnung  $m$  ist eine Gleichung der Form

$$0 = F(t, y(t), y'(t), \dots, y^{(m)}(t)),$$

zu lösen für die Funktion  $y: I \rightarrow \mathbb{R}^n$ ,  $y \in C^m(I)$ . Eine explizite gDgl ist von der Form

$$y^{(m)}(t) = f(t, y(t), y'(t), \dots, y^{(m-1)}(t)).$$

Hängen  $F$  oder  $f$  nicht von  $t$  ab, heißt die gDgl. autonom, hängen  $f, F$  nicht von  $y(t), \dots, y^{(m-1)}(t)$  ab, heißt die gDgl. einfach.

Bem: Eine Differentialgleichung  $y^{(m)} = f(t, y, y', \dots, y^{(m-1)})$  mter Ordnung kann in eine äquivalente

Differentialgleichung erster Ordnung umgewandelt werden mittels  $Y_i = y^{(i)}$ ,  $i = 0, \dots, m-1$ ,

$$Y = \begin{pmatrix} Y_0 \\ \vdots \\ Y_{m-1} \end{pmatrix}: \quad Y'(t) = \begin{pmatrix} Y_1(t) \\ \vdots \\ Y_{m-1}(t) \\ f(t, Y_0(t), \dots, Y_{m-1}(t)) \end{pmatrix}$$

Eine Differentialgleichung  $y'(t) = f(t, y(t))$  mit Anfangsbedingung  $y(t_0) = y_0$  kann in ein äquivalentes autonomes System umgewandelt werden:  $Y(t) = \begin{pmatrix} t \\ y(t) \end{pmatrix}$ ,  $Y'(t) = \begin{pmatrix} 1 \\ f(Y_1, Y_2) \end{pmatrix}$ ,  $Y(t_0) = \begin{pmatrix} t_0 \\ y_0 \end{pmatrix}$

Def: (Anfangswertproblem) Eine Differentialgleichung (o.B.d.A. erster Ordnung) mit Anfangsbedingungen,

$$y'(t) = f(t, y) \quad , \quad y(t_0) = y_0 \quad (\text{AWP})$$

heißt Anfangswertproblem.

Bsp: (Mehrkörperproblem) Seien  $y_S(t), y_E(t), y_M(t) \in \mathbb{R}^3$  die Position von Sonne, Erde, Mond mit Massen

$m_S, m_E, m_M > 0$  zur Zeit  $t$ . Die Gravitationskraft zwischen zwei Körpern der Masse  $m_1, m_2$  ist

$G \frac{m_1 m_2}{\text{Abstand}^2}$  für die Gravitationskonstante  $G = 6,674 \cdot 10^{-11} \frac{\text{m}^3}{\text{kg s}^2}$ , und die Beschleunigung  $y''(t)$

eines Körpers ist gleich der Kraft  $F$  pro Masse  $m$ ,  $y''(t) = \frac{F}{m}$ . Folglich gilt (unter Vernach-

lässigung anderer Himmelskörper)

$$\left. \begin{aligned} y_S'' &= \frac{G}{m_S} \left[ m_S m_E \frac{y_E - y_S}{|y_E - y_S|^3} + m_S m_M \frac{y_M - y_S}{|y_M - y_S|^3} \right] \\ y_E'' &= \frac{G}{m_E} \left[ m_E m_S \frac{y_S - y_E}{|y_S - y_E|^3} + m_E m_M \frac{y_M - y_E}{|y_M - y_E|^3} \right] \\ y_M'' &= \frac{G}{m_M} \left[ m_M m_S \frac{y_S - y_M}{|y_S - y_M|^3} + m_M m_E \frac{y_E - y_M}{|y_E - y_M|^3} \right] \end{aligned} \right\} \Leftrightarrow \tilde{y}'' = \begin{pmatrix} y_S \\ y_E \\ y_M \end{pmatrix}'' = g(y_S, y_E, y_M) = g(\tilde{y}) \in \mathbb{R}^9$$
$$\Rightarrow \tilde{y}' = \begin{pmatrix} \tilde{y} \\ \tilde{y}' \end{pmatrix}' = \begin{pmatrix} \tilde{y}' \\ g(\tilde{y}) \end{pmatrix} = \begin{pmatrix} Y_1 \\ Y_2 \end{pmatrix} \in \mathbb{R}^{18}$$

heute: Analysis gewöhnlicher Dgl.

```
ms = 1.989e30; % Masse Sonne [kg]
me = 5.972e24; % Masse Erde [kg]
mm = 7.349e22; % Masse Mond [kg]
G = 6.674e-20; % Gravitationskonstante [kg km^3/s^2]
```

```
g = @(ys, ye, ym) G * [me * (ye - ys) / norm(ye - ys)^3 + mm * (ym - ys) / norm(ym - ys)^3;
    ms * (ys - ye) / norm(ys - ye)^3 + mm * (ym - ye) / norm(ym - ye)^3;
    ms * (ys - ym) / norm(ys - ym)^3 + me * (ye - ym) / norm(ye - ym)^3];
```

```
% Anfangsposition [km] & -Geschwindigkeit [km/s]
y0 = [0 0 0, 1.496e8 0 0, 1.496e8 + 370300 0 0, 0 0 0, 0 29.78 0, 0 29.78 + 1.06 0]';
```

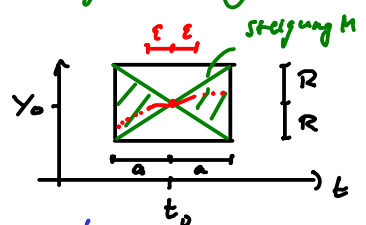
```
f = @(y, t) [y(10:18); g(y(1:3), y(4:6), y(7:9))];
% [t, y] = ode15s(@(t, y) f(y, t), [0 60^2 * 24 * 365], y0);
y = lsode(f, y0, linspace(0, 60^2 * 24 * 365, 365));
ye = y(:, 4:5);
ym = ye + 20 * (y(:, 7:8) - ye); % übertreibe Mondposition
```

Plot(y(1:3), 'r', 'LineWidth', 3, ym(1:3), 'b', 'LineWidth', 2, 'LineStyle', 'dashed'); axis eq

Def: (Lipschitz) Seien  $X, Y$  normierte Räume.  $f: X \rightarrow Y$  heißt Lipschitz-stetig mit Lipschitz-Konstante  $L > 0$ , wenn  $\|f(x) - f(y)\| \leq L \|x - y\| \quad \forall x, y \in X$  gilt.

Thm: (Picard-Lindelöf) Sei  $I = [t_0 - a, t_0 + a]$ ,  $B = \{x \in \mathbb{R}^n \mid \|x - y_0\| \leq R\}$ ,  $f: I \times B \rightarrow \mathbb{R}^n$  stetig und Lipschitz-stetig im zweiten Argument, d.h.  $\exists L > 0: \|f(t, x) - f(t, y)\| \leq L \|x - y\| \quad \forall t \in I, x, y \in B$ .

Sei  $M = \max_{(t, x) \in I \times B} \|f(t, x)\|$  und  $a \leq \frac{R}{M}$ , dann existiert eine eindeutige Lösung  $y: I \rightarrow B$  zu (AWP).



Bew: Zunächst zeige Existenz & Eindeutigkeit auf  $\tilde{I} = [t_0 - \varepsilon, t_0 + \varepsilon]$  für  $\varepsilon = \min\{a, \frac{a}{2L}\}$ .

1) definiere die Picard-Iteration  $T: C(\tilde{I}; B) \rightarrow C(\tilde{I}; B)$ ,  $x(t) \mapsto y_0 + \int_{t_0}^t f(\tau, x(\tau)) d\tau$ ; dies ist wohldefiniert, da  $T(x)(t)$  stetig ist mit  $\|T(x)(t) - y_0\| \leq \int_{t_0}^t \|f(\tau, x(\tau))\| d\tau \leq M \varepsilon \leq R$ .

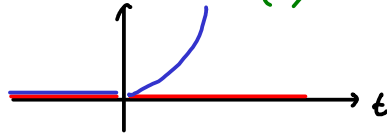
2)  $T$  ist eine Kontraktion: Mit der Supremumnorm  $\|g\|_\infty = \sup_{t \in \tilde{I}} \|g(t)\|$  gilt  $\|T(x)(t) - T(y)(t)\| = \left\| \int_{t_0}^t f(\tau, x(\tau)) - f(\tau, y(\tau)) d\tau \right\| \leq \int_{t_0}^t \|f(\tau, x(\tau)) - f(\tau, y(\tau))\| d\tau \leq |t - t_0| L \|x - y\|_\infty \leq \frac{1}{2} \|x - y\|_\infty \quad \forall t \in \tilde{I}$   
 $\Rightarrow \|T(x) - T(y)\|_\infty \leq \frac{1}{2} \|x - y\|_\infty$

3)  $C(\tilde{I}; B)$  mit  $\|\cdot\|_\infty$  ist vollständig, somit hat  $T$  nach dem Banachschen Fixpunktsatz einen eindeutigen Fixpunkt  $y^* \in C(\tilde{I}; B)$  mit  $y^* = T(y^*)$ , d.h. eine eindeutige Lösung zu (AWP).

Wiederhole das Argument nun für  $y'(t) = f(t, y(t))$ ,  $y(t_0 + \varepsilon) = y^*(t_0 + \varepsilon)$ , um eine eindeutige Lösung auf  $[t_0, t_0 + 2\varepsilon]$  zu erhalten, dann analog für Anfangswerte bei  $t_0 + 2\varepsilon, t_0 + 3\varepsilon$  usw., bis die eindeutige Lösung auf ganz  $I$  definiert ist.  $\square$



Bem: Die Lipschitzbedingung ist nötig für Eindeutigkeit: z.B. ist  $f(t, x) = \sqrt{x}$  nicht Lipschitzstetig um  $x=0$ , und  $\begin{cases} y'(t) = f(t, y(t)) \\ y(0) = 0 \end{cases}$  hat Lösungen  $y(t) = 0$  &  $y(t) = \frac{(t)^2}{4}$ .



$a \leq \frac{R}{L}$  ist nötig für Existenz einer Lösung auf dem ganzen Intervall  $I$ :  $\begin{cases} y'(t) = y^2 \\ y(0) = 1 \end{cases}$  hat Lösung  $y(t) = \frac{1}{1-t}$  und ist somit nur für  $t < 1$  wohldefiniert.

Die Picard-Iteration liefert auch eine Vorschrift zur Annäherung der Lösung:  $y = \lim_{n \rightarrow \infty} T^n(y_0)$

Bsp: Bakterienanzahl in einer Nährlösung gehorcht  $y'(t) = \alpha y(t)$  mit  $\alpha > 0, y(0) = y_0 > 0$ .

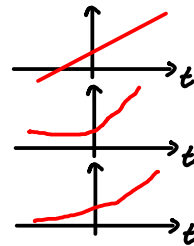
$f(t, x) := \alpha x$  ist stetig & Lipschitzstetig in  $x$  mit Lipschitzkonstante  $\alpha$ .

$M = \max_{(t, x) \in I \times B} |f(t, x)| = \alpha(y_0 + R)$ , d.h. Lösung  $y: I \rightarrow B$  existiert für  $a \leq \frac{R}{\alpha(y_0 + R)}$ .

$$T(y_0)(t) = y_0 + \int_0^t \alpha y_0 dt = y_0(1 + \alpha t)$$

$$T^2(y_0)(t) = y_0 + \int_0^t \alpha y_0(1 + \alpha t) dt = y_0 \left( 1 + \alpha t + \frac{(\alpha t)^2}{2} \right)$$

$$T^n(y_0)(t) = y_0 \sum_{j=0}^n \frac{(\alpha t)^j}{j!} \xrightarrow{n \rightarrow \infty} y_0 \exp(\alpha t)$$



Für Stabilitätsbetrachtungen bei der Untersuchung numerischer Lösungsverfahren müssen wir den unvermeidbaren Fehler durch Rundung der Eingabedaten  $y_0$  und  $f$  abschätzen. Ein Werkzeug hierfür ist Gronwalls Lemma.

Thm: (Gronwall) Sei  $I = [a, b]$ ,  $\alpha, \beta, u: I \rightarrow \mathbb{R}$  stetig.

$$1) u'(t) \leq \alpha(t) + \beta(t)u(t) \quad \forall t \in I \Rightarrow u(t) \leq u(a) e^{\int_a^t \beta(s) ds} + \int_a^t \alpha(r) e^{\int_r^t \beta(s) ds} dr \quad \forall t \in I$$

$$2) u(t) \leq \alpha(t) + \int_a^t \beta(s)u(s) ds \quad \forall t \in I \Rightarrow u(t) \leq \alpha(t) + \int_a^t \alpha(r)\beta(r) e^{\int_r^t \beta(s) ds} dr \quad \forall t \in I.$$

Bew: 0) Sei  $u'(t) \leq v(t) \quad \forall t \in I$ , dann gilt  $u(t) \leq w(t) \quad \forall t \in I$  mit  $w(t) = u(a) + \int_a^t v(s) ds$ , da  $(u-w)' \leq 0$  &  $(u-w)(a) = 0$ , also  $u-w \leq 0$  auf  $I$ .

$$1) \text{ Sei } v \text{ die Lösung von } v'(t) = -\beta(t)v(t), v(a) = 1, \text{ d.h. } v(t) = e^{-\int_a^t \beta(s) ds}$$

$$\Rightarrow (uv)' = u'v - \beta uv \leq \alpha v + \beta uv - \beta uv = \alpha v \stackrel{0)}{\Rightarrow} u(t)v(t) \leq u(a) + \int_a^t \alpha(s)v(s) ds$$

Das Resultat folgt nun mit Division durch  $v(t)$  auf beiden Seiten.

$$2) \text{ Sei } v(t) = \int_a^t \beta(s)u(s) ds \Rightarrow v' = \beta u \leq \beta \alpha + \beta v, v(a) = 0$$

$$u(t) - \alpha(t) \leq v(t) \stackrel{1)}{\Rightarrow} \int_a^t \beta(r)\alpha(r) e^{\int_r^t \beta(s) ds} dr$$

□

Thm: (Kondition / Stetigkeit des Anfangswertproblems)  $\begin{cases} y'(t) = f(t, y) \\ y(t_0) = y_0 \end{cases}$  erfülle die Voraussetzungen

des Satzes von Picard und Lindelöf,  $\tilde{f}$  und  $\tilde{y}_0$  seien Näherungen mit  $\|y_0 - \tilde{y}_0\| \leq \varepsilon$  und  $\|f - \tilde{f}\|_\infty = \sup \|f(t, x) - \tilde{f}(t, x)\| \leq \delta$ . Für die Lösung  $\tilde{y}: [t_0, t_0 + a] \rightarrow \mathbb{R}^n$  (wenn sie existiert) von  $\begin{cases} \tilde{y}'(t) = \tilde{f}(t, \tilde{y}(t)) \\ \tilde{y}(t_0) = \tilde{y}_0 \end{cases}$  gilt  $\|\tilde{y}(t) - y(t)\| \leq (\varepsilon + \delta(t - t_0)) e^{L(t - t_0)} \quad \forall t \in [t_0, t_0 + a]$ .

Bew: Sei  $u(t) = \|\tilde{y}(t) - y(t)\|$ .

$$u(t) = \|\tilde{y}_0 - y_0 + \int_{t_0}^t \tilde{f}(s, \tilde{y}(s)) - f(s, y(s)) ds\| \leq \varepsilon + \int_{t_0}^t \delta + \|f(s, \tilde{y}(s)) - f(s, y(s))\| ds \leq \varepsilon + \delta(t - t_0) + L \int_{t_0}^t u(s) ds$$

folglich  $\Rightarrow u(t) \leq \varepsilon + \delta(t - t_0) + \int_{t_0}^t (\varepsilon + \delta(r - t_0)) L e^{L(t-r)} dr \leq (\varepsilon + \delta(t - t_0)) \left[ 1 + \int_{t_0}^t L e^{L(t-r)} dr \right] = (\varepsilon + \delta(t - t_0)) \left[ 1 + e^{L(t-t_0)} - 1 \right] \quad \square$

Diskrete Verfahren zur Lösung gewöhnlicher Differentialgleichungen

merk: • Diskretisierung  
• Stabilität & Konvergenz

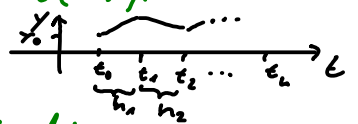
Sei  $I = [a, b]$ ,  $f: I \times \mathbb{R}^n \rightarrow \mathbb{R}^n$ ;  $\begin{cases} y'(t) = f(t, y(t)) \\ y(a) = y_0 \end{cases}$  (AWP)

hat eine eindeutige Lösung auf  $I$ . Ein numerisches Verfahren liefert für Stützstellen / Knoten  $t_0 = a < t_1 < \dots < t_n = b$  eine Approximation  $y_i \approx y(t_i)$ ,  $i = 0, \dots, n$ .

Def: (Konvergenz)

- Die Schritt- oder Gitterweite zu Knoten  $t_0, \dots, t_n$  ist  $h = \max_{i=1, \dots, n} h_i$  mit  $h_i = t_i - t_{i-1}$ .
- Der (globale) Diskretisierungsfehler des Verfahrens ist  $e_h = \max_{i=1, \dots, n} \|e_i\|$  mit  $e_i = y_i - y(t_i)$ .
- Das Verfahren heißt konvergent (von Ordnung  $p$ ), falls  $e_h \xrightarrow{h \rightarrow 0} 0$  ( $e_h = O(h^p)$ ).

Def: (Verfahrenstypen) Ein Verfahren der Form



- $y_{k+1} = y_k + h_{k+1} \varphi(t_k, y_k, h_{k+1})$  heißt explizites Einschrittverfahren
- $y_{k+1} = y_k + h_{k+1} \varphi(t_k, y_k, y_{k+1}, h_{k+1})$  heißt implizites Einschrittverfahren
- $y_{k+1} = y_k + h_{k+1} \varphi(t_0, \dots, t_k, y_0, \dots, y_k, h_{k+1})$  heißt explizites Mehrschrittverfahren
- $y_{k+1} = y_k + h_{k+1} \varphi(t_0, \dots, t_k, y_0, \dots, y_k, y_{k+1}, h_{k+1})$  heißt implizites Mehrschrittverfahren

Bem: Man findet nacheinander  $y_0, y_1, y_2, \dots$ . In einem impliziten Verfahren muss hierzu in jedem Schritt eine Gleichung gelöst werden.

Thm: (Wohldefiniertheit) Sei  $y_{k+1} = y_k + h_{k+1} \varphi(t_i, y_i, h_i)$  ein implizites Verfahren für (AWP).

Sei  $B = \{y \in \mathbb{R}^n \mid \|y - y_0\| \leq R\}$ ,  $\varphi$  Lipschitz-stetig in  $y_{k+1}$  mit Konstante  $L$  und  $\|\varphi\| \leq M$  für alle  $t_0, \dots, t_k \in I, y_0, \dots, y_{k+1} \in B$ . Schließlich sei  $R - a \leq \frac{R}{2M}$  (analog zu Picard-Lindelöf).

Es existiert ein  $h$ , sodass bei Wahl von  $h_k \leq h$  für alle  $k$  das Verfahren in jedem Schritt  $k$  eine eindeutige Lösung  $y_{k+1} = \Psi((t_i, y_i, h_i)_{i=0, \dots, k}) \in B$  besitzt. Ist  $\varphi$  Lipschitz-stetig in  $y_0, \dots, y_k$ , so auch  $\Psi$ .

Bem: Wegen des Theorems können wir ein implizites Verfahren auch interpretieren als ein explizites  $y_{k+1} = y_k + h_{k+1} \varphi(t_0, \dots, t_k, y_0, \dots, y_k, \Psi(t_0, \dots, t_k, y_0, \dots, y_k, h_{k+1}), h_{k+1})$  mit Lipschitz-stetiger rechter Seite (wird für Stabilität benötigt).

Bew: Sei  $h < \frac{1}{L}$  und  $h < \frac{R}{2M}$ ,  $h_k \leq h \forall k$ . Wir zeigen mittels vollständiger Induktion  $y_k \in B_k = \{y \in \mathbb{R}^n \mid \|y - y_k\| \leq M(t_k - a)\}$  und die Aussagen des Satzes. Der Induktionsanfang  $k=0$  ist trivial.

Zum Induktionsschritt betrachte  $y_{k+1}$ . Setze  $g(y) = y_k + h_{k+1} \varphi(t_0, \dots, t_k, y_0, \dots, y_k, y, h_{k+1})$ . Für  $y \in B$  ist  $\|g(y) - y_k\| \leq h \|\varphi(\dots)\| \leq hM < \frac{R}{2}$  und somit  $g: B \rightarrow B$ . Außerdem ist  $g$  eine Kontraktion:  $\|g(x) - g(z)\| = h_{k+1} \|\varphi(\dots, x, h_{k+1}) - \varphi(\dots, z, h_{k+1})\| \leq \underbrace{hL}_{< 1} \|x - z\|$ .

Nach dem Banachschen Fixpunktsatz existiert ein eindeutiger Fixpunkt von  $g$  in  $B$ , also eine eindeutige Lösung  $y_{k+1} \in B$ . Außerdem  $\|y_{k+1} - y_k\| = \|g(y_{k+1}) - y_k\| \leq hM$  und somit  $y_{k+1} \in B_{k+1}$ . Schließlich ist  $\Psi(t_0, \dots, t_k, y_0, \dots, y_k, h_{k+1}) = y_{k+1}$  Lipschitz-stetig in  $(y_0, \dots, y_k)$ : Sei  $x = \Psi(t_0, \dots, t_k, x_0, \dots, x_k, h_{k+1})$ ,  $z = \Psi(t_0, \dots, t_k, z_0, \dots, z_k, h_{k+1})$ , dann ist

$$\begin{aligned} \|x - z\| &= \|x_k + h_{k+1} \varphi(\dots, x_0, \dots, x_k, x, h_{k+1}) - z_k - h_{k+1} \varphi(\dots, z_0, \dots, z_k, z, h_{k+1})\| \\ &\leq \|x_k - z_k\| + h \|\varphi(\dots, x_0, \dots, x_k, x, h_{k+1}) - \varphi(\dots, z_0, \dots, z_k, x, h_{k+1})\| \\ &\quad + h \|\varphi(\dots, z_0, \dots, z_k, x, h_{k+1}) - \varphi(\dots, z_0, \dots, z_k, z, h_{k+1})\| \\ &\leq \|x_k - z_k\| + h \tilde{L} \|(x_0, \dots, x_k) - (z_0, \dots, z_k)\| + hL \|x - z\| \\ \Rightarrow \|x - y\| &\leq \frac{1 + h\tilde{L}}{1 - hL} \|(x_0, \dots, x_k) - (z_0, \dots, z_k)\| \Rightarrow \Psi \text{ hat Lipschitz-Konstante } \frac{1 + h\tilde{L}}{1 - hL} \quad \square \end{aligned}$$

Bem: Die Fixpunkt-Iteration  $y_{k+1}^{i+1} = g(y_{k+1}^i)$  aus dem Beweis kann mit  $y_{k+1}^0 = y_k$  genutzt werden, um  $y_{k+1}$  im impliziten Verfahren zu berechnen.

Wie kann man entsprechende Verfahren herleiten? Mittels Quadratur!

$$y(t_{k+1}) = y(t_k) + \int_{t_k}^{t_{k+1}} f(t, y(t)) dt$$

$$\approx y(t_k) + h_{k+1} \begin{cases} f(t_k, y(t_k)) & \text{Newton-Cotes mit Stützstelle } t_k \\ f(t_{k+1}, y(t_{k+1})) & \text{Newton-Cotes mit Stützstelle } t_{k+1} \\ (f(t_k, y(t_k)) + f(t_{k+1}, y(t_{k+1}))) / 2 & \text{Trapezregel} \end{cases}$$

- Def: (Euler-Verfahren) Zur Differentialgleichung  $y'(t) = f(t, y(t))$  heißt
- $y_{k+1} = y_k + h_{k+1} f(t_k, y_k)$  explizites Eulerverfahren,
  - $y_{k+1} = y_k + h_{k+1} f(t_{k+1}, y_{k+1})$  implizites Eulerverfahren,
  - $y_{k+1} = y_k + h_{k+1} \frac{f(t_k, y_k) + f(t_{k+1}, y_{k+1})}{2}$  Trapezverfahren,
  - $y_{k+1} = y_k + h_{k+1} ((1-\theta) f(t_k, y_k) + \theta f(t_{k+1}, y_{k+1}))$   $\theta$ -Verfahren,
  - $y_{k+1} = y_k + h_{k+1} \frac{f(t_k, y_k) + f(t_{k+1}, y_k + h_{k+1} f(t_k, y_k))}{2}$  verbessertes Eulerverfahren.

```

% löse y' = t - y^2, y(0) = 0
f = @(t,y) t-y^2;
h = .1; % Gitterweite
t = 0:h:1; % Gitter
n = length(t)-1;
y = zeros(3,n+1);
for k = 1:n
    % explizites Eulerverfahren
    y(1,k+1) = y(1,k) + h * f( t(k), y(1,k) );
    % implizites Eulerverfahren
    y(2,k+1) = ( -.5 + sqrt(.25+h*(h*t(k+1)+y(2,k))) ) / h;
    % verbessertes Eulerverfahren
    y(3,k+1) = y(3,k) + h * ( f( t(k), y(3,k) ) ...
        + f( t(k+1), y(3,k)+h*f(t(k),y(3,k)) ) ) / 2;
end

```

```

plot(t',y','.-','Linewidth',3,'Markersize',20);
hold on;
t = linspace(0,1,100);
y = lsode(@(y,t)f(t,y),0,t);
plot(t,y,'k','Linewidth',3);

```

Das verbesserte Eulerverfahren ist viel genauer - woran liegt dies?

### Konvergenz- & Stabilitätsanalyse von Einschrittverfahren

Thm: (diskretes Gronwall-Lemma) Seien  $\alpha_k, \beta_k, u_k \geq 0$  reelle Folgen mit  $u_{k+1} - u_k \leq \alpha_k + \beta_k u_k \forall k$ .

Dann gilt 
$$u_k \leq u_0 \exp\left(\sum_{j=0}^{k-1} \beta_j\right) + \sum_{i=0}^{k-1} \alpha_i \exp\left(\sum_{j=i+1}^{k-1} \beta_j\right).$$

Bem: Im Vergleich zum Gronwall-Lemma werden Ableitungen & Integrale durch Differenzen & Summen ersetzt.

Bew: Induktionsanfang:  $k=1$  trivial

Induktionsschritt: 
$$\begin{aligned} u_{k+1} &\leq \alpha_k + (1+\beta_k)u_k \leq \alpha_k \exp(\beta_k) + \exp(\beta_k)u_k \\ &\leq \alpha_k \exp(\beta_k) + \exp(\beta_k) \left[ u_0 \exp\left(\sum_{j=0}^{k-1} \beta_j\right) + \sum_{i=0}^{k-1} \alpha_i \exp\left(\sum_{j=i+1}^{k-1} \beta_j\right) \right] \\ &= u_0 \exp\left(\sum_{j=0}^k \beta_j\right) + \sum_{i=0}^k \alpha_i \exp\left(\sum_{j=i+1}^k \beta_j\right) \quad \square \end{aligned}$$

Der Einfachheit halber sei im Folgenden  $h_k = h$  für alle  $k$  (die Verallgemeinerung zu  $h_k$  ist einfach).

Thm: (Stabilität) Seien  $\tilde{y}_0, \tilde{\varphi}$  Näherungen für  $y_0, \varphi$  mit  $\|\tilde{y}_0 - y_0\| \leq \varepsilon, \|\tilde{\varphi} - \varphi\|_a \leq \delta$  für ein (o.B.d.A. explizites) Einschrittverfahren  $y_{k+1} = y_k + h\varphi(t_k, y_k, h)$ .  $\varphi$  sei Lipschitz-stetig mit Konstante  $L$ . Die Lösung  $\tilde{y}_k$  des gestörten Verfahrens erfüllt

$$\|\tilde{y}_k - y_k\| \leq (\varepsilon + \delta t_k) \exp(L t_k).$$

Bew: Sei  $u_k = \tilde{y}_k - y_k$ . 
$$\begin{aligned} \|u_{k+1}\| &= \|\tilde{y}_k + h\tilde{\varphi}(t_k, \tilde{y}_k, h) - y_k - h\varphi(t_k, y_k, h)\| \\ &\leq \|u_k\| + h \left[ \|\tilde{\varphi}(t_k, \tilde{y}_k, h) - \varphi(t_k, \tilde{y}_k, h)\| + \|\varphi(t_k, \tilde{y}_k, h) - \varphi(t_k, y_k, h)\| \right] \\ &\leq \|u_k\| + h\delta + hL\|u_k\| = h\delta + (1+hL)\|u_k\|, \end{aligned}$$

mit dem diskreten Gronwall-Lemma folgt also

$$\|u_k\| \leq \|u_0\| \exp(khL) + \sum_{i=0}^{k-1} h\delta \exp((k-i-1)hL) \leq c \exp(Lt_k) + t_k \delta \exp(Lt_k) \square$$

Def. (Abschneidefehler) Für ein Verfahren  $y_{k+1} = y_k + h_{k+1} \varphi(t_k, y_k, h_k)$  und eine Lösung  $y(t)$  von  $y'(t) = f(t, y(t))$  heißt  $\tau_k = \frac{1}{h_{k+1}} [y(t_{k+1}) - (y(t_k) + h_{k+1} \varphi(t_k, y(t_k), h_k))]$  lokaler Diskretisierungsfehler oder Abschneidefehler.

Das Verfahren heißt konsistent (von Ordnung  $p$ ), falls  $\max_k \|\tau_k\| \xrightarrow{h \rightarrow 0} 0$  ( $\max_k \|\tau_k\| = O(h^p)$ ).

Bsp.: Abschneidefehler explizites Eulerverfahren: Taylor:  $y(t_{k+1}) = y(t_k) + h y'(t_k) + \frac{h^2}{2} y''(\xi_k)$

$$\tau_k = \frac{y(t_{k+1}) - y(t_k)}{h} - f(t_k, y(t_k)) = y'(t_k) + \frac{h}{2} y''(\xi_k) - f(t_k, y(t_k)) = \frac{h}{2} y''(\xi_k)$$

$\Rightarrow$  Konsistent von Ordnung 1

• verbessertes Eulerverfahren:

$$\tau_k = \frac{y(t_{k+1}) - y(t_k)}{h} - \frac{f(t_k, y(t_k)) + f(t_k, y(t_k) + h \overbrace{f(t_k, y(t_k))}^{y'(t_k)})}{2}$$

$$f(t_{k+1}, y(t_k) + h y'(t_k)) = f(t_k, y(t_k)) + \left(\frac{h}{1}\right) y'(t_k) \cdot \left(\frac{\partial f}{\partial t}\right) \Big|_{(t_k, y(t_k))} + \left(\frac{h}{1}\right) y'(t_k) \cdot \left(\frac{\partial f}{\partial y}\right) \Big|_{(t_k, y(t_k))} + O(h^2)$$

$$= y'(t_k) + h \frac{d}{dt} f(t, y(t)) \Big|_{t_k} + O(h^2) = y'(t_k) + h y''(t_k) + O(h^2)$$

$$\tau_{k+1} = y'(t_k) + \frac{h}{2} y''(t_k) + \frac{h^2}{6} y'''(\xi_k) - y'(t_k) - \frac{h y''(t_k) + O(h^2)}{2} = O(h^2)$$

$\Rightarrow$  konsistent von Ordnung 2

Thm. (Konvergenz) Das Einzschritverfahren  $y_{k+1} = y_k + h \varphi(t_k, y_k, h)$  sei konsistent (von Ordnung  $p$ ) und stabil. Dann ist das Verfahren konvergent (von Ordnung  $p$ ).

Bem.: „Konsistenz + Stabilität = Konvergenz“, d.h. werden Rundungsfehler nicht mehr als unvermeidbar verstärkt und ist das Verfahren konsistent, dann folgt hieraus dass der globale Diskretisierungsfehler beliebig klein gemacht werden kann.

• Explizites / implizites Eulerverfahren konvergieren nur mit Ordnung 1, das verbesserte Eulerverfahren hingegen mit Ordnung 2.

Bew.: Sei  $\tilde{\varphi}(t, y, h)$  definiert als  $\frac{\hat{y}(t+h) - \hat{y}(t)}{h}$  für die Lösung  $\hat{y}$  von  $\hat{y}'(t) = f(t, \hat{y}(t))$  mit  $\hat{y}(t) = y_k$ .

$$\text{Es ist } \varphi(t_k, y_k, h) - \tilde{\varphi}(t_k, y_k, h) = \varphi(t_k, y_k, h) - \frac{\hat{y}(t_{k+1}) - \hat{y}(t_k)}{h} = \tau_k.$$

Das Verfahren mit  $\tilde{\varphi}$  liefert die exakte Lösung  $y(t_k)$ , das mit  $\varphi$  kann aufgefasst werden als Approximation. Der Stabilitätsatz liefert nun

$$\|e_k\| = \|y_k - \hat{y}(t_k)\| \leq \max_j \|\tau_j\| t_k \exp(Lt_k) \leq C \max_j \|\tau_j\| \text{ für eine Konstante } C > 0. \square$$

## Einschrittverfahren

Explizite Einschrittverfahren haben die Form  $y_{k+1} = y_k + h \varphi(t_k, y_k, h)$ . Wie findet man gute  $\varphi$ ?

Def.(Taylorverfahren) Sei  $f \in C^p(\mathbb{R} \times \mathbb{R}^n)$  und  $\hat{y}$  die Lösung zu  $\hat{y}'(t) = f(t, \hat{y}(t))$ ,  $\hat{y}(t_k) = y_k$ . Das Verfahren mit  $h \varphi(t_k, y_k, h) = \sum_{j=1}^p \frac{h^j}{j!} \hat{y}^{(j)}(t_k)$ , der Taylorentwicklung von  $\hat{y}(t_{k+1}) - y_k$  um  $t_k$  von Ordnung  $p$ , heißt Taylorverfahren.

Bem.: Die Ableitungen  $\hat{y}^{(j)}(t_k)$  können nur mit Hilfe der Ableitungen von  $f$  und des Werts  $y_k$  bestimmt werden:

$$\hat{y}(t_k) = y_k, \hat{y}'(t_k) = f(t_k, y_k), \hat{y}''(t_k) = \frac{d}{dt} f(t, \hat{y}(t)) \Big|_{t=t_k} = \left( \frac{\partial f}{\partial t} + \frac{\partial f}{\partial y} \hat{y}' \right) \Big|_{t=t_k, y=y_k} = \left( \frac{\partial f}{\partial t} + \frac{\partial f}{\partial y} f \right) \Big|_{t=t_k, y=y_k} \text{ usw.}$$

Thm.(Taylorverfahren) Das Taylorverfahren ist stabil und konsistent von Ordnung  $p$  (somit konvergent von Ordnung  $p$ ).

Bew.: Stabilität:  $\varphi$  ist Lipschitz-stetig in  $y_k$  (da  $\hat{y}^{(j)}(t_k)$  eine Summe von Produkten von bis zu  $(j-1)$ ten Ableitungen von  $f$  in  $y_k$  ist und  $f \in C^p$ )

$$\text{Konsistenz: } \tau_k = \frac{\hat{y}(t_{k+1}) - \hat{y}(t_k)}{h} - \varphi(t_k, y_k, h) = \sum_{j=1}^p \frac{h^{j-1}}{j!} \hat{y}^{(j)}(t_k) + O(h^p) - \sum_{j=1}^p \frac{h^{j-1}}{j!} \hat{y}^{(j)}(t_k) = O(h^p)$$

Im Taylorverfahren müssen hohe Ableitungen von  $f$  ausgewertet werden - oft sind die Formeln zu kompliziert oder gar nicht bekannt. Stattdessen kann man versuchen, höhere Ordnung nur mit Auswertungen von  $f$  zu erhalten. Hierzu sei  $I_p(g) = \sum_{i=0}^p c_i g(a_i)$  eine Quadraturformel auf  $[0,1]$

$$\Rightarrow y(t_{k+1}) - y(t_k) = \int_{t_k}^{t_{k+1}} f(t, y(t)) dt \approx h \sum_{i=0}^p c_i f(t_k + a_i h, y(t_k + a_i h)).$$

Hier muss auch  $y(t_k + a_i h)$  mittels  $y(t_k)$  und  $f$  möglichst effizient approximiert werden.

Def.(Runge-Kutta-Verfahren) Seien  $c_i, a_i, b_{ij} \in \mathbb{R}$  für  $i, j = 1, 2, \dots$

• Ein Verfahren mit

$$\varphi(t, y, h) = \sum_{r=1}^R c_r k_r, \quad k_r = f\left(t + a_r h, y + h \sum_{s=1}^{r-1} b_{rs} k_s\right), \quad r = 1, \dots, R$$

heißt R-stufiges explizites Runge-Kutta-Verfahren.

• Ein Verfahren mit

$$\varphi(t, y, h) = \sum_{r=1}^R c_r k_r, \quad k_r = f\left(t + a_r h, y + h \sum_{s=1}^R b_{rs} k_s\right), \quad r = 1, \dots, R$$

heißt R-stufiges implizites Runge-Kutta-Verfahren.

Runge-Kutta-Verfahren sind der Standard unter den Einschrittverfahren.

Geeignete Parameter  $c_i, a_i, b_{ij}$  erhält man durch Ermitteln des Abschneidefehlers.

Bsp: Ein 2-stufiges Runge-Kutta-Verfahren hat die Form  $y_{k+1} = y_k + h(c_1 k_1 + c_2 k_2)$  mit

$$k_1 = f(t_k + a_1 h, y_k), \quad k_2 = f(t_k + a_2 h, y_k + b_{21} h k_1).$$

$$\text{Abschneidefehler } \tau_k = \frac{y(t_{k+1}) - y(t_k)}{h} - c_1 f(t_k + a_1 h, y(t_k)) - c_2 f(t_k + a_2 h, y(t_k) + b_{21} h f(t_k, y(t_k)))$$

$$y'' = \frac{d^2}{dt^2} f(t, y) = \partial_t^2 f + f \partial_y^2 f$$

$$= y'(t_k) + \frac{h}{2} y''(t_k) + O(h^3) - c_1 y'(t_k) - c_1 h a_1 \partial_t f - c_2 \left[ f(t_k, y(t_k)) + h \{ a_2 \partial_t f + b_{21} \partial_y f \} + O(h^2) \right]$$

$$= y'(t_k) (1 - c_1 - c_2) + \partial_t f(t_k, y(t_k)) h \left( \frac{1}{2} - c_1 a_1 - c_2 a_2 \right) + f(t_k, y(t_k)) \partial_y f(t_k, y(t_k)) h \left( \frac{1}{2} - c_2 b_{21} \right) + O(h^2)$$

$\Rightarrow$  wähle  $c_1 + c_2 = 1$ ,  $c_2 b_{21} = \frac{1}{2}$ ,  $c_1 a_1 + c_2 a_2 = \frac{1}{2} \Rightarrow$  Verfahren ist konsistent von Ordnung 2.

$a_2 = \frac{1}{2}, a_1 = 0 \Rightarrow y_{k+1} = y_k + h f(t_k + \frac{1}{2}, y_k + \frac{1}{2} f(t_k, y_k))$  „modifiziertes Eulerverfahren“

$a_2 = 1, a_1 = 0 \Rightarrow y_{k+1} = y_k + \frac{h}{2} [f(t_k, y_k) + f(t_k + h, y_k + h f(t_k, y_k))]$  „verbessertes Eulerverfahren“

Thm: (Runge-Kutta-Verfahren) · Das Runge-Kutta-Verfahren ist stabil.

· Ist  $f \in C^1$  und  $\sum_{r=1}^R c_r = 1$ , so ist das Verfahren konsistent von Ordnung  $\geq 1$ .

· Ist zusätzlich  $f \in C^2$ ,  $\sum_{r=1}^R c_r \sum_{s=1}^R b_{rs} = \frac{1}{2}$ ,  $\sum_{r=1}^R a_r c_r = \frac{1}{2}$ , so ist das Verfahren konsistent von Ordnung  $\geq 2$ .

(Für explizite Verfahren setzen wir  $b_{rs} = 0 \forall s \geq r$ .)

· Es gibt kein zweistufiges explizites Verfahren der Konsistenzordnung  $\geq 3$ .

Bew:  $\varphi(t, y, h)$  ist Summe und Komposition von  $f$ , welches Lipschitz-stetig in  $y$  ist  $\Rightarrow$  auch  $\varphi$  ist dies

$$\tau_k = \frac{y(t_{k+1}) - y(t_k)}{h} - \sum_{r=1}^R c_r f(t_k + a_r h, y_k + h \sum_{s=1}^R b_{rs} k_s)$$

$$= y'(t_k) + \frac{h}{2} y''(t_k) + O(h^3) - \sum_{r=1}^R c_r \left[ f(t_k, y_k) + h \{ a_r \partial_t f + \partial_y f \sum_{s=1}^R b_{rs} k_s \}_{t_k, y_k} + O(h^2) \right]$$

$$\sum c_r = 1 \Rightarrow h \left[ \frac{y''(t_k)}{2} - \sum_{r=1}^R c_r \{ a_r \partial_t f + \partial_y f \sum_{s=1}^R b_{rs} k_s \}_{t_k, y_k} \right] + O(h^2)$$

$$\tau_k = h \left[ \frac{y''(t_k)}{2} - \sum_{r=1}^R c_r \{ a_r \partial_t f + \partial_y f \sum_{s=1}^R b_{rs} (f + O(h)) \}_{t_k, y_k} \right] + O(h^2)$$

$$\sum c_r a_r = \frac{1}{2} \Rightarrow h \left[ \frac{y''(t_k)}{2} - \frac{1}{2} \{ \partial_t f + f \partial_y^2 f \}_{t_k, y_k} + O(h) \right] + O(h^2) = O(h^2)$$

$\sum c_r \sum b_{rs} = \frac{1}{2} \Rightarrow$  Der Einfachheit halber sei (AWP) autonom, d.h.  $f$  hängt nur von  $y$  ab.

$$\tau_k = \frac{y(t_{k+1}) - y(t_k)}{h} - c_1 f(y(t_k)) - c_2 f(y(t_k) + b_{21} h f(y(t_k)))$$

$$= y'(t_k) + \frac{h}{2} y''(t_k) + \frac{h^2}{6} y'''(t_k) + O(h^3) - c_1 y'(t_k) - c_2 \left[ f + b_{21} h f f' + \frac{b_{21}^2 h^2}{2} f^2 f'' + O(h^3) \right]_{y=y(t_k)}$$

$$= h^2 \left[ \frac{y'''}{6} - \frac{c_2}{2} b_{21}^2 f^2(y) f''(y) \right]_{t_k} + O(h^3),$$

$$\text{jedoch ist } y'''(t) = \frac{d^3}{dt^3} f(y(t)) = \frac{d}{dt} [f'(y(t)) f(y(t))] = f'(y(t))^2 f(y(t)) + f(y(t))^2 f''(y(t)) \quad \square$$

Bem: · Die Konsistenzordnung eines expliziten  $R$ -stufigen Runge-Kutta-Verfahrens ist  $\leq R$ , z.B. ist die

maximal mögliche Konsistenzordnung eines 5-stufigen Verfahrens 4.

· Sind die Stützstellen  $a_i$  und Gewichte  $c_i$  der Gauß-Quadratur gewählt, so gibt es  $b_{ij}$ , so dass das implizite  $R$ -stufige Verfahren Konsistenzordnung  $2R$  hat.

· Runge-Kutta-Verfahren werden typischerweise per Butcher-Diagramm dargestellt:

$$\begin{array}{c|ccc} a_i & b_{i1} & \dots & b_{iR} \\ \hline a_R & b_{R1} & \dots & b_{RR} \\ \hline & c_1 & \dots & c_R \end{array}$$

- Bsp:
- explizites Euler-Verfahren  $\begin{array}{c|c} 0 & \\ \hline & 1 \end{array}$
  - implizites Euler-Verfahren  $\begin{array}{c|c} 1 & 1 \\ \hline & 1 \end{array}$
  - modifiziertes Euler-Verfahren  $\begin{array}{c|c} 0 & \\ \hline 1/2 & 1/2 \\ \hline & 0 \quad 1 \end{array}$
  - verbessertes Euler-Verfahren  $\begin{array}{c|c} 0 & \\ \hline 1 & 1 \\ \hline & 1/2 \quad 1/2 \end{array}$
  - 4. Ordnung Runge-Kutta-Verfahren

$$\begin{array}{c|c} 0 & \\ \hline 1/2 & 1/2 \\ \hline 1/2 & 1/2 \\ \hline 1 & 1 \\ \hline & 1/6 \quad 1/3 \quad 1/3 \quad 1/6 \end{array}$$

Bem: Matlab & Octave implementieren mit ode45 das Dormand-Prince-Verfahren (siehe Wikipedia: Dormand-Prince-method). Dies sind zwei 7-stufige Runge-Kutta-Verfahren mit Konsistenzordnung 4 bzw. 5, die sich nur in den  $c_i$  unterscheiden und somit die gleichen Funktionsauswertungen brauchen. Die Differenz beider Methoden liefert eine Fehlerschätzung für das 4.-Ordnung-Verfahren und kann somit genutzt werden, um die Schrittweite  $h$  adaptiv (d.h. so, dass eine vorgegebene Fehlerschranke nicht überschritten wird) anzupassen.

## Lineare Mehrschrittverfahren

Einschrittverfahren haben den Nachteil, dass sie alle vorherigen Funktionsauswertungen wieder vergessen und eine Approximation an  $y_{k+1}$  nur aus  $y_k$  erhalten. Für hohe Konsistenzordnungen muss  $f$  in jedem Schritt häufig ausgewertet werden. Mehrschritt-Verfahren hingegen benutzen die alten Auswertungen weiter. Die Motivation stammt aus Polynominterpolation und Quadratur.

Bsp: Herleitung eines Mehrschritt-Verfahrens aus Polynominterpolation: „Rückwärts-Differentiationsformel“

Sei  $\sum_{i=0}^m y(t_{k+i}) l_i(t)$  das Interpolationspolynom zu  $y$  an den Stützstellen  $t_{k+1}, \dots, t_{k+m}$ .

Die Gleichung  $f(t_{k+l}, y_{k+l}) = y'(t_{k+l}) \approx \sum_{i=0}^m y(t_{k+i}) l_i'(t_{k+l})$  für  $l \in \{0, \dots, m\}$  liefert das Verfahren  $\sum_{i=0}^m \alpha_i y_{k+i} = f(t_{k+l}, y_{k+l})$  mit  $\alpha_i = l_i'(t_{k+l})$ , zu lösen für  $y_{k+m}$ .

• Herleitung eines Mehrschritt-Verfahrens aus Quadratur:

Sei  $I_m(g) = \sum_{i=0}^m \beta_i g(t_{k+i})$  eine Quadraturformel zu Stützstellen  $t_{k+1}, \dots, t_{k+m}$ .

Die Gleichung  $y(t_{k+m}) - y(t_k) = \int_{t_k}^{t_{k+m}} f(t, y(t)) dt \approx \sum_{i=0}^m \beta_i f(t_{k+i}, y(t_{k+i}))$  liefert das Verfahren  $y_{k+m} - y_k = \sum_{i=0}^m \beta_i f(t_{k+i}, y_{k+i})$ , zu lösen für  $y_{k+m}$ .

Bsp: Simpson-Regel:  $y_{k+2} - y_k \approx \int_{t_k}^{t_{k+2}} y(t) dt \approx \frac{h}{3} [f_k + 4f_{k+1} + f_{k+2}]$  ( $f_k = f(t_k, y_k)$ )

- Adams-Bashforth-Verfahren:  $y_{k+4} = y_{k+3} + \frac{h}{24} [55f_{k+3} - 59f_{k+2} + 37f_{k+1} - 9f_k]$
- Adams-Moulton-Verfahren:  $y_{k+4} = y_{k+3} + \frac{h}{24} [9f_{k+4} + 19f_{k+3} - 5f_{k+2} - 9f_{k+1}]$



Def: (Lineares Mehrschritt-Verfahren) Sei die Schrittweite konstant,  $h_k = h \forall k$ . Ein Verfahren der Form

$$\sum_{i=0}^m \alpha_i y_{k+i} = h \sum_{i=0}^m \beta_i f(t_{k+i}, y_{k+i}), \quad \alpha_m \neq 0,$$

zu lösen für  $y_{k+m}$ , heißt lineares m-Schritt-Verfahren (implizit für  $\beta_m \neq 0$ , explizit für  $\beta_m = 0$ ).

Bem: Oft werden lineare Mehrschritt-Verfahren in Paaren als Prädiktor-Korrektor-Verfahren genutzt:

Ein explizites Verfahren ist der Prädiktor und liefert einen guten, einfach zu berechnenden Startwert für eine Fixpunkt-Iteration für den Korrektor, ein implizites Verfahren.

Das Verfahren kann geschrieben werden als  $y_{k+1} = y_k + h \varphi(t_0, \dots, t_{k+1}, y_0, \dots, y_{k+1}, h)$  für

$$\varphi(\dots) = \sum_{i=0}^m \beta_i f(t_{k+i}, y_{k+i}) + \frac{1}{h} \left[ y_{k+1} - y_k - \sum_{i=0}^m \alpha_i y_{k+i} \right], \text{ der } \underline{\text{Abschneidefehler}}$$

wird daher oft eingeführt als

$$\tau_{k+m-1} = \frac{1}{h} \sum_{i=0}^m \alpha_i y(t_{k+i}) - \sum_{i=0}^m \beta_i \overbrace{f(t_{k+i}, y(t_{k+i}))}^{y'(t_{k+i})}.$$

Thm: (Konsistenz) Sei  $C_0 = \sum_{j=0}^m \alpha_j$ ,  $C_1 = \sum_{j=1}^m j \alpha_j - \sum_{j=0}^m \beta_j$ ,  $C_q = \sum_{j=q}^m \frac{j^q}{q!} \alpha_j - \sum_{j=q}^m \frac{j^{q-1}}{(q-1)!} \beta_j \quad \forall q > 1$ .

Das m-Schritt-Verfahren ist konsistent von Ordnung p, wenn  $C_0 = \dots = C_p = 0$ .

Bew: Sei  $y \in C^{p+1}$ , Taylor liefert  $y(t_{k+i}) = \sum_{j=0}^p \frac{y^{(j)}(t_k)}{j!} (ih)^j + O(h^{p+1})$   
 $\Rightarrow \tau_{k+m-1} = \sum_{i=0}^m \frac{\alpha_i y(t_{k+i}) - h \beta_i y'(t_{k+i})}{h} = \sum_{i=0}^m \frac{\alpha_i \sum_{j=0}^p \frac{y^{(j)}(t_k)}{j!} (ih)^j - h \beta_i \sum_{j=0}^p \frac{y^{(j+1)}(t_k)}{j!} (ih)^j}{h}$   
 $= y(t_k) \left[ \sum_{i=0}^m \alpha_i \right] / h + y'(t_k) \left[ \sum_{i=0}^m i \alpha_i - \sum_{i=0}^m \beta_i \right] + \sum_{j=2}^p y^{(j)}(t_k) \left[ \sum_{i=0}^m \alpha_i \frac{i^j}{j!} - \sum_{i=0}^m \beta_i \frac{i^{j-1}}{(j-1)!} \right] h^{j-1} + O(h^p)$   
 $= \sum_{j=0}^p C_j y^{(j)}(t_k) h^{j-1} + O(h^p) \quad \square$

## Stabilität linearer Mehrschrittverfahren

Im Unterschied zu Einschrittverfahren sind bei Mehrschritt-Verfahren die ersten m Werte  $y_0, \dots, y_{m-1}$  Eingabedaten (auch wenn  $y_0, \dots, y_{m-1}$  in Wirklichkeit berechnet werden, jedoch durch ein anderes Verfahren). Daher definiert man Stabilität für Mehrschritt-Verfahren wie folgt (der Begriff „Nullstabilität“ kommt daher, dass es ausreicht wird, die Differentialgleichung  $y' = 0$  zu betrachten).

Def: (Nullstabilität) Ein lineares m-Schritt-Verfahren  $y_{k+m} = y_k + h \varphi(t_k, y_{k-m+1}, \dots, y_k, y_{k+1}, h)$  zur numerischen Lösung einer Differentialgleichung auf  $[a, b]$  mit Schrittweite h heißt (asymptotisch) stabil oder nullstabil wenn  $K, h_0 > 0$  existieren, so dass für jede Lösung  $u_k, k = 0, \dots, N_n = \frac{b-a}{h}$ , mit  $h < h_0$  und jede durch Rundung und Eingabefehler gestörte Lösung  $v_k$  gilt

$$\max_{k=0, \dots, N_n} \|v_k - u_k\| \leq K \max_{k=0, \dots, N_n} \|F_k\|,$$

wobei  $F_k$  der Rundungsfehler ist:  $F_k = \begin{cases} v_k - u_k, & k < m \\ \frac{v_k - u_k}{h} - \varphi(t_k, v_{k-m+1}, \dots, v_k, v_{k+1}, h) \end{cases}$

Bem: Wie immer hat dies die Interpretation, dass akkumulierte Rundungsfehler nicht größer als der unvermeidbare Fehler sein sollen; dieser ist const. (Anfangswertfehler + Funktionswertfehler).

Bsp: Betrachte das 2-Schritt-Verfahren  $y_{k+2} + 4y_{k+1} - 5y_k = h(4f(t_{k+1}, y_{k+1}) + 2f(t_k, y_k))$ ;  
 es hat Konsistenzordnung 3 (Hausaufgabe).

```
f = @(t,y) 0; oder 1
for h = logspace(-1, -1.5, 3)
    t = 0:h:1;
    n = length(t);
    y = zeros(1,n);
    y(2) = eps; oder t(2)
    for k = 3:n
        y(k) = 5*y(k-2) - 4*y(k-1) + h*( 2*f(t(k-2), y(k-2)) + 4*f(t(k-1), y(k-1)) );
    end;
    plot(t,y, 'Linewidth', 3); hold on; pause;
end;
```

Rundungsfehler in Anfangswerten oder Rechenschritten werden erheblich verstärkt  
 (mit kleineren  $h$  immer mehr)  $\Rightarrow$  das Verfahren ist weder stabil noch konvergent!

Es gibt ein einfaches Kriterium, Nullstabilität von Mehrschritt-Verfahren zu prüfen.

Def: (charakteristisches Polynom) Das erste und zweite charakteristische Polynom eines Mehrschritt-Verfahrens  $\sum_{i=0}^m \alpha_i y_{k+i} = h \sum_{i=0}^m \beta_i f(t_{k+i}, y_{k+i})$  sind gegeben durch  

$$p(x) = \sum_{j=0}^m \alpha_j x^j \quad \& \quad z(x) = \sum_{j=0}^m \beta_j x^j.$$

Thm: (Wurzelbedingung von Dahlquist) Ein lineares Mehrschritt-Verfahren ist nullstabil für alle (AWP) mit Lipschitz-stetigem  $f$ , genau dann, wenn alle Nullstellen des ersten charakteristischen Polynoms  $p$  im komplexen Einheitskreis liegen, wobei Nullstellen auf dem Rand einfach sein müssen.

Bsp: Obiges 2-Schritt-Verfahren hat  $p(x) = x^2 + 4x - 5$  mit Nullstellen  $\{-5, 1\} \Rightarrow$  instabil  
 Der Beweis erfordert eine Einführung in Differenzgleichungen.

Def: (Differenzgleichung) Die lineare Differenzgleichung zu den Koeffizienten  $\alpha_0, \dots, \alpha_m \in \mathbb{R}, \alpha_m \neq 0$ , und der Folge  $l_k, k=0, 1, 2, \dots$ , ist  $\sum_{i=0}^m \alpha_i y_{k+i} = l_k$ . (\*)  
 Für  $(l_k) \neq 0$  heißt sie inhomogen, für  $(l_k) = 0$  homogen.

Thm: 1) Die Menge aller Lösungen  $(y_k)$  von (\*) mit  $(l_k) = 0$  ist ein  $m$ -dimensionaler Vektorraum  
 2) Alle Lösungen von (\*) haben die Form  $y = \sum_{k=0}^{\infty} l_k v^k + \sum_{k=0}^{m-1} y_k w^k$ , wobei  
 •  $w^k$  die Lösung der homogenen Gleichung mit Anfangswerten  $w_i^k = \delta_{ik}, i=0, \dots, m-1$ , ist,  
 •  $v^k = \begin{pmatrix} 0_1 \dots 0_{(k+1)\text{-mal}} \\ \frac{1}{\alpha_m} w^{m-1} \end{pmatrix}$ .  
 3)  $y_k$  löst die homogene Gleichung  $\Leftrightarrow y_k = \sum_{j=0}^r q_j(k) \lambda_j^k$  für  $\lambda_0, \dots, \lambda_r$  die Nullstellen des charakteristischen Polynoms  $p$  mit Vielfachheiten  $m_0, \dots, m_r$  und  $q_j \in \mathbb{P}_{m_j-1}, j=0, \dots, r$ .

Bew: 1) Vektorraumeigenschaften sind klar. Wegen  $\alpha_m \neq 0$  ist eine Lösung eindeutig durch ihre Anfangswerte  $y_0, \dots, y_{m-1}$  bestimmt. Der Raum der Anfangswerte  $(y_0, \dots, y_{m-1})$  ist  $m$ -dimensional.

2)  $w^0, \dots, w^{m-1}$  bilden eine Basis zu 1), d.h. jede Lösung der homogenen Gleichung lässt sich schreiben als  $\sum_{k=0}^{m-1} a_k w^k$ ,  $a_k \in \mathbb{R}$ . Seien  $z_1, z_2$  zwei Lösungen von  $(*)$ , dann ist  $z_1 - z_2$  Lösung der homogenen Gleichung  $\Rightarrow$  jede Lösung von  $(*)$  ist von der Form  $z_1 + \sum_{k=0}^{m-1} a_k w^k$  für eine spezielle Lösung  $z_1$  und  $a_0, \dots, a_{m-1} \in \mathbb{R}$ . Es ist nur noch zu zeigen, dass  $z_1 = \sum_{k=0}^{\infty} b_k v^k$  eine spezielle Lösung ist, dann folgt  $a_i = y_i$  wegen  $v_i^k = 0 \forall i < m$ .  $z_1$  ist wohldefiniert, da  $(z_1)_j = \sum_{k=0}^{\infty} b_k v_j^k = \sum_{k=0}^{j-m} b_k v_j^k$  für alle  $j$  nur endlich viele Summanden enthält.

Außerdem ist  $\sum_{j=0}^m \alpha_j (z_1)_{k+j} = \sum_{k=0}^{\infty} b_k \sum_{j=0}^m \alpha_j v_{k+j}^k = b_k$ , da  $\sum_{j=0}^m \alpha_j v_{k+j}^k = \begin{cases} 0, & k < k \\ \frac{1}{\alpha_m} \sum_{j=0}^m \alpha_j w_{k-k-1+j}^{m-1}, & \text{sonst} \end{cases}$  und  $\sum_{j=0}^m \alpha_j w_{k-k-1+j}^{m-1} = \begin{cases} 0, & k < k \\ \alpha_m, & k = k \end{cases}$ .

3) Idee: Sei  $y_k = \lambda_j^k$ , dann ist  $\sum_{i=0}^m \alpha_i y_{k+i} = \lambda_j^k \sum_{i=0}^m \alpha_i \lambda_j^i = 0$ , also  $y_k$  eine Lösung.

Sei  $y_k$  eine Lösung und  $\bar{Y}_k := \begin{pmatrix} y_k \\ y_{k+1} \\ \vdots \\ y_{k+m-1} \end{pmatrix}$ , dann erfüllt  $\bar{Y}_k$

$$\bar{Y}_{k+1} = A \bar{Y}_k \quad \text{für}$$

siehe numerische lineare Algebra

$$A = \begin{pmatrix} 0 & 1 & & & \\ & 0 & 1 & & \\ & & \ddots & \ddots & \\ & & & 0 & 1 \\ -\frac{\alpha_0}{\alpha_m} & -\frac{\alpha_1}{\alpha_m} & \dots & & -\frac{\alpha_{m-1}}{\alpha_m} \end{pmatrix}$$

Es ist  $p(x) = \alpha_m \chi_A(x)$  für das charakteristische Polynom von  $A$ ; insbesondere sind  $\lambda_1, \dots, \lambda_r$  die Eigenwerte von  $A$ . Sei  $f = X^{-1} A X$  die Jordan-Normalform von  $A$ , dann ist

$$\bar{Y}_k = A^k \bar{Y}_0 = X f^k X^{-1} \bar{Y}_0. \quad \text{Da zu jedem } \lambda_i \text{ nur ein Eigenvektor (bis auf ein Vielfaches)}$$

existiert (Hausaufgabe), hat  $f$  die Form

$$f = \begin{pmatrix} f_1 & & \\ & \ddots & \\ & & f_r \end{pmatrix} \quad \text{mit Blöcken } f_i = \lambda_i I + N_i \in \mathbb{R}^{m_i \times m_i}, \quad N_i = \begin{pmatrix} 0 & 1 & & \\ & \ddots & \ddots & \\ & & 0 & 1 \end{pmatrix}.$$

$$\text{Somit ist } f^k = \begin{pmatrix} f_1^k & & \\ & \ddots & \\ & & f_r^k \end{pmatrix} \quad \text{mit } f_i^k = (\lambda_i I + N_i)^k = \sum_{j=0}^{m_i-1} \binom{k}{j} N_i^j \lambda_i^{k-j} = \sum_{j=0}^{m_i-1} p_j^i(k) N_i^j \lambda_i^k,$$

wobei  $p_j^i(k) = \lambda_i^j \binom{k}{j} = \lambda_i^j \frac{k(k-1)\dots(k-j+1)}{j!} \in \mathbb{P}_j \subset \mathbb{P}_{m_i-1}$  ist. Folglich sind die Einträge von  $f^k$

Linearkombinationen aus Termen der Form  $p^i(k) \lambda_i^k$ ,  $i=1, \dots, r$ ,  $p^i \in \mathbb{P}_{m_i-1}$

$\Rightarrow$  auch  $y_k = (\bar{Y}_k)_0$  ist eine Linearkombination dieser Terme, d.h.  $y_k = \sum_{i=1}^r q_i(k) \lambda_i^k$ ,  $q_i \in \mathbb{P}_{m_i-1}$ .

Dass alle Folgen der Form  $y_k = \sum_{i=1}^r q_i(k) \lambda_i^k$  auch wirklich Lösungen sind, folgt daraus,

dass die Dimension des Vektorraums aller Lösungen dieser Form genau  $m_1 + \dots + m_r = m$  ist,

also mit der Dimension des Lösungsraums übereinstimmt.  $\square$

Bew: (Wurzelbedingung) Notwendigkeit: Betrachte  $y'(t)=0, y(0)=0$  auf  $[0,1]$ . Das  $m$ -Schritt-Verfahren

läuft  $\sum_{i=0}^m \alpha_i y_{k+i} = 0$ . Sei  $\lambda$  eine Nullstelle von  $p$  mit  $|\lambda| > 1$ . Betrachte die Lösung  $u_k = 0$

und die gestörte Lösung  $v_k = \varepsilon \lambda^{k-m}$  mit Anfangswert-Rundungsfehler  $|F_k| = |v_k - u_k| \leq \varepsilon, k=0, \dots, m-1$ .

Für Schrittweite  $h$  sei  $N_h = \lfloor \frac{1}{h} \rfloor$  und  $u_{N_h}$  bzw.  $v_{N_h}$  die Approximation an  $y(1)$ , dann gilt

$|u_{N_h} - v_{N_h}| = \varepsilon \lambda^{N_h - m} \xrightarrow{h \rightarrow 0} \infty \Rightarrow$  das Verfahren ist instabil. Ist  $\lambda$  eine Nullstelle mit

$|\lambda| = 1$  und Vielfachheit  $\geq 2$ , wiederhole das Argument für  $v_k = \varepsilon \frac{k}{m} \lambda^k$ .

Hinlänglichkeit: Das  $m$ -Schritt-Verfahren sei  $\sum_{i=0}^m \alpha_i y_{k+i} = h \sum_{i=0}^m \beta_i f(t_{k+i}, y_{k+i}) =: h \Psi(t_k, y_k, \dots, y_{k+m}, h)$ .

Sei  $u_k$  eine Lösung und  $v_k$  eine gestörte Lösung, setze  $e_k = v_k - u_k$ . Es gilt

$$e_k = F_k, k=0, \dots, m-1, \quad \sum_{i=0}^m \alpha_i e_{k+i} = h \left[ \Psi(t_k, v_k, \dots, v_{k+m}, h) + F_{k+m} - \Psi(t_k, u_k, \dots, u_{k+m}, h) \right] =: h e_k \quad \forall k.$$

Sei  $L$  die Lipschitz-Konstante von  $f$ , dann ist  $\Psi$  Lipschitz in  $(y_k, \dots, y_{k+m})$  mit Konstante  $L = \sum_{i=0}^m |\beta_i|$ .

$$\Rightarrow \|e_k\| \leq \|F_{k+m}\| + L \overbrace{\max_{j=q, \dots, m} \|e_{k+j}\|}^{=: \delta_k}$$

$(e_k)$  kann geschrieben werden als  $e = \sum_{k=0}^{\infty} h^k \omega^k v^k + \sum_{k=0}^{m-1} e_k \omega^k$ , wobei die  $\omega^k$  und somit

auch  $v^k$  wegen der Wurzelbedingung beschränkt sind,  $|v_j^k|, |\omega_j^k| \leq M \quad \forall j, k$  (in der Tat hat

$\omega^k$  die Form  $\omega_i^k = \sum_{j=1}^r q_j(\ell) \lambda_j^k$  für  $q_j$  Polynome und  $\lambda_j$  Nullstellen von  $p$ ; dies ist beschränkt).

$$\Rightarrow \|e\| = \left\| \sum_{k=0}^{\infty} h^k \omega^k v^k + \sum_{k=0}^{m-1} e_k \omega^k \right\| \leq h M \sum_{k=0}^{\infty} (\|F_{k+m}\| + L \delta_k) + M \sum_{k=0}^{m-1} \|F_k\|$$

$$\leq M \|F\|_{\infty} [m + h(L-m+1)] + h M L \sum_{k=0}^{\infty} \delta_k \quad \text{für } \|F\|_{\infty} = \max_{k=0, \dots, N_h} \|F_k\|$$

$$\Rightarrow \delta_e \leq \max_{j=q, \dots, m} \left[ M \|F\|_{\infty} [m + h(L+j-m+1)] + h M L \sum_{k=0}^{L-m+j} \delta_k \right] = M \|F\|_{\infty} [m + h(L+1)] + h M L \sum_{k=0}^L \delta_k$$

$$\Leftrightarrow \delta_e (1 - h M L) \leq M \|F\|_{\infty} [m + h(L+1)] + h M L \sum_{k=0}^{L-1} \delta_k$$

Wähle nun  $h_0 = \frac{1}{2ML}$ , somit  $\delta_e \leq 2M \|F\|_{\infty} \underbrace{[m + h(L+1)]}_{\leq L-a} + h 2ML \sum_{k=0}^L \delta_k$ . Hieraus folgt mittels

vollständiger Induktion analog zum diskreten Gronwall-Lemma (Hausaufgabe)

$$\delta_e \leq 2M [m + L - a] e^{L h 2ML} \|F\|_{\infty}$$

$$\text{und somit } \|e_k\| \leq \delta_k \leq 2M [m + L - a] e^{2hL(L-a)} \|F\|_{\infty} \quad \forall k. \quad \square$$

Bem: • Einschrittverfahren haben  $p(x) = x - 1$  und sind somit stabil.

• Aus Quadratur hergeleitete  $m$ -Schritt-Verfahren haben  $p(x) = x^m - 1$  und sind somit stabil.

### Konvergenz linearer Mehrschrittverfahren

Wieder gilt „Stabilität + Konsistenz = Konvergenz“.

Thm: (Konvergenz) Ein stabiles und  $p$ -Ordnung konsistentes lineares Mehrschrittverfahren ist  $p$ -Ordnung

konvergent für alle  $p$ -Ordnung konsistente Anfangswerte  $y_0, \dots, y_{m-1}$

(d. h. Werte mit  $\|y_i - y(t_i)\| = O(h^p), i=0, \dots, m-1$ ).

Bew: Sei  $u_k$  die Mehrschrittlösung mit Anfangswerten  $u_k = y_k, k=0, \dots, m-1$ , und  $v_k = y(t_k)$ .

Fasse  $v_k$  als Störung von  $u_k$  auf, dann gilt

$$\|e_k\| = \|u_k - y(t_k)\| = \|u_k - v_k\| \leq K \max_k \|F_k\| = K \max_k \|\tau_k\| = O(h^p). \quad \square$$

Bem: Es gibt konsistente Mehrschritt-Verfahren, die unabhängig von der Differentialgleichung sind (Hausaufgabe). Diese sind natürlich nicht konvergent und somit nicht stabil.

Welche Konvergenzordnung (= Konsistenzordnung) kann ein lineares  $m$ -Schritt-Verfahren haben? Für  $p$ . Ordnung erhalten wir die  $p+1$  Bedingungen  $C_0 = \dots = C_p = 0$  für  $C_0 = \sum_{i=0}^m \alpha_i = \rho(1), C_1 = \sum_{i=0}^m (i\alpha_i - \beta_i) = \rho'(1) - b(1), C_q = \sum_{j=1}^m \frac{j^q}{q!} \alpha_j - \sum_{j=1}^m \frac{j^{q-1}}{(q-1)!} \beta_j$ . Dies sind  $p+1$  lineare Bedingungen für die  $2m+1$  zu wählenden Koeffizienten  $\alpha_0, \dots, \alpha_{m-1}, \beta_0, \dots, \beta_m$  ( $\alpha_m$  kann zu 1 normiert werden) für implizite bzw. die  $2m$  Koeffizienten  $\alpha_0, \dots, \alpha_{m-1}, \beta_0, \dots, \beta_{m-1}$  für explizite Verfahren. Somit ist maximal erreichbare Konsistenzordnung  $p=2m$  für implizite und  $p=2m-1$  für explizite Verfahren - wir werden jedoch sehen, dass stabile Verfahren nur eine geringere Ordnung erreichen.

Thm: Ein lineares  $m$ -Schritt-Verfahren hat Konsistenzordnung  $p$  genau dann, wenn  $\Phi: \mathbb{C} \rightarrow \mathbb{C},$

$$\Phi(z) = \frac{\rho(z)}{\log(z)} - b(z) \text{ in } z=1 \text{ eine } p\text{-fache Nullstelle hat.}$$

$z=e^h$  ist um  $h=0$  eine bijektive holomorphe Abbildung

Bew:  $\Phi$  hat  $p$ -fache Nullstelle in  $z=1 \iff \Phi(e^h) = \frac{1}{h} [\rho(e^h) - hb(e^h)]$  hat in  $h=0$  eine  $p$ -fache Nullstelle

$$\iff g(h) = h\Phi(e^h) = \sum_{i=0}^m (\alpha_i - h\beta_i) e^{ih} \text{ hat in } h=0 \text{ } (p+1)\text{-fache Nullstelle}$$

$$\iff \underbrace{g(0)}_{C_0} = \underbrace{g'(0)}_{C_1} = \dots = \underbrace{g^{(p)}(0)}_{p!C_p} = 0 \quad \square$$

Das folgende Korollar zeigt, wie für vorgegebene  $\alpha_0, \dots, \alpha_m$  (bzw. äquivalenterweise  $\rho$ ) die bzgl. der Konsistenz optimalen  $\beta_i$  (bzw.  $b$ ) berechnet werden (natürlich können wir dies bereits mittels Taylorentwicklung).

Thm: Sei  $\rho \in P_m$  mit  $\rho(1)=0$  und  $0 \leq u \leq m$ . Es gibt ein eindeutiges Polynom  $b \in P_u$ , für das das zugehörige  $m$ -Schritt-Verfahren Konsistenzordnung  $\geq u+1$  hat. Es sind  $b(z) = \sum_{i=0}^u c_i (z-1)^i$  die ersten  $u+1$  Terme der Taylorentwicklung von  $\frac{\rho(z)}{\log z}$ .

Bew:  $\frac{\rho(z)}{\log z}$  ist holomorph um  $z=1$  und hat somit eine Taylorentwicklung  $\sum_{i=0}^u c_i (z-1)^i + O((z-1)^{u+1})$

$$\implies \Phi(z) = \frac{\rho(z)}{\log z} - b(z) = \sum_{i=0}^u c_i (z-1)^i - b(z) + O((z-1)^{u+1}) \text{ hat genau dann eine } (u+1)\text{-fache}$$

$$\text{Nullstelle in } z=1, \text{ wenn } b(z) = \sum_{i=0}^u c_i (z-1)^i. \quad \square$$

Bsp: Ein 2-Schritt-Verfahren mit  $p(z) = (z-1)(z-\lambda)$  ist stabil für  $\lambda \in [-1, 1)$ , und es ist

$$\frac{p(z)}{\log z} = \frac{(z-1)(1-\lambda+(z-1))}{\log(1+(z-1))} = 1-\lambda + \frac{2-\lambda}{2}(z-1) + \frac{5+\lambda}{12}(z-1)^2 - \frac{1+\lambda}{24}(z-1)^3 + O((z-1)^4)$$

$\Rightarrow$  maximale Konsistenzordnung wird erreicht für  $\delta(z) = 1-\lambda + \frac{2-\lambda}{2}(z-1) + \frac{5+\lambda}{12}(z-1)^2 = -\frac{1+\lambda}{12} + \frac{2-2\lambda}{3}z + \frac{5+\lambda}{12}z^2$

Für  $\lambda \in (-1, 1)$  ergibt sich 3. Ordnung, für  $\lambda = -1$  das Simpson-Regel-Verfahren mit 4. Ordnung,

$$Y_{k+2} - Y_k = \frac{h^4}{3} (f_{k+2} + 4f_{k+1} + f_k).$$

Thm: (1. Dahlquistbarriere) Ein stabiles lineares  $m$ -Schritt-Verfahren hat höchstens Konsistenzordnung

- $m+2$ , falls  $m$  gerade,
- $m+1$ , falls  $m$  ungerade ist.

Bew:  $T: \mathbb{C} \rightarrow \mathbb{C}$ ,  $T(\zeta) = \frac{\zeta-1}{\zeta+1}$  bildet den komplexen Einheitsball  $B = \{\zeta \in \mathbb{C} \mid |\zeta| \leq 1\}$  auf die linke

Halbebene  $H = \{z \in \mathbb{C} \mid \operatorname{Re} z \leq 0\}$  ab und hat dort Inverse  $T^{-1}(z) = \frac{1+z}{1-z}$ .

•  $r(z) = \left(\frac{1-z}{2}\right)^m p\left(\frac{1+z}{1-z}\right)$ ,  $s(z) = \left(\frac{1-z}{2}\right)^m z \left(\frac{1+z}{1-z}\right)$  erfüllen  $r, s \in P_m$

• Verfahren ist stabil  $\Rightarrow \zeta = -1$  ist einfache Nullstelle von  $p \Rightarrow z = 0$  ist einfache Nullstelle von  $r$

$\Rightarrow r(z) = a_0 z + a_2 z^2 + \dots + a_m z^m$ ,  $a_0 \neq 0$ ; o.B.d.A nehmen wir  $a_0 > 0$  an

• Verfahren ist stabil  $\Rightarrow$  Nullstellen von  $p$  liegen in  $B \Rightarrow$  Nullstellen  $z_i$  von  $r$  liegen in  $H$

$\Rightarrow r(z) = c_0 z (z-z_1) \dots (z-z_m) = a_0 z + a_2 z^2 + \dots + a_m z^m$  hat  $a_1, a_2, \dots, a_m \geq 0$

• Verfahren ist konsistent von Ordnung  $p \geq m \Rightarrow \phi$  hat  $p$ -fache Nullstelle in  $\zeta = 1$

$\Rightarrow q(z) = \left(\frac{1-z}{2}\right)^m \phi\left(\frac{1+z}{1-z}\right) = \frac{1}{\log \frac{1+z}{1-z}} r(z) - s(z)$  hat  $p$ -fache Nullstelle in  $z=0$

$\Rightarrow$  die ersten  $p$  Terme der Taylorentwicklung  $\frac{z}{\log \frac{1+z}{1-z}} \frac{r(z)}{z} = k_0 + k_1 z + k_2 z^2 + \dots$  stimmen mit  $s$  überein

$\Rightarrow$  da  $p \geq m$  aber  $s \in P_m$  muss gelten  $k_i = 0$  für  $i = m+1, \dots, p-1$

• Die Taylorentwicklung von  $\frac{z}{\log \frac{1+z}{1-z}}$  ist von der Form  $c_0 + c_2 z^2 + c_4 z^4 + \dots$  mit  $c_2, c_4, c_6, \dots < 0$

(die Funktion ist gerade, somit sind  $c_1 = c_3 = c_5 = \dots = 0$ )

(Hausaufgabe)

• Wir setzen  $a_i = 0$  für  $i > m$ , dann gilt  $k_0 = c_0 a_1$   
 $k_1 = c_0 a_2$   
 $\vdots$

$$\begin{aligned} k_{2i} &= c_0 a_{2i+1} + c_2 a_{2i-1} + \dots + c_{2i} a_1 \\ k_{2i+1} &= c_0 a_{2i+2} + c_2 a_{2i} + \dots + c_{2i+1} a_2 \end{aligned}, \quad i = 1, 2, \dots$$

• Für  $k \geq m$  gerade gilt  $k_k = c_0 a_{k+1} + c_2 a_{k-1} + \dots - c_k a_1 < 0$ , insbesondere ist  $k_k \neq 0$ .

$\Rightarrow \{m+1, \dots, p-1\}$  darf keine gerade Zahl enthalten  $\Rightarrow p \leq \begin{cases} m+2, & m \text{ gerade} \\ m+1, & m \text{ ungerade} \end{cases}$   $\square$

Bsp: Das Simpson-Regel-Verfahren hat höchstmögliche Konsistenzordnung.

## Absolute Stabilität & steife Probleme

Auch wenn ein Verfahren stabil und konvergent ist, kann die numerische Lösung manchmal unbefriedigend sein, insbesondere wenn qualitative Eigenschaften der exakten Lösung erst für unverhältnismäßig kleine Schrittweiten  $h$  korrekt reproduziert werden. Ein besonders wichtiges Beispiel für eine solche Eigenschaft ist die Tatsache (A), dass die Lösung von  $y'(t) = \lambda y(t)$ ,  $\operatorname{Re}(\lambda) < 0$ , betragsmäßig mit der Zeit abnimmt. Das Konzept der absoluten Stabilität untersucht, wann ein Verfahren diese Eigenschaft korrekt reproduziert.

```
% löse y'(t) = -20y(t) mittels Euler-Verfahren
for h = [.01 .05 .1 0.2]
    t = 0:h:1;
    y = ones(size(t));
    for k = 2:length(t)
        y(k) = y(k-1) - h*20*y(k-1);
    end
    plot(t,y,'Linewidth',3); hold on; pause;
end
```

Ein Verfahren  $y_{k+1} = y_k + h \varphi(t_k, y_0, \dots, y_{k+1}, h)$  für  $y'(t) = \lambda y(t)$  mit Schrittweite  $h$  kann auch aufgefasst werden als Verfahren für  $y'(t) = \tilde{\lambda} y(t)$ ,  $\tilde{\lambda} = \frac{\lambda}{\gamma}$ , mit Schrittweite  $\tilde{h} = h\gamma$ ; für das Eulerverfahren beispielsweise ist  $y_{k+1} = y_k + h\lambda y_k$  äquivalent zu  $y_{k+1} = y_k + \tilde{h}\tilde{\lambda} y_k$ . Daher spielt bei der Analyse nur das Produkt  $h\lambda$  eine Rolle.

Def: (absolute Stabilität) Das Gebiet der absoluten Stabilität eines numerischen Verfahrens ist

$$R_A = \left\{ h\lambda \in \mathbb{C} \mid \text{es gilt } |y_{k+1}| < |y_k| \forall k \text{ für die Lösung } y_k \text{ des Verfahrens zu } y'(t) = \lambda y(t) \text{ mit Schrittweite } h \right\}.$$

Das Verfahren heißt A-stabil, wenn  $R_A \supset \{z \in \mathbb{C} \mid \operatorname{Re}(z) < 0\}$  (d.h. (A) gilt für alle  $h$  &  $\operatorname{Re} \lambda < 0$ )

und A( $\alpha$ )-stabil, wenn  $R_A \supset \{z \in \mathbb{C} \mid \operatorname{Re}(z) < 0, \frac{\operatorname{Im}(z)}{\operatorname{Re}(z)} < \tan \alpha\}$ .



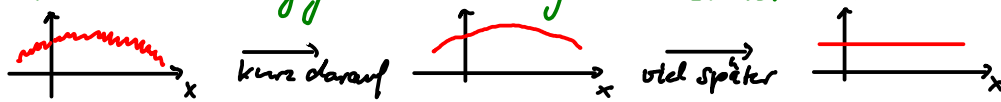
Warum ist A-Stabilität, also im Grunde eine Art Stabilität für alle  $h$ , wichtig? Sollte man nicht einfach  $h$  klein genug wählen, dass das Verfahren stabil ist? Dies verursacht bei steifen Problemen allerdings unverhältnismäßig großen Aufwand.

Def: (steifes Problem) Eine vektorwertige Differentialgleichung  $y'(t) = f(t, y(t))$  heißt stif, wenn die

Jakobimatrix  $J = Df$  an einer Stelle  $(\hat{t}, \hat{y})$  diagonalisierbar ist, ihre Eigenwerte  $\lambda_1, \dots, \lambda_r$   $\operatorname{Re}(\lambda_i) < 0$  erfüllen, und  $\operatorname{Re}(\lambda_j) \ll \operatorname{Re}(\lambda_\ell)$  für mindestens zwei Indizes  $j, \ell$ .

Bem.: In der Nähe von  $(\hat{t}, \hat{y})$  verhält sich die Differentialgleichung etwa wie ihre Linearisierung  $y'(t) = f(\hat{t}, \hat{y}) + J(y(t) - \hat{y})$ , bzw. nach der Variablentransformation  $\tilde{y}(t) = X^{-1}(y(\hat{t} + t) - \hat{y})$ , wobei  $J = X^{-1} \Lambda X$  die Diagonalisierung ist, wie  $\tilde{y}'(t) = b + \Lambda \tilde{y}(t)$  für  $b = X^{-1} f(\hat{t}, \hat{y})$ . Daher reicht es, die Eigenschaften stifer Systeme an linearen diagonalen Differentialgleichungen zu untersuchen.

- Man betrachtet nur  $\text{Re } \lambda_i < 0$ , da für  $\text{Re } \lambda_i > 0$  exponentielles Wachstum auftritt und die Schrittweite  $h$  für ausreichende Genauigkeit ohnehin sehr klein sein muss.
- $\text{Re}(\lambda_1) \ll \text{Re}(\lambda_2)$  bedeutet stark unterschiedliche Abklingzeiten. Dies taucht in vielen Systemen auf, z.B. werden bei der Wärmeleitung räumlich schnell oszillierende Inhomogenitäten schneller geglättet als langsam oszillierende.



Bsp.:  $\begin{pmatrix} y_1 \\ y_2 \end{pmatrix}'(t) = \begin{pmatrix} -100 & 0 \\ 1 & -2 \end{pmatrix} \begin{pmatrix} y_1 \\ y_2 \end{pmatrix}(t)$ ,  $\begin{pmatrix} y_1 \\ y_2 \end{pmatrix}(0) = \begin{pmatrix} \varepsilon \\ 1 \end{pmatrix}$ , hat die Lösung  $\begin{pmatrix} y_1 \\ y_2 \end{pmatrix}(t) = \begin{pmatrix} \varepsilon e^{-100t} \\ e^{-2t} + \frac{\varepsilon}{98} (e^{-2t} - e^{-100t}) \end{pmatrix}$ ,  $y_1$  klingt daher sehr viel schneller ab als  $y_2$ .

Ist  $\varepsilon = 10^{-6}$ , ist  $y_1$  praktisch vernachlässigbar, und die Differentialgleichung für  $y_2$  wird  $y_2' = -2y_2$ .

```
for h = [1e-4 1e-1] % für verschiedene Schrittweiten
    t = 0:h:1;
    n = length(t);
    y = zeros(2,n); % Lösung des Systems
    y2 = zeros(1,n); % Lösung für y2 unter Vernachlässigung von y1
    y(:,1) = [1e-6;1];
    y2(1) = 1;
    for k = 2:n % Eulerverfahren
        y(:,k) = y(:,k-1) + h*[-100 0;1 -2]*y(:,k-1);
        y2(k) = y2(k-1) - h*2*y2(k-1);
    end
    plot(t,y2,'b','Linewidth',3); hold on; pause;
    plot(t,y,'r','Linewidth',3); hold off; pause;
end
```

• Van der Pol-Oszillator  $y'' + \mu(y^2 - 1)y' + y = 0$ ,  $y(0) = 2$ ,  $y'(0) = 1$

$$\Leftrightarrow \begin{pmatrix} y_1 \\ y_2 \end{pmatrix}' = \begin{pmatrix} y_2 \\ \mu(1 - y_2^2)y_2 - y_1 \end{pmatrix}, \quad \begin{pmatrix} y_1 \\ y_2 \end{pmatrix}(0) = \begin{pmatrix} 2 \\ 1 \end{pmatrix}$$



```

h = .0201021698315;
t = 0:h:60;
n = length(t);
y = zeros(2,n);
y(:,1) = [2;1];
for mu = [0 1 2 5 10 20 50]
    mu
    for k = 2:n
        y(:,k) = y(:,k-1) + h*[y(2,k-1); mu*(1-y(1,k-1)^2)*y(2,k-1) - y(1,k-1)];
    end
    plot(t,y,'Linewidth',3); pause;
    if mu == 20
        axis([50 52 2 3]); pause;
    end
end
end

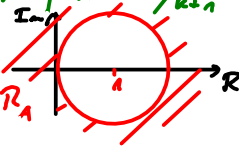
```

Die Beispiele zeigen: In Bereichen, wo eine Komponente fast verschwindet, können man auch mit sehr großem  $h$  eine gute Genauigkeit erzielen - die Schritte in der verschwindenden Komponente führen dann jedoch zu Instabilität! Bei A-stabilen Verfahren gibt es dieses Problem nicht - das Verfahren ist stabil für alle  $h$ !

Bsp: Das explizite Euler-Verfahren  $y_{k+1} = y_k + h f(t_k, y_k)$  angewandt auf  $y' = \lambda y$  liefert  $y_{k+1} = y_k (1 + h\lambda) = y_0 (1 + h\lambda)^{k+1}$ . Dies ist strikt monoton fallend genau dann, wenn  $\text{Re}(1 + h\lambda) < 1$

$\Rightarrow R_A = \{z \in \mathbb{C} \mid |z+1| < 1\}$    $\Rightarrow$  nicht A-stabil

Das implizite Euler-Verfahren liefert  $y_{k+1} = y_k + h\lambda y_{k+1}$ , also  $y_{k+1} = \frac{1}{1-h\lambda} y_k = \frac{1}{(1-h\lambda)^{k+1}} y_0$

$\Rightarrow R_A = \{z \in \mathbb{C} \mid |1-z| > 1\}$    $\Rightarrow$  A-stabil

Thm: 1) Ein  $m$ -stufiges Runge-Kutta-Verfahren angewandt auf  $y' = \lambda y$  liefert  $y_{k+1} = R(\lambda h) y_k$  für ein  $R \in P_m$  (explizites Verfahren) bzw. eine rationale Funktion  $R$  vom Typ  $(m, m)$ .

2) Ist das Verfahren konsistent der Ordnung  $p$ , gilt  $|R(z) - e^z| = |R(z) - \sum_{i=0}^{\infty} \frac{z^i}{i!}| = O(z^{p+1})$ .

3)  $R_A = \{z \in \mathbb{C} \mid |R(z)| < 1\}$

4) Kein explizites Runge-Kutta-Verfahren ist A-stabil oder A(0)-stabil.

Bew: 1) Hauptaufgabe

2) Betrachte  $y' = y, y(0) = 1$ . Das Verfahren ist konvergent von Ordnung  $p$ , somit ist

$$O(h^{p+1}) = h\tau_0 = y(h) - y(0) - h \underbrace{\varphi(t_0, y(0), y(h), h)}_0 = [y_1 - y_0 - h \varphi(t_0, y_0, y_1, h)]$$

$$= (y(h) - y_0) (1 + hL) = (e^h - R(h)) (1 + hL);$$

Lipshitz-Konstante von  $\varphi$

Da  $R$  und  $\exp$  um 0 herum holomorph sind, folgt die Behauptung für  $z \in \mathbb{C}$ .

3) trivial

4) Für jeden  $R \in P_m$  mit  $m > 0$  gilt  $\lim_{z \rightarrow \infty} |R(z)| = \infty \Rightarrow \{z \in \mathbb{C} \mid \text{Re}(z) < 0, \text{Im}(z) = 0\} \not\subset R_A. \quad \square$

Für Mehrschritt-Verfahren angewandt auf  $y' = \lambda y$  hängt die Monotonie der  $y_k$  von allen vorgegebenen Anfangswerten ab - daher wird die Definition der absoluten Stabilität hier oft angepasst. Wir wollen hier die strikte Monotonie  $|y_{k+1}| < |y_k|$  erst für  $k \geq K$  mit einem  $K > 0$  fordern.

Thm: (absolute Stabilität linearer Mehrschritt-Verfahren)  $\gamma \in \mathbb{C}$  liegt genau dann im absoluten Stabilitätsgebiet  $R_A$  eines linearen Mehrschritt-Verfahrens, wenn sein Stabilitätspolynom  $\pi(z; \gamma) = \rho(z) - \gamma \sigma(z)$  nur Nullstellen  $z \in \mathbb{C}$  mit  $|z| < 1$  besitzt.

Bew: Das Verfahren angewandt auf  $y' = \lambda y$  liefert  $\sum_{i=0}^m \alpha_i y_{k+i} = h \sum_{i=0}^m \beta_i \lambda y_{k+i}$ , also mit  $\gamma = h\lambda$   $\sum_{i=0}^m (\alpha_i - \gamma \beta_i) y_{k+i} = 0$ . Dies hat Lösungen der Form  $y_k = \sum_{j=1}^r p_j(k) \lambda_j^k$  für Nullstellen  $\lambda_1, \dots, \lambda_r$  des charakteristischen Polynoms  $\sum_{i=0}^m (\alpha_i - \gamma \beta_i) z^i = \rho(z) - \gamma \sigma(z)$  und Polynome  $p_j \in \mathbb{P}_{m_j-1}$ , wobei  $m_j$  die Vielfachheit von  $\lambda_j$  ist.  $\Rightarrow |y_k|$  ist genau dann strikt monoton fallend für  $k$  groß genug, wenn  $|\lambda_j| < 1 \quad \forall j$ . □

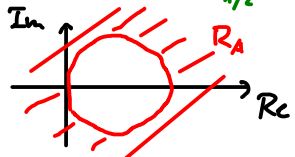
Thm: (2. Dahlquist-Barriere) kein explizites lineares Mehrschritt-Verfahren ist A- oder A(0)-stabil.

- A-stabile lineare Mehrschritt-Verfahren haben Konsistenzordnung  $\leq 2$ .
- Das einzige A(0)-stabile lineare m-Schritt-Verfahren mit Konsistenzordnung  $> m$  ist die

Trapezregel  $y_{k+1} - y_k = \frac{f(t_{k+1}, y_{k+1}) + f(t_{k+1}, y_k)}{2}$ .

Bsp: Die zweite Ordnung Rückwärts-Differenzen-Formel ist  $y_{k+2} - \frac{4}{3} y_{k+1} + \frac{1}{3} y_k = \frac{2}{3} h f(t_{k+2}, y_{k+2})$ .

$\pi(z; \gamma) = (1 - \frac{2}{3}\gamma)z^2 - \frac{4}{3}\gamma z + \frac{1}{3}\gamma$  hat Nullstellen  $z_{1/2} = \frac{2 \pm \sqrt{1+2\gamma}}{3-2\gamma} = \frac{1}{2 \pm \sqrt{1+2\gamma}}$   
 $\Rightarrow R_A = \{ \gamma \in \mathbb{C} \mid |2 \pm \sqrt{1+2\gamma}| > 1 \}$   $\Rightarrow$  A-stabil



Wir wollen noch eine Methode angeben, wie man das Gebiet der absoluten Stabilität eines Mehrschritt-Verfahrens ermitteln kann.

Def: (Schur-Polynom)  $\phi(z) = c_m z^m + \dots + c_1 z + c_0$ ,  $c_0 \neq 0, c_m \neq 0$ , heißt Schur-Polynom, wenn alle Nullstellen betragsmäßig kleiner 1 sind.

Thm: (Schur-Kriterium)  $\phi(z) = c_m z^m + \dots + c_1 z + c_0$  ist ein Schur-Polynom genau dann, wenn  $|\hat{\phi}(0)| > |\phi(0)|$  und  $\phi_n$  ein Schur-Polynom ist für  $\hat{\phi}(z) = \bar{c}_0 z^m + \dots + \bar{c}_{m-1} z + \bar{c}_m$  und  $\phi_1(z) = \frac{1}{z} [\hat{\phi}(0)\phi(z) - \phi(0)\hat{\phi}(z)] \in \mathbb{P}_{m-1}$ .  $\Rightarrow$  Schur-Kriterium reduziert Polynomgrad  $\rightarrow$  leichtere Nullstellenberechnung

Bsp:  $y_{k+2} - y_k = \frac{h}{2} (f(t_{k+1}, y_{k+1}) + 3 f(t_k, y_k))$  hat  $\pi(z; \gamma) = z^2 - \frac{\gamma}{2} z - (1 + \frac{\gamma}{2})$ .  
 $\Rightarrow \hat{\pi}(z; \gamma) = -(1 + \frac{\gamma}{2})z^2 - \frac{\gamma}{2}z + 1, |\hat{\pi}(0; \gamma)| = 1 > |1 + \frac{\gamma}{2}| = |\pi(0; \gamma)| \Leftrightarrow \gamma \in B = \{ \gamma \in \mathbb{C} \mid |\gamma - (-\frac{2}{3})| < \frac{2}{3} \}$   
 $\& \pi_1(z; \gamma) = \frac{1}{z} [z^2 - \frac{\gamma}{2}z - (1 + \frac{\gamma}{2}) + (1 + \frac{\gamma}{2})(z^2 - \frac{\gamma}{2}z + 1)] = -(\frac{\gamma + \bar{\gamma}}{2} + 3|\frac{\gamma}{2}|^2)(3z + 1)$  ist Schur  $\Rightarrow R_A = B$ .

# Extrapolation & Schrittweitensteuerung

heute: Adaptivität

Mit Hilfe von Richardson - Extrapolation kann die Konvergenzordnung eines Verfahrens erhöht werden:

Sei  $y_h(t)$  die diskrete Lösung eines Verfahrens mit Konvergenzordnung  $p$ ,  $y(t)$  die exakte Lösung, jeweils zur Zeit  $t$ . Hat der Diskretisierungsfehler eine Taylorentwicklung in der Schrittweite  $h$ ,

$$e_h(t) = y_h(t) - y(t) = c(t) h^p + O(h^{p+1}), \text{ so gilt bspw.}$$

Extrapolation:  $\bar{y}_h(t) = \frac{2^p y_{h/2}(t) - y_h(t)}{2^p - 1}$  hat einen Fehler  $\bar{y}_h(t) - y(t) = O(h^{p+1})$  (\*)

Fehlerschätzung:  $y_{h/2}(t) - y(t) = \frac{y_{h/2}(t) - y_h(t)}{2^p - 1} + O(h^{p+1})$  (\*\*)

Leider hat der Diskretisierungsfehler für lineare Mehrschritt-Verfahren im Allgemeinen keine Taylorentwicklung, jedoch für Einschritt-Verfahren:

Thm: (Taylorentwicklung Diskretisierungsfehler) Seien  $f, \varphi \in C^{p+1}$  und sei  $y_{k+n} = y_k + h\varphi(t_k, y_k, h)$  ein explizites Einschritt-Verfahren mit konstanter Schrittweite  $h$  und Konsistenzordnung  $p$ , d.h. der Abschneidefehler ist  $\tau_h(t, y(t)) = \tau(t) h^p + O(h^{p+1})$ . Sei  $D$  die Lösung von

$$D'(t) = \frac{\partial}{\partial y} f(t, y(t)) D(t) - \tau(t), \quad D(t_0) = 0, \quad \odot$$

dann ist  $e_h(t_k) = y_h(t_k) - y(t_k) = y_k - y(t_k) = D(t_k) h^p + O(h^{p+1})$ .

Bem: Für die höheren Terme in der Taylorentwicklung gelte entsprechende Resultate mit analogen Beweisen.

Bew:  $e_h(t_{k+1}) = y_h(t_{k+1}) - y(t_{k+1}) = y_h(t_k) + h\varphi(t_k, y_h(t_k), h) - (y(t_k) + h\varphi(t_k, y(t_k), h) + \tau(t_k)h^p + O(h^{p+2}))$   
 $= e_h(t_k) + h \underbrace{\frac{\partial}{\partial y} \varphi(t_k, y(t_k), h)}_{= \frac{\partial}{\partial y} \varphi(t_k, y(t_k), 0) + O(h)} e_h(t_k) - \tau(t_k)h^p + O(h^{p+2} + \|\frac{\partial^2}{\partial y^2} \varphi\| \|e_h(t_k)\|^2 h)$   
 $= e_h(t_k) + h \frac{\partial}{\partial y} f(t_k, y(t_k)) e_h(t_k) - \tau(t_k)h^p + O(h^{p+2} + \|\frac{\partial^2}{\partial y^2} \varphi\| \|e_h(t_k)\|^2 h + \|e_h(t_k)\| h^2)$

Setze  $D_h(t_k) = e_h(t_k) h^{-p}$ , dann ist

$$D_h(t_{k+1}) = D_h(t_k) + h \left( \frac{\partial}{\partial y} f(t_k, y(t_k)) D_h(t_k) - \tau(t_k) \right) + O(h^2 + \|D_h(t_k)\|^2 h^{p+1} + \|D_h(t_k)\| h^2)$$

ein Einschritt-Verfahren zur Berechnung von  $\odot$  (Euler-Verfahren plus  $O(h)$ -Term) mit Konsistenzordnung 1  $\Rightarrow D_h(t) = D(t) + O(h)$  und somit  $e_h(t) = D(t)h^p + O(h^{p+1})$ .  $\square$

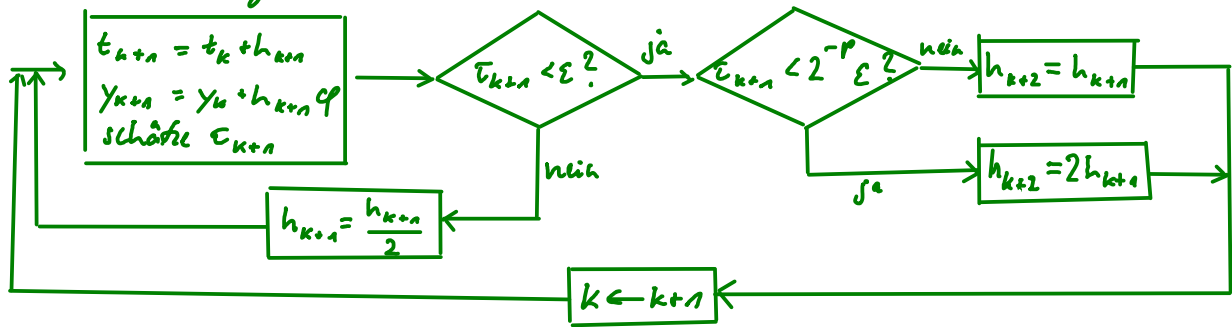
Somit lässt sich die Richardson-Extrapolation (\*) und Fehlerschätzung (\*\*) anwenden.

Man kann auch den lokalen Diskretisierungsfehler in jedem Schritt schätzen und diesen zur Anpassung der Schrittweite nutzen so dass eine bestimmte Fehlerschwanke nicht überschritten wird.

Wir wissen, dass ein Fehler  $\delta$  im  $k$ ten Schritt eines Einschritt-Verfahrens zur Zeit  $T$  um  $(T - t_k) e^{L(T-t_k)}$  verstärkt werden kann (mit  $L$  der Lipschitz-Konstante des Verfahrens).

$\Rightarrow$  gibt man als Fehlerschranke für den lokalen Diskretisierungsfehler  $\| \tau_k \| \leq \frac{\epsilon}{T(t-t_k)} e^{-L(t-t_k)}$  vor,  
 so kann der Fehler zur Zeit  $T$  geschätzt werden durch  $\sum_{k \text{ mit } t_k < T} \| h_k \epsilon_k \| (T-t_k) e^{L(T-t_k)} \leq \sum_k \frac{h_k \epsilon}{T} = \epsilon$ .  
 Oft wird der Einfachheit halber jedoch nur  $\| \tau_k \| \leq \epsilon$  gefordert (insbesondere, da  $L$  ggf. schwer zu ermitteln ist). Ein einfaches Verfahren zur Schrittweitensteuerung ist wie folgt.

Alg: (Schrittweitensteuerung) Sei  $y_{k+1} = y_k + h_k \varphi(t_k, y_k, h_{k+1})$  ein Einschritt-Verfahren mit Konsistenzordnung  $p$  und  $\epsilon > 0$ .



Wird  $h$  verdoppelt, wächst der Abschneidefehler etwa um  $2^p \Rightarrow h$  wird nur verdoppelt, wenn  $\tau < 2^{-p} \epsilon$

Der Abschneidefehler kann auf verschiedene Arten geschätzt werden:

- Mit Taylorentwicklung erhält man  $\tau_k = C_k h_k^p + O(h_k^{p+1})$ , wobei  $C_k$  von  $f$  und seinen ersten  $p$  Ableitungen an  $(t_{k+1}, y_{k+1})$  abhängt. Dies wird selten genutzt, da die Ableitungen vom Nutzer erst bestimmt werden müssten und da es für hohes  $p$  viele zusätzliche Funktionsauswertungen kostet.
- Man kann einen besseren Wert  $\hat{y}_{k+1} = y_k + h_{k+1} \hat{\varphi}(t_k, y_k, h_{k+1})$  mit einem Verfahren höherer Ordnung  $q > p$  berechnen und dann  $\tau_{k+1} \approx (\hat{y}_{k+1} - y_{k+1}) / h_{k+1}$  schätzen. Dies ist der Standard; hierzu werden aus Effizienzgründen Runge-Kutta-Verfahren mit Ordnung  $p$  &  $q$  verwendet, die die selben Funktionsauswertungen nutzen (z.B. Dormand-Prince-Verfahren). Oft wird nach Akzeptanz einer Schrittweite  $h_{k+1}$  die (höhere Ordnungs-)Lösung  $\hat{y}_{k+1}$  benutzt, auch wenn der Fehlerschätzer nur für  $y_{k+1}$  gilt.
- Man kann einen Wert  $\hat{y}_{k+1}$  mit zwei Schritten halber Schrittweite berechnen. Mit der exakten Lösung  $\tilde{y}$  zu Anfangswert  $\tilde{y}(t_k) = y_k$  ergeben sich Fehler

$$y_{k+1} - \tilde{y}(t_{k+1}) = C h_{k+1}^{p+1} + O(h_{k+1}^{p+2}), \quad \hat{y}_{k+1} - \tilde{y}(t_{k+1}) = 2C \left(\frac{h_{k+1}}{2}\right)^{p+1} + O(h_{k+1}^{p+2}) \quad (\text{Hausaufgabe})$$

$$\Rightarrow \tilde{y}(t_{k+1}) = \frac{2^p \hat{y}_{k+1} - y_{k+1}}{2^p - 1} + O(h_{k+1}^{p+2}), \quad \tau_{k+1} = \frac{\tilde{y}(t_{k+1}) - y_{k+1}}{h_{k+1}} = \frac{2^p}{2^p - 1} \frac{\hat{y}_{k+1} - y_{k+1}}{h_{k+1}} + O(h_{k+1}^{p+1}).$$

```

% Anfangswertproblem (Van der Pol-Oszillator)
f = @(y) [y(2);8*(1-y(1)^2)*y(2)-y(1)];
y = [2;0];
t = 0;

% Einschrittverfahren
phi = @(y,h) (f(y)+f(y+h*f(y)))/2;
p = 2;

% adaptive Lösung
epsilon = 1e-1;
h = .1;
T = zeros(1,1000); H = T; Y = [T;T]; counter = 0;
while t < 30
    yNew = y + h*phi(y,h);
    yNew2 = y + h/2*phi(y,h/2);
    yNew2 = yNew2 + h/2*phi(yNew2,h/2);
    tau = max(abs(2^p/(2^p-1)*(yNew2-yNew)/h));
    if tau > epsilon
        h = h/2;
    else
        t = t+h;
        y = yNew;
        if tau < epsilon/2^p
            h = h*2;
        end
        counter = counter+1;
        T(counter) = t;
        H(counter) = h;
        Y(:,counter) = y;
    end
end
T(counter+1:end) = []; H(counter+1:end) = []; Y(:,counter+1:end) = [];
subplot(1,2,1); plot(T,Y(1,:),'.','Markersize',20);
subplot(1,2,2); plot(T,H,'.','Markersize',20);

```

## Randwertprobleme

Im Gegensatz zu Anfangswertproblemen werden bei Randwertproblemen Werte der gesuchten Funktion an zwei oder mehr Zeitpunkten vorgegeben.

Bsp:  $\begin{pmatrix} y_1 \\ y_2 \\ y_3 \end{pmatrix}'(t) = \begin{pmatrix} y_2 \\ y_3 \\ y_1 - y_2 + y_3 \end{pmatrix}(t)$   $y_1(0) = 1$ ,  $y_1(1) = e$ ,  $y_2(2) = e^2$  hat Vorgaben

zu verschiedenen Funktionskomponenten an drei verschiedenen Zeitpunkten. Die Lösung ist  $y_1 = y_2 = y_3 = e^t$ .

•  $y''' - y'' + y' - y = 0$ ,  $y(0) = 1$ ,  $y(1) = e$ ,  $y(2) = e^2$  ist äquivalent zu obigem Problem mit  $y_i = y^{(i-1)}$ .

•  $y'' - 2y' = 0$ ,  $y(1) = 1$ ,  $y'(2) + y(2)^2 = 0$  hat nichtlineare Randbedingungen (am Rand des Intervalls  $[1, 2]$ ). Die Lösung ist  $y(t) = \frac{1}{t}$ .

Randwertprobleme sind partiellen Differentialgleichungsproblemen sehr ähnlich - dementsprechend sind Wohlgestelltheit und Numerik erheblich komplizierter und von Fall zu Fall verschieden.

Bsp:  $-y'' + \alpha^2 y = 0$ ,  $\alpha \in \mathbb{R}$ ,  $y(a) = y_0$ ,  $y(b) = y_1$  hat eine eindeutige Lösung:

Sei  $y'(a) = z$ ; wir wissen, dass das Anfangswertproblem  $\begin{pmatrix} y \\ y' \end{pmatrix}'(t) = \begin{pmatrix} y' \\ \alpha^2 y \end{pmatrix}(t)$ ,  $\begin{pmatrix} y \\ y' \end{pmatrix}(a) = \begin{pmatrix} y_0 \\ z \end{pmatrix}$  eine eindeutige Lösung hat - diese ist  $y(t) = \frac{y_0 + z/\alpha}{2} e^{\alpha(t-a)} + \frac{y_0 - z/\alpha}{2} e^{-\alpha(t-a)}$ .

$y(b) = y_1$  kann nun für  $z$  gelöst werden.

•  $-y'' - \alpha^2 y = 0$ ,  $\alpha \in \mathbb{R}$ ,  $y(0) = y_0$ ,  $y(\pi) = y_1$  ist nicht immer wohlgestellt:

Sei  $y'(0) = z$ ; wieder hat das Anfangswertproblem eine eindeutige Lösung

$y(t) = z \sin \alpha t + y_0 \cos \alpha t$ . Dies kann  $y(\pi) = y_1$  i. A. nur für ein  $z$  erfüllen, wenn  $\alpha \notin \mathbb{Z}$ .

Wir geben ohne weitere Analysis Verfahren zur numerischen Lösung an.

## Schießverfahren

Betrachte das Randwertproblem  $y'(t) = f(t, y(t))$ ,  $g(y(a), y(b)) = 0$  (RWP)

mit  $f: \mathbb{R} \times \mathbb{R}^n \rightarrow \mathbb{R}^n$ ,  $g: \mathbb{R}^n \times \mathbb{R}^n \rightarrow \mathbb{R}^n$ , die  $n$  Bedingungen von (AWP) wurden also durch

$n$  Bedingungen in  $y(a)$  und  $y(b)$  ersetzt. Sei nun  $y(t; y_0)$  die Lösung des Anfangswertproblems

$$y'(t) = f(t, y(t)), \quad y(a) = y_0. \quad (\text{AWP})$$

Def: (Schießverfahren) Ein Schießverfahren zu (RWP) ist ein Verfahren, das iterativ eine Nullstelle  $y_0$  von  $g(y_0, y(b; y_0))$  sucht. Hierzu löst es (AWP) mit den bekannten Methoden und verbessert iterativ  $y_0$ , bis  $g(y_0, y(b; y_0)) = 0$ .

Ein oft genutztes Verfahren zur Nullstellensuche einer Funktion  $F(x)$  ist das Newton-Verfahren

$$x_{n+1} = x_n - \frac{F'(x_n)}{F(x_n)}$$

Seine Anwendung auf  $F(x) = g(x, y(t; x))$  setzt Existenz von  $F'(x) = \partial_x g(x, y(t; x)) + \partial_y g(x, y(t; x)) \partial_x y(t; x)$  voraus.

Thm: (Glattheit des Anfangswertproblems) Sei  $y(t; y_0)$  die eindeutige Lösung zu (AWP),  $f$  differenzierbar in  $y$ . Das (lineare) Matrixwertige Anfangswertproblem  $D'(t) = \frac{\partial f}{\partial y}(t, y(t; y_0)) D(t)$ ,  $D(a) = I \in \mathbb{R}^{n \times n}$  besitzt eine eindeutige Lösung  $D(t; y_0)$ , und es ist  $\partial_{y_0} y(t; y_0) = D(t; y_0)$ .

Bew: Eindeutige Lösung folgt aus Satz von Picard und Lindelöf. Sei o.B.d.A.  $n=1$ , d.h.  $y_0 \in \mathbb{R}$

(sonst betrachte Komponenten von  $y_0$  einzeln).  $w_h(t) = \frac{y(t; y_0+h) - y(t; y_0)}{h} - D(t; y_0)$  erfüllt

$$\begin{aligned} w_h'(t) &= \frac{f(t, y(t; y_0+h)) - f(t, y(t; y_0))}{h} - \frac{\partial f}{\partial y}(t, y(t; y_0)) D(t; y_0) \\ &= \frac{\partial f}{\partial y}(t, y(t; y_0)) \underbrace{\left[ \frac{y(t; y_0+h) - y(t; y_0)}{h} - D(t; y_0) \right]}_{w_h(t)} + o(1), \quad w_h(a) = 0. \end{aligned}$$

Nach Gronwall's Lemma gilt  $w_h(t) \rightarrow 0$  für alle  $t$ . □

Damit das Newton-Verfahren auch nach der Diskretisierung funktioniert, sollte die Approximation  $D_k$  von  $D(t_k)$  die Ableitung von  $y_k$  nach  $y_0$  sein. Hierzu kann das Verfahren, z.B.  $y_{k+1} = y_k + \varphi(t_k, y_k, h_{k+1})$ , nach  $y_0$  abgeleitet werden,  $D_{k+1} = D_k + \frac{\partial}{\partial y} \varphi(t_k, y_k, h_{k+1}) D_k$ .

Ist der erste Versuch  $y_0$  schlecht gewählt, kann es passieren, dass  $y(t; y_0)$  viel zu weit von dem gewünschten Wert entfernt ist oder dass  $y(t; y_0)$  noch nicht einmal existiert. Dieses Risiko ist beim Mehrfach-Schießverfahren reduziert.

Def: (Mehrfach-Schieß-Verfahren) Sei  $a = t_0 < t_1 < \dots < t_m = b$  und  $y^i(t; y_i)$  die Lösung von  $y' = f(t, y)$ ,  $y(t_i) = y_i$ . Das Mehrfach-Schieß-Verfahren sucht eine Nullstelle  $(y_0, \dots, y_m)$  von  $(y(t_1; y_0) - y_1, \dots, y(t_m; y_{m-1}) - y_m, g(y_0, y_m))$ .

### Matrix-Verfahren (Finite Differenzen-Verfahren)

Der Einfachheit halber betrachten wir eine lineare gewöhnliche Differentialgleichung zweiter Ordnung - das Konzept lässt sich leicht auf nichtlineare Differentialgleichungen oder auf Gleichungen erster Ordnung übertragen. Wir betrachten zweite Ordnung, da dies die klassische Situation ist: Klassische Randwertprobleme sind oft elliptische partielle Differentialgleichungen 2. Ordnung, bei denen der Funktionswert, die Ableitung oder eine Kombination am Rand vorgegeben ist; der Spezialfall mit nur einer Raumdimension ist dann das gewöhnliche Differentialgleichungs-Randwertproblem.

Bsp:  $y'' + p(t)y' + q(t)y = f(t) \quad , t \in [a, b]$  } (\*)  
 $a_0 y(a) + b_0 y'(a) = c_0$   
 $a_n y(b) + b_n y'(b) = c_n$

Ein Matrix-Verfahren ersetzt zu einem gegebenen Gitter  $t_0 = a < t_1 < \dots < t_N = b$  alle Ableitungen und Funktionswerte von  $y$  in der Differentialgleichung und den Randbedingungen durch Finite-Differenzen-Approximationen mit Hilfe der Stützstellen  $t_0, \dots, t_N$  und wertet die neuen Gleichungen an den Stützstellen aus. Dies gibt ein System von  $N+1$  Gleichungen für die Unbekannten  $y(t_0), \dots, y(t_N)$ .

Bsp: Sei  $h = \frac{b-a}{N}$ ,  $t_k = a + kh$ . Mit Taylorentwicklung erhält man

$$y''(t_k) = \frac{y(t_{k+1}) - 2y(t_k) + y(t_{k-1}))}{h^2} + O(h^2)$$

$$y'(t_k) = \frac{y(t_{k+1}) - y(t_{k-1}))}{2h} + O(h^2)$$

$$y'(t_0) = \frac{-3y(t_0) + 4y(t_1) - y(t_2)}{2h} + O(h^2)$$

$$y'(t_N) = \frac{y(t_{N-2}) - 4y(t_{N-1}) + 3y(t_N)}{2h} + O(h^2)$$

Das Matrix-Verfahren zu (\*) lautet also

$$\frac{y_{k+1} - 2y_k + y_{k-1}}{h^2} + p(t_k) \frac{y_{k+1} - y_{k-1}}{2h} + q(t_k)y_k = f(t_k) \quad , k = 1, \dots, N-1,$$

$$a_0 y_0 + b_0 \frac{-3y_0 + 4y_1 - y_2}{2h} = c_0 \quad ,$$

$$a_n y_N + b_n \frac{y_{N-2} - 4y_{N-1} + 3y_N}{2h} = c_n \quad ,$$

zu lösen für  $y_0, \dots, y_N$ .

Für nichtlineare Probleme würde sich ein Satz nichtlinearer, zu lösender Gleichungen ergeben. Der Name „Matrix-Verfahren“ stammt von der Matrix-Schreibweise des Verfahrens,

$$L_h y_h = F_h \quad \text{für} \quad y_h = \begin{pmatrix} y_0 \\ \vdots \\ y_N \end{pmatrix}, \quad F_h = \begin{pmatrix} c_0 \\ f(t_1) \\ \vdots \\ f(t_{N-1}) \\ c_n \end{pmatrix},$$

$$L_h = \frac{1}{h^2} \begin{pmatrix} 1 & 0 & 0 & \dots & 0 \\ 0 & -2 & 1 & \dots & 0 \\ 0 & 1 & -2 & 1 & \dots \\ \vdots & \vdots & \vdots & \vdots & \ddots \\ 0 & \dots & 1 & -2 & 1 \\ \dots & \dots & \dots & \dots & \dots \end{pmatrix} + \frac{1}{2h} \text{diag}(b_0, p(t_1), \dots, p(t_N), b_n) \begin{pmatrix} -3 & 4 & -1 & & \\ 1 & 0 & -1 & & \\ & \ddots & \ddots & \ddots & \\ & & 1 & 0 & -1 \\ & & & 1 & -4 & 3 \end{pmatrix} + \text{diag}(a_0, q(t_1), \dots, q(t_N), a_n)$$

$L_h$  ist (nach einem Eliminationsschritt in der ersten und letzten Zeile) tridiagonal, kann also mit dem Thomas-Algorithmus (Gauß-Elimination ohne Pivotisierung) in  $O(N)$  Schritten gelöst werden (falls  $L_h$  invertierbar).

Thm: Sei  $q < 0$ ,  $p = 0$ ,  $b_0 = b_n = 0$ ,  $a_0, a_n < 0$ . Dann ist  $L_h$  invertierbar.

Bew: -  $L_h$  ist strikt diagonaldominant. □

Bem: Für andere Parameter muss man ggf. vorsichtig sein - z.B. hatten wir gesehen, dass für  $q > 0$  das Randwertproblem eventuell keine Lösung hat.



Ist das Verfahren konvergent, also  $y_h(t) \xrightarrow{h \rightarrow 0} y(t)$  für die diskrete Lösung  $y_h$  mit Schrittweite  $h$ ?

Sei  $y_h = (y_0, \dots, y_N)$  und  $I_h = (t_0, \dots, t_N)$ . Es ist (in einer beliebigen Vektor- und induzierten Matrixnorm  $\|\cdot\|$ )

$$\|y(I_h) - y_h\| = \|L_h^{-1} (L_h y(I_h) - F_h)\| \leq \|L_h^{-1}\| \|L_h y(I_h) - F_h\|.$$

Hier ist  $L_h y(I_h) - F_h$  der Vektor an lokalen Diskretisierungsfehlern; sind seine Einträge  $O(h^p)$ , ist die Methode konsistent von Ordnung  $p$  (für obiges Beispiel sind sie  $O(h^2)$ ). Die Methode ist stabil, wenn ein Datenfehler nicht mehr als unvermeidbar verstärkt wird.

Thm: (Stabilität) Sei  $\tilde{f}: I=[a,b] \rightarrow \mathbb{R}$  mit  $\|\tilde{f} - f\|_\infty \leq \delta$ ,  $\tilde{c}_0, \tilde{c}_1 \in \mathbb{R}$  mit  $|\tilde{c}_0 - c_0|, |\tilde{c}_1 - c_1| \leq \varepsilon$  eine Störung.

Für die numerische Lösung  $\tilde{y}_h$  des gestörten Systems gilt

$$\|\tilde{y}_h - y_h\| \leq \|L_h^{-1}\| \left\| \begin{pmatrix} 1 \\ \delta \\ \varepsilon \end{pmatrix} \right\| (\delta + \varepsilon).$$

Bem: I. A. gilt ebenfalls  $\|\tilde{y}(t_h) - y(t_h)\| \leq C \left\| \begin{pmatrix} 1 \\ \delta \\ \varepsilon \end{pmatrix} \right\| (\delta + \varepsilon)$  für die Lösungen  $y(t)$  und  $\tilde{y}(t)$  des ursprünglichen und des gestörten Systems, sodass das Verfahren stabil (bzgl. Störungen in  $f$  &  $c_0, c_1$ ) ist, wenn  $h_0, C > 0$  existieren mit  $\|L_h^{-1}\| \leq C$  für alle  $h \leq h_0$ .

• Auf ähnliche Weise kann / muss auch die Stabilität bzgl. der anderen Daten untersucht werden.

Bew:  $\|\tilde{y}_h - y_h\| = \|L_h^{-1} (\tilde{F}_h - F_h)\| \leq \|L_h^{-1}\| \|\tilde{F}_h - F_h\| \leq \|L_h^{-1}\| \left\| \begin{pmatrix} 1 \\ \delta \\ \varepsilon \end{pmatrix} \right\| (\delta + \varepsilon)$  □

Wieder gilt „Stabilität + Konsistenz = Konvergenz“.

Thm: (Konvergenz) Das Matrixverfahren sei konsistent (von Ordnung  $p$ ) und stabil, d.h. es existieren  $h_0, C > 0$  mit  $\|L_h^{-1}\| \leq C, \forall h \leq h_0$ . Dann ist es konvergent (von Ordnung  $p$ ),

$$\|y(I_h) - y_h\| / \left\| \begin{pmatrix} 1 \\ \delta \\ \varepsilon \end{pmatrix} \right\| \xrightarrow{h \rightarrow 0} 0 \quad (\text{bzw. } \|y(I_h) - y_h\| / \left\| \begin{pmatrix} 1 \\ \delta \\ \varepsilon \end{pmatrix} \right\| = O(h^p)).$$

Bew:  $\|y(I_h) - y_h\| \leq \|L_h^{-1}\| \|L_h y(I_h) - F_h\| \leq C O(h^p) \left\| \begin{pmatrix} 1 \\ \delta \\ \varepsilon \end{pmatrix} \right\|$  □

Ist für unser Beispiel Stabilität erfüllt (zumindest in bestimmten Normen)?

Thm: ( $\infty$ -Norm der Inversen) Sei  $A \in \mathbb{R}^{n \times n}$  strikt diagonaldominant, d.h.  $|A_{i,i}| > \sum_{j \neq i} |A_{i,j}|$ . Dann gilt

$$\|A^{-1}\| \leq \left[ \min_i |A_{i,i}| - \sum_{j \neq i} |A_{i,j}| \right]^{-1}.$$

Bew: Für alle  $x \in \mathbb{R}^n$  gilt  $\|Ax\|_\infty = \max_i \left| \sum_{j=1}^n A_{i,j} x_j \right| \geq \left| \sum_{j=1}^n A_{i,j} x_j \right| \quad \forall i$ .

Sei  $\|x\|_\infty = |x_k|$ , dann ist  $\|Ax\|_\infty \geq \left| \sum_{j=1}^n A_{k,j} x_j \right| \geq [ |A_{k,k}| - \sum_{j \neq k} |A_{k,j}| ] |x_k| \geq \min_i (|A_{i,i}| - \sum_{j \neq i} |A_{i,j}|) \|x\|.$

Für  $y = Ax$  gilt somit  $\|y\|_\infty \geq \min_i (|A_{i,i}| - \sum_{j \neq i} |A_{i,j}|) \|A^{-1}y\|$ , und zu jedem  $y \in \mathbb{R}^n$  existiert  $x = A^{-1}y$ . □

Thm: Sei  $p = 0, t_0 = b_n = 0, q$  stetig,  $q < 0, a_0, a_n < 0$ . Dann existiert  $C > 0$ , sodass  $\|L_h^{-1}\|_\infty \leq C$  für alle  $h > 0$ .

Bem: Somit ist die Diskretisierung unseres Beispiels konvergent von Ordnung 2 in der  $\|\cdot\|_\infty$ -Norm (also insbesondere punktweise).

Bew: Sei  $c = \min_{t \in [a, b]} |q(t)| > 0$ .  $L_h$  ist strikt diagonal-dominant, somit  $\|L_h^{-1}\|_{\infty} \leq \frac{1}{\min_i (|L_{h,ii}| - \sum_{j \neq i} |L_{h,ij}|)} = \frac{1}{\min(|a_0|, |a_n|, \min_{i=2, \dots, n-1} |q(t_i)|)} = \frac{1}{\min(|a_0|, |a_n|, c)}$ .  $\square$

## Kollokations- & Galerkinmethoden

Die Idee hier ist,  $y$  als Linearkombination  $\hat{y}(t) = \sum_{i=0}^N \xi_i \psi_i(t)$  linear unabhängiger Funktionen  $\psi_0, \dots, \psi_N: [a, b] \rightarrow \mathbb{R}$  zu approximieren. Beispielsweise können  $\psi_0, \dots, \psi_N$  eine Basis von  $\mathcal{P}_N$  sein.

Bei der kollokationsmethode wählt man kollokationspunkte  $t_0 = a < t_1 < \dots < t_N = b$  und fordert die Erfüllung der Differentialgleichung an diesen Punkten. Dies führt auf ein Gleichungssystem, zu lösen in den unbekanntem Koeffizienten  $\xi_0, \dots, \xi_N$ .

Bsp: Für obiges Beispiel lautet die kollokationsmethode  $\hat{y}''(t_k) + p(t_k)\hat{y}'(t_k) + q(t_k)\hat{y}(t_k) = f(t_k)$ ,  $k=1, \dots, N-1$ ,  
 $a_0 \hat{y}(a) + b_0 \hat{y}'(a) = c_0$ ,  
 $a_n \hat{y}(b) + b_n \hat{y}'(b) = c_n$ .

Dies ist ein System aus  $N+1$  linearen Gleichungen in  $\xi_0, \dots, \xi_N$ .

Spektralmethoden sind ein Spezialfall hiervon: Hier bilden  $\psi_0, \dots, \psi_N$  eine Basis von  $\mathcal{P}_N$ , und als Kollokationspunkte werden Čebyšev-Punkte ( $t_j = -\cos \frac{j\pi}{N}$ ,  $j=0, \dots, N$ , auf  $[-1, 1]$ ) genutzt. Wir wissen bereits, dass diese Stützstellen für Polynom-Interpolation anhand der Funktionswerte oder Ableitungen erheblich besser Konvergenz als äquidistante Stützstellen liefern; Spektralmethoden finden im Grunde Polynome, die eine Kombination aus Funktionswerten und Ableitungen interpolieren. Dabei arbeitet man typischerweise mit den Funktionswerten  $y_k = \hat{y}(t_k)$ ,  $k=0, \dots, N$ .

Def: (Čebyšev-Differentiationsmatrix) Seien Čebyšev-Stützstellen  $t_0, \dots, t_N$  gegeben. Die Abbildung, die gegebenen Stützstellen  $(y_0, \dots, y_N)$  die Ableitung des eindeutigen Interpolationspolynoms  $p \in \mathcal{P}_N$  an  $t_0, \dots, t_N$  zuordnet, heißt Čebyšev-Differentiationsmatrix,

$$D_N \in \mathbb{R}^{(N+1) \times (N+1)}, \quad \begin{pmatrix} y_0 \\ \vdots \\ y_N \end{pmatrix} \mapsto D_N \begin{pmatrix} y_0 \\ \vdots \\ y_N \end{pmatrix} = \begin{pmatrix} p'(t_0) \\ \vdots \\ p'(t_N) \end{pmatrix}.$$

Bsp:  $N=1$ ,  $t_0 = -1$ ,  $t_1 = 1$ : Interpolationspolynom  $p(t) = \frac{1}{2}(1-t)y_0 + \frac{1}{2}(1+t)y_1$

$$p'(t) = \frac{y_1 - y_0}{2} \Rightarrow D_1 = \frac{1}{2} \begin{pmatrix} -1 & 1 \\ -1 & 1 \end{pmatrix} \text{ } \rightarrow \text{Finite Differenzen-Formel}$$

$N=2$ ,  $(t_0, t_1, t_2) = (-1, 0, 1)$ :  $p(t) = \frac{1}{2}t(1-t)y_0 + (1+t)(1-t)y_1 + \frac{1}{2}t(t+1)y_2$

$$p'(t) = (t - \frac{1}{2})y_0 - 2ty_1 + (t + \frac{1}{2})y_2 \Rightarrow D_2 = \frac{1}{2} \begin{pmatrix} -3 & 4 & -1 \\ -1 & 0 & 1 \\ 1 & -4 & 3 \end{pmatrix} \text{ } \rightarrow \text{Rückwärtsdifferenzformel}$$

Thm: (Čebyšev-Differentiationsmatrix)  $D_N = (D_N)_{i,j} = 0, \dots, N \in \mathbb{R}^{(N+1) \times (N+1)}$  ist gegeben durch

	Spalte 0	$j=1, \dots, N-1$	$N$
Zeile 0	$\frac{2N^2+1}{6}$	$2 \frac{(-1)^j}{1-t_j}$	$\frac{1}{2} (-1)^N$
$i=1, \dots, N-1$	$-\frac{1}{2} \frac{(-1)^i}{1-t_i}$	$\frac{(-1)^{i+j}}{t_i-t_j}$ $-\frac{t_j}{2(1-t_j^2)}$	$\frac{1}{2} \frac{(-1)^{N+i}}{1+t_i}$
$N$	$-\frac{1}{2} (-1)^N$	$-2 \frac{(-1)^{N+j}}{1+t_j}$	$-\frac{2N^2+1}{6}$

Diagonale

Bew: Das jte Lagrangepolynom ist  $p_j(t) = \frac{1}{\omega_j} \prod_{\substack{k=0 \\ k \neq j}}^N (t-t_k)$  mit  $\omega_j = \prod_{\substack{k=0 \\ k \neq j}}^N (t_j-t_k)$ .

$$p_j'(t) / p_j(t) = (\log p_j)'(t) = \sum_{\substack{k=0 \\ k \neq j}}^N \frac{1}{t-t_k} \Rightarrow p_j'(t) = \sum_{\substack{k=0 \\ k \neq j}}^N \frac{p_j(t)}{t-t_k} = \sum_{\substack{k=0 \\ k \neq j}}^N \frac{1}{\omega_j} \prod_{\substack{l=0 \\ l \neq j, k}}^N (t-t_l)$$

$$\Rightarrow (D_N)_{ij} = p_j'(t_i) = \begin{cases} \sum_{\substack{k=0 \\ k \neq j}}^N \frac{1}{t_i-t_k} & i=j \\ \frac{1}{\omega_j} \prod_{\substack{l=0 \\ l \neq j, i}}^N (t_i-t_l) = \frac{\omega_i}{\omega_j (t_i-t_j)} & i \neq j \end{cases}$$

Die Werte erhält man nun durch Einsetzen der Čebyšev-Knoten. □

Bsp: Für obiges Beispiel ergibt sich das für  $y_0, \dots, y_N$  zu lösende System

$$\begin{bmatrix} (a_0, 0, \dots, 0) + b_0 (D_N)_{0,:} \\ \hline [D_N^2 + \text{diag}(p(t_0), \dots, p(t_N)) D_N + \text{diag}(q(t_0), \dots, q(t_N))]_{1:N-1,1} \\ \hline (a_n, 0, \dots, 0) + b_n (D_N)_{N,:} \end{bmatrix} \begin{bmatrix} y_0 \\ \vdots \\ y_N \end{bmatrix} = \begin{bmatrix} c_0 \\ p(t_1) \\ \vdots \\ p(t_{N-1}) \\ c_n \end{bmatrix}$$

Bem: Im Allgemeinen ist das für Kollokationsmethoden zu lösende Gleichungssystem voll besetzt.

- Das Gleichungssystem ist (anders als bei Galerkin-Methoden oder Finite Differenzen) typischerweise auch nicht symmetrisch, selbst wenn der zugehörige Differentialoperator selbstadjungiert ist (z. B. für  $p \equiv 0$ ).

Galerkinmethoden suchen im Gegensatz zu Kollokationsmethoden nicht eine die Differentialgleichung an einzelnen Punkten erfüllende Funktion, sondern eine die Differentialgleichung schwach erfüllende Funktion. Hierzu wird die Differentialgleichung mit einer glatten Funktion  $\varphi \in C^\infty(I)$  multipliziert und dann partiell integriert.

Bsp: Im obigen Beispiel ergibt sich

$$\int_I y''(t) \varphi(t) + p(t) y'(t) \varphi(t) + q(t) y(t) \varphi(t) dt = \int_I f(t) \varphi(t) dt \quad \forall \varphi \in C^\infty(I)$$

$$\Rightarrow \int_I -y'(t) \varphi'(t) + p(t) y'(t) \varphi(t) + q(t) y(t) \varphi(t) dt + \left[ y'(t) \varphi(t) \right]_{t=a}^b = \int_I f(t) \varphi(t) dt \quad \forall \varphi \in C^\infty(I)$$

Der Einfachheit halber sei im Folgenden  $b_0 = b_a = c_0 = c_a = 0$ . Um eine schwache Lösung zu definieren, müssen wir erst die nötigen Funktionsräume definieren.

Def: (Hilbertraum  $H^1$ )  $L^2(I) = \{ y: I \rightarrow \mathbb{R} \mid y \text{ ist messbar, } \int_I y^2 dx < \infty \}$

•  $y: I \rightarrow \mathbb{R}$  hat eine schwache Ableitung  $y'$ , wenn  $y$  und  $y'$  messbar sind und

$$\int_I y'(t) \varphi(t) dt = - \int_I y(t) \varphi'(t) dt \quad \forall \varphi \in C_0^\infty(I)$$

•  $H^1(I) = \{ y \in L^2(I) \mid y \text{ hat eine schwache Ableitung } y' \in L^2(I) \}$ .

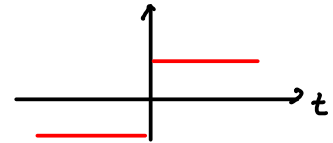
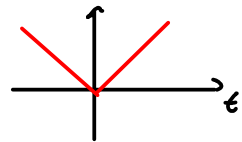
•  $H_0^1(I) = \{ y \in H^1(I) \mid y|_{\partial I} = 0 \}$

Bsp:  $y: (-1, 1) \rightarrow \mathbb{R}, t \mapsto |t|$  liegt in  $H^1((-1, 1))$

mit schwacher Ableitung  $y'(t) = \text{sign}(t)$

•  $y: (-1, 1) \rightarrow \mathbb{R}, t \mapsto \text{sign}(t)$  liegt nicht in  $H^1((-1, 1))$ ,

da es keine schwache Ableitung besitzt.



Thm: (Hilbertraum  $H^1$ )  $H^1(I)$  bildet mit dem Skalarprodukt  $(u, v)_{H^1} = \int_I u'v' + uv dt$  einen Hilbertraum,  
 $H_0^1(I)$  bildet mit  $(u, v)_{H_0^1} = \int_I u'v' dt$  einen Hilbertraum.

Def: (Schwache Lösung) Eine Funktion  $y \in H_0^1(I)$  heißt schwache Lösung von  $(*)$  mit  $b_0 = b_a = c_0 = c_a = 0$ ,  
 $p, q \in C(I), f \in L^2(I)$ , wenn

$$\int_I -y'(t) \varphi'(t) + p(t) y'(t) \varphi(t) + q(t) y(t) \varphi(t) dt = \int_I f(t) \varphi(t) dt \quad \forall \varphi \in H_0^1(I)$$

Sei  $V \subset H_0^1(I)$  ein endlich dimensionaler Teilraum mit Basis  $\psi_0, \dots, \psi_N$ . Die Galerkin-Approximation der Lösung von  $(*)$  ist diejenige Funktion  $y \in V$ , für die gilt

$$\int_I -y'(t) \varphi'(t) + p(t) y'(t) \varphi(t) + q(t) y(t) \varphi(t) dt = \int_I f(t) \varphi(t) dt \quad \forall \varphi \in V.$$

Mit  $y = \sum_{i=0}^N \xi_i \psi_i$  führt dies auf das lineare Gleichungssystem

$$\left( \int_I -\psi_i' \psi_j' + p \psi_i' \psi_j + q \psi_i \psi_j dt \right)_{j,i} \begin{pmatrix} \xi_0 \\ \vdots \\ \xi_N \end{pmatrix} = \left( \int_I f \psi_j dt \right)_j.$$